

ΕΛΛΗΝΙΚΗ ΔΗΜΟΚΡΑΤΙΑ

ΥΠΟΥΡΓΕΙΟ ΠΠΕΡ. ΧΩΡ. ΚΑΙ ΔΗΜ. ΕΡΓΩΝ
ΓΕΝ. ΓΡΑΜΜΑΤΕΙΑ ΔΗΜ. ΕΡΓΩΝ
ΔΙΕΥΘΥΝΣΗ ΥΔΡΑΥΛΙΚΩΝ ΕΡΓΩΝ ΤΕΩΣ 1ης Π.Υ.Δ.Ε.

ΟΡΙΣΤΙΚΗ ΜΕΛΕΤΗ (ΕΦΑΡΜΟΓΗΣ)

ΑΝΤΙΠΛΗΜΜΥΡΙΚΩΝ ΕΡΓΩΝ ΛΕΚΑΝΗΣ
ΒΟΙΩΤΙΚΟΥ ΚΗΦΙΣΟΥ

ΑΡ. ΜΕΛ. 8372705

ΥΔΡΟΛΟΓΙΚΗ ΜΕΛΕΤΗ

I. ΕΚΘΕΣΗ

ΕΚΘΕΣΗ Ι2η

ΜΕΛΕΤΗΤΗΣ
ΔΗΜ. Θ. ΚΩΝΣΤΑΝΤΙΝΙΔΗΣ
ΝΟΕΜΒΡΙΟΣ 1985

ΕΛΛΗΝΙΚΗ ΔΗΜΟΚΡΑΤΙΑ
ΥΠΟΥΡΓΕΙΟ ΔΗΜΟΣΙΩΝ ΕΡΓΩΝ
ΔΙΕΥΘΥΝΣΗ ΥΔΡΑΥΛΙΚΩΝ ΕΡΓΩΝ
ΤΕΩΣ 1^{ης} Π.Υ.Δ.Ε.

ΟΡΙΣΤΙΚΗ ΜΕΛΕΤΗ (ΕΦΑΡΜΟΓΗΣ)
ΑΝΤΙΠΛΗΜΜΥΡΙΚΩΝ ΕΡΓΩΝ ΛΕΚΑΝΗΣ
ΒΟΙΩΤΙΚΟΥ ΚΗΦΙΣΟΥ

ΥΔΡΟΛΟΓΙΚΗ ΜΕΛΕΤΗ

ΕΚΘΕΣΗ

ΠΙΝΑΚΑΣ ΠΕΡΙΕΧΟΜΕΝΩΝ

	Σελ.
1. ΑΝΤΙΚΕΙΜΕΝΟ	1
2. ΠΕΡΙΓΡΑΦΗ ΛΕΚΑΝΗΣ	2
2.1 Μορφολογία	2
2.2 Φυτοκάλυψη λεκάνης	16
3. ΓΕΩΛΟΓΙΚΑ ΚΑΙ ΥΔΡΟΓΕΩΛΟΓΙΚΑ ΣΤΟΙΧΕΙΑ ΛΕΚΑΝΗΣ ΒΟΙΩΤΙΚΟΥ ΚΗΦΙΣΟΥ	17
3.1 Γεωλογική δομή τῆς περιοχῆς	17
3.1.1 Γενικότητες	17
3.1.2 Στρωματογραφική διάρθρωση	17
3.1.3 Τεκτονική	18
3.2 Υδρογεωλογία	20
3.2.1 Γενική περιγραφή	20
3.2.2 Υδρολογία - Βροχομετρία	20
3.2.3 Τό σύστημα άποστράγγισης τῆς λεκάνης	23
4. ΚΛΙΜΑΤΟΛΟΓΙΚΑ - ΒΡΟΧΟΜΕΤΡΙΚΑ ΣΤΟΙΧΕΙΑ	26
4.1 Μετεωρολογικοί Σταθμοί	26
4.2 Θερμοκρασίες	29
4.3 Υγρασίες	30
4.4 Βροχοπτώσεις	31
4.4.1 Ετήσιες βροχές	31
4.4.2 Μηνιαῖα ύψη βροχῆς	36

	Σελ.
5. ΠΛΗΜΜΥΡΕΣ	40
5.1 'Αντικείμενο	40
5.2 Παλαιότερες Μελέτες	41
5.3 'Εντάσεις βροχῶν κατά τήν μέθοδο GIBRAT-GAUSS	42
5.4 Μέσες έπιφανειακές έντάσεις βροχῆς-έπεξεργασία μέ τή μέθοδο Gumlel	49
5.4.1 Γενικά	49
5.4.2 Σταθμοί καί δεδομένα	49
5.4.3 Συμπλήρωση έλλείψεων - 'Εξαγωγή μεγίστων έτησίων έπιφανειακῶν ύψων βροχῆς	51
5.4.4 Στατιστική έπεξεργασία έτησίων μεγίστων	53
5.4.5 Καμπύλες υψους-διάρκειας-περιόδου έπαναφορᾶς καί έντασης-διάρκειας-περιόδου έπαναφορᾶς βροχοπτώσεων	60
5.5 Μοναδιαῖα ύδρογραφήματα	66
5.6 'Υδρογραφήματα πλημμύρας	72
5.6.1 Γενικά	72
5.6.2 Χρονική κατανομή βροχοπτώσεων μελέτης	72
5.6.3 'Απώλειες - 'Ωφέλιμο ύψος βροχῆς	75
5.6.4 Παραγωγή ύδρογραφημάτων πλημμύρας	76
5.6.5 Σύγκριση μέ τήν όρθολογική μέθοδο	81

ΕΛΛΗΝΙΚΗ ΔΗΜΟΚΡΑΤΙΑ
ΥΠΟΥΡΓΕΙΟ ΔΗΜΟΣΙΩΝ ΕΡΓΩΝ
ΔΙΕΥΘΥΝΣΗ ΥΔΡΑΥΛΙΚΩΝ ΕΡΓΩΝ
ΤΕΩΣ Ιης Π.Υ.Δ.Ε.

ΟΡΙΣΤΙΚΗ ΜΕΛΕΤΗ (ΕΦΑΡΜΟΓΗΣ)
ΑΝΤΙΠΛΗΜΜΥΡΙΚΩΝ ΕΡΓΩΝ ΛΕΚΑΝΗΣ
ΒΟΙΩΤΙΚΟΥ ΚΗΦΙΣΟΥ

Υ ΔΡΟΔΟΓΙΚΗ ΜΕΛΕΤΗ

Ε Κ Θ Ε Σ Η

1. ΑΝΤΙΚΕΙΜΕΝΟ - ΜΟΡΦΟΛΟΓΙΑ

Μέ τήν υπ'άρ. 3784/228/4.1.4/31-10-1983 'Απόφαση της τ. Ιης Π.Υ.Δ.Ε διατάχθηκε στό Γραφεῖο Δημ. Κωνσταντινίδη ή 'Οριστική Μελέτη τῶν 'Αντιπλημμυρικῶν "Εργων τῆς Λεκάνης Βοιωτικοῦ Κηφισοῦ, ή δέ σύμβαση πού διέπει τήν έκπόνησή της υπογράφηκε τήν 22 Νοεμβρίου 1983.

'Αναγκαία γιά τήν έκτιμηση τῶν πλημμυρῶν, ἐφ'δοιν δέν υπάρχουν καί υδρομετρικά στοιχεῖα, εἶναι ή ἔρευνα τῶν διαφόρων μορφολογικῶν καί ακλιματολογικῶν στοιχείων καί κυρίως τῶν βροχοπτώσεων. Μέ τήν ἔρευνα αύτή θά μορφωθεῖ κατ'άρχήν μιά γενική εἰκόνα της υδρολογικῆς συμπεριφορᾶς της λεκάνης καί βέβαια θά προκύψουν τά μεγέθη ἔκεινα πού θά χρησιμεύσουν γιά τό είδικό άντικείμενο της μελέτης τῶν πλημμυρῶν, - μέσω τῶν βροχῶν καί τῶν λοιπῶν μετεωρολογικῶν παραγόντων.

Δεδομένου ότι τό άντικείμενο της Μελέτης ὅπως ἔχει άνατεθεῖ περιλαμβάνει άντιπλημμυρικά ἔργα χωρίς φράγματα άνασχέσεως καί χωρίς πρόβλεψη ἀρδευτικῶν ἔργων ή φραγμάτων, ή Μελέτη θά περιορισθεῖ στίς έκτιμήσεις τῶν πλημμυρῶν μεγάλων σχετικά συχνοτήτων (1:50 ἔως 1:100 ἔτη), ὅμως γιά τόν καθορισμό τους εἶναι ἀπαραίτητη ή υποδομή γιά προσδιορισμό παροχῶν δποιασδήποτε συχνότητας. Ή ἔρευνα ἐπίσης τῶν βροχοπτώσεων καί της λοιπῆς δίαιτας τῶν υδατίνων ρευμάτων θά ἔχει προωθήσει καί τό θέμα τῶν ἀπορροῶν ὥστε νά συμπληρωθεῖ τό κεφάλαιο ὅταν ζητηθεῖ ή ἔρευνά τους.

2. ΠΕΡΙΓΡΑΦΗ ΛΕΚΑΝΗΣ

2.1 Μορφολογία

Ο Βοιωτικός Κηφισός μήκους 100χμ. περίπου, μέ κατεύθυνση από Δυτικά - Βορειοδυτικά πρός Ανατολικά, έλαφρως Νοτιοανατολικά, διασχίζει τούς νομούς Φωκίδας, Φθιώτιδας και Βοιωτίας, έκβαλλοντας στήν λίμνη Κωπαΐδας μέχρι πρό έκατο έτῶν περίπου και τώρα στήν λίμνη Υλίκη.

Η λεκάνη άπορροής του, μέ χαρακτηριστικό έπιμηκες σχήμα έχει κατεύθυνση από Δ - ΒΔ πρός Α - ΝΑ. Τό μέγιστο μήκος της είναι 90χμ. και τό μέγιστο πλάτος της 30χμ, τό έλάχιστο 16χμ. ένω τό μέσο πλάτος της είναι γύρω στά 22 χμ.

Η έκταση τής λεκάνης άπορροής του φθάνει τά 2010 χμ^2 και δριζεται μεταξύ τῶν γεωγραφικῶν συντεταγμένων - $1^\circ.25'$ και - $0^\circ.25'$ Γεωγραφικοῦ μήκους από Αθηνῶν (μεταξύ $23^\circ 17'$ και $24^\circ 17'$ Α.Γ πλάτους GRENWICH) και τῶν παραλλήλων $38^\circ 19'$ και $38^\circ 44'30''$ Βορείου Γεωγραφικοῦ πλάτους.

Τό Βορειοδυτικό τμῆμα τής λεκάνης, έκτάσεως 279χμ^2 (14%) βρίσκεται στόν νομό Φωκίδας, τό κεντρικό βόρειο τμῆμα έκτάσεως 570χμ^2 (28,4%) στόν νομό Φθιώτιδας και τό νότιο τμῆμα της, έκτάσεως 1.152χμ^2 (57,6%) στόν νομό Βοιωτίας.

Τά δρια τής λεκάνης, δύναμεις, άρχιζοντας από τό άκρα Βορειοδυτικοῦ κοντά στό χωριό Καλοσκοπή (ύψομ. +1020μ.) στό άκρο Ανατολικό τής Γκιώνας, βαίνει πρός τά άνατολικά περνώντας μερικές κορυφές τοῦ νότιου δύκου τής Οίτης, περνάει τόν αύχένα Οίτης - Καλλιδρόμου δημού ή σήραγγα Μπράλλου και ή παλαιά έθνική δόδος Λεβάδειας - Λαμίας (ύψομ. +600μ.) άκολουθεῖ συνεχίζοντας πρός τά άνατολικά τίς κορυφογραμμές τοῦ δρους Καλλιδρόμου (ύψ. +1372μ.) μέχρι τίς άνατολικώτερες άπολήξεις του πρός τήν Δοκιμίδα (κορυφές Παλιοηλιᾶς +925μ. και Βαρβᾶς +831μ.) έν συνεχεία περνάει τόν αύχένα Αταλάντης (ύψομ. +270μ) μεταξύ Καλλιδρόμου και δρους Χλωμοῦ, προχωρεῖ άκμη άνατολικώτερα άκολουθώντας τήν κορυφογραμμή τοῦ Χλωμοῦ (μέγ. ύψομ. +1081μ.) και φθάνει στό άνατολικώτερο άκρο τής λεκάνης, τίς κορυφογραμμές τοῦ Πτώου δρους (μεταξύ κόλπου Σκορπονερίου και Παραλίμνης μεγ. ύψομ. +724μ.), στή συνέχεια κατέρχεται πρός Νοτιοδυτική κατεύθυνση περνώντας από τόν χαμηλόν αύχένα μεταξύ λίμνης Υλίκης και τής πρώην λίμνης Κωπαΐδας (αύχένα Καρδίτσας, ύψομ. +116μ.) προχωρεῖ πρός τό νοτιώτερο άκρο της, τήν κορυφογραμμή τοῦ Σφιγγίου δρους (+565μ.), άκο-

λουθεῖ ἐν συνέχεια, δυτικώτερα, τὴν κορυφογραμμὴν τοῦ δρους Ἐλικώνα (κορυφές Μοτσάρα +1.526μ., Παλιοβούνα +1.748μ., Τσιβέρι +1.561μ., Μεγάλη Λούτσα + 1.549μ., Κολιέδες +1.487μ.) στῇ συνέχειᾳ βαίνει πρὸς βορειοδυτικά, περνᾷ τὸν αὐχένα τοῦ Διστόμου (ὑψόμ. +470μ) καὶ μπαίνει στὸν δρεινὸν δγκο τοῦ Παρνασσοῦ, περνῶντας τὰς τίκας κορυφές Εηροβούνι +1.561μ., Λιάκουρα +2.475μ., Τριγωνούμ. +1.533μ., Γερολένα +1.714μ., ἐν συνεχείᾳ πάντοτε πρὸς τὰ ΒΔ, ἀκολουθεῖ τὸν αὐχένα δπου περνᾷ διδρόμιος Γραβιᾶς - Ἀμφισσας (ὑψόμ. +870μ.) καὶ μπαίνει στὰ ἄκρατα ἀνατολικά δρια τῆς Γκιώνας (κορυφές +2.346μ. καὶ κορυφή +1.410μ.) μεταξύ τῶν χωριῶν Πανουργιᾶς καὶ Καλοσκοπῆς.

Ο Βοιωτικὸς Κηφισός βαίνοντας κατὰ τὸν μεγάλον ἀξονα τῆς οἰλειστῆς λεκάνης πού περιγράφηκε πιὸ πάνω κατέληγε στὸ νοτιοανατολικὸν ἀκροτῆς, δπου μὴ βρίσκοντας διέξοδο ἐσχημάτισε τὴν λίμνη τῆς Κωπαΐδας, ἀβαθῆ μὲν χαμηλότερο ὑψόμετρο πυθμένα +84μ., μὲν ἀνωτάτη στάθμη +97,0μ. ἀλλὰ τὸ μεγαλύτερο τμῆμα τῆς μὲν ὑψόμετρο πυθμένα γύρω στὸ +92,0μ. Τὰ νερά μετά τὴν Α.Σ. +97,0μ. ἀποχετεύονταν μέσω καταβοθρῶν πού βρίσκονται στὰ ἀνατολικά ιράσπεδα τῆς λίμνης, πρὸς τὸν Εύβοϊκὸν ἀόλπον.

Πρὸς ἀποξηρανθεῖ ἡ λίμνη τῆς Κωπαΐδας, δι ποταμός ἔφθανε μέχρι τὸ χωριό Ρωμέϊκο καὶ ἀπὸ ἐκεῖ ἔνα μέρος του ἐνωνόταν μὲν τὰς πηγές τοῦ Μέλανα καὶ τὸ ρεῦμα πού ἐσχηματιζόταν ἀπὸ αὐτές καὶ δδηγιόταν στὰς καταβόθρες, ἐνῷ τὸ ὑπόλοιπο ἔχυνόταν στὴν λίμνη.

Μετά τὴν ἀποξηρανση τῆς λίμνης, δι ποταμός ἀπὸ τὴν θέση τοῦ φράγματος ΒΟΟΤ (κοντά στὸ χωριό Ρωμέϊκο) καὶ κατάντη ἀκολουθεῖ κοίτη πού κατασκευάσθηκε πρὸς 98 χρόνια καὶ καταλήγει στὴν σήραγγα Καρδίτσας (ἡ Ἀκραιφνίου), μέσω τῆς δποίας ἐκβάλλει στὴν λίμνη Ὑλίκης (μέγιστο ὑψόμετρο λίμνης +80,0μ.).

Τὸ βόρειο τμῆμα τῆς λεκάνης ἔχει σχετικά ἥπιες κλίσεις ἐνῷ τὸ δυτικό (πρὸς τὸν Παρνασσό καὶ τὴν Γκιώνα) ἀπότομες. Μορφολογικά καὶ σὲ σχέση πρὸς τὰς κλίσεις τῆς λεκάνης καὶ τὰς μῆκος κλίσεις τῆς κύριας μισγάγκειας, μποροῦμε νά διακρίνουμε τρία τμήματα τοῦ ποταμοῦ καὶ τῆς λεκάνης.

- Τὸν "Ανω ροῦ, πού χαρακτηρίζεται καὶ ὡς λεκάνη Μπράλλου, πού φθάνει μέχρι τὴν χαράδρα τῆς Ἀμφίκλειας (δπου προβλέπεται ἡ κατασκευὴ φράγματος διασχέσεως ἑκτάσεως 444 χμ^2).

- Τόν Μέσο ροῦ, δηλαδή τό τμῆμα άπό τήν χαράδρα 'Αμφίκλειας μέχρι τή γέφυρα Κινέττας έκτάσεως 427 km^2 .
- Τόν κάτω ροῦ άπό γέφυρα Κινέττας μέχρι τό φράγμα BOOT (δπου πρό 100 έτῶν άρχιζε δ Μέλας ποταμός και ἡ λίμνη Κωπαΐδας) έκτάσεως 302 km^2 .
- Τό διευθετημένο πεδινό τμῆμα πού διασχίζει τήν τέως λίμνη Κωπαΐδας, δλικής λεκάνης άπορροής 837 km^2 τό δπού ίδροιο ίκανά παρουσιάζει τελείως διαφορετική δίαιτα άπό τίς προηγούμενες λεκάνες.

Ο διαχωρισμός αύτός δίνει μιά γενική ίδέα τής πορείας τού ποταμού μέ τίς λεκάνες πού φέρει σέ μερικές κεντρικές θέσεις. Ένδιαμεσα βέβαια άπό τίς θέσεις αύτές τροφοδοτεῖται μέ πλήθος ρευμάτων και χειμάρρων, οι δπού ιδίους έχουν έξετασθεί μεμονωμένα στό Είσαγωγικό μέρος.

Έτσι δίνω ροῦς μπορεῖ νά χωρισθεῖ σέ μιά λεκάνη μέχρι τόν σιδηροσταθμό Λιλαίας έκτάσεως 356 km^2 και τήν λεκάνη τῶν έκατέρωθεν τής χαράδρας 'Αμφίκλειας κλιτύων, έκτάσεως 88 km^2 (ίδε σχέδιο 7.1 τού Είσαγωγικού Μέρους).

Η λεκάνη τού μέσου ροῦ συνίσταται άπό τίς ίδρυτες τής Τιθορέας ($E=148 \text{ km}^2$) πού καταλαμβάνει δλόκηρο τό δεξιό τού ποταμού τμῆμα άπό φράγμα 'Αμφίκλειας μέχρι γέφυρα Κινέττας, και τίς ίδρυτες τής άριστερᾶς δχθης τού ποταμού: Μοδίου $57,5 \text{ km}^2$, Φελορέμματος Δευκοχωρίου - Κινέττας $105,5 \text{ km}^2$ και Μπογδανορέμματος $116,3 \text{ km}^2$ ή συνολικά $279,3 \text{ km}^2$, (ίδε σχέδια 6.1 και 7.1).

Η λεκάνη τού Κάτω ροῦ άπό Κινέττας μέχρι φράγματος BOOT άποτελεῖται άφ' ένδις άπό τίς λεκάνες τῶν συμβαλλόντων άπό τά δεξιά τού ποταμού, χειμάρρων Πλατανιᾶ και 'Αγίου Βλάση έκτάσεως και μικρών ρευμάτων Χαιρωνείας έκτάσεως $26,25 \text{ km}^2$ και άφ' έτέρου άπό τίς μικρολεκάνες τῶν συμβαλλόντων άπό τά άριστερά του, Καράμουζας και 'Ακοντίου, έκτάσεως $35,25 \text{ km}^2$, ήτοι συνολικά άπό 302 km^2 (ίδε σχέδιο 3.1).

Η χαμηλή λεκάνη τού διευθετημένου πεδινού τμήματος είναι ούσιαστικά ή άμεση λεκάνη άπορροής τής λίμνης Κωπαΐδας και άποτελεῖται άπό τόν παλαιό καθρέπτη τής λίμνης κατ' άρχην τήν κάτω τής ίσοϋψούς $+ 100\mu$. πεδιάδα έκτάσεως 206 km^2 τίς άριστερά τού ποταμού και βόρεια τής λίμνης προσβάσεως τού χλωμού και τού Πτώου δρους, έκτάσεως 303 km^2 πού έτροφοδοτούσαν τήν λίμνη και τόν Μέλανα ποταμό, και άπό τά δεξιά τού ποταμού τό νότιο τμῆμα τής λεκάνης έκτάσεως 328 km^2

τό δποτο είναι και τό πλέον πλούσιο σέ βροχές και πλημμυρικές παροχές και περιλαμβάνει τούς χειμάρρους "Ερκυνα λεκάνης 98 χμ² Πόντζα 74 χμ² και λόφι 84 χμ² καθώς και λοιπές έκτασεις με μικρολεκάνες, 72 χμ².

Τό δλικό μήκος τοῦ φυσικοῦ ρεύματος άνερχεται σέ 78,2 χμ. από τό φρ. BOOT και άναντη μέχρι τό έσχατο άκρο τοῦ θύρων στό βορειοδυτικό άκρο τής λεκάνης και τοῦ διευθετημένου (από τήν σήραγγα Καρδίτσας μέχρι τό φράγμα BOOT σέ 36,63 χμ. πού διακρίνονται σέ:

2,75 χμ. τής Συγκεντρωτικής Διώρυγας
10,40 χμ. τής Διώρυγας Τέλματος
23,48 χμ. τής Μεγάλης Διώρυγας μέχρι τό φράγμα BOOT.

Συνολικό δηλαδή μήκος τοῦ θύρων είναι 114,8 χμ.

Στόν άκρουθο πίνακα δίνονται οι έκτασεις τής λεκάνης άπορροής σέ κάθε χιλιομετρική άπόσταση.

ΠΙΝΑΚΑΣ 2.1
Χαρακτηριστικά λεκάνης και θύρων Κηφισοῦ

Υπολεκάνη	Θέση	E (χμ ²)	Hμ
άρχη	78,2	0	+ 2.150
S ₁	41,6	444	+ 830
S ₂	17,6	871	+ 642
S ₃	00,0	1.173	+ 609
S ₄	36,8	2.010	+ 473
S ₁₋₂	(24,0)	427	+ 448
S ₂₋₃	(17,6)	302	+ 500
S ₃₋₄	(36,8)	837	+ 290
ΣL =	115,0	2.010	+ 473

Πολύ άναλυτικώτερα στοιχεῖα γιά τίς λεκάνες τῶν μεμονωμένων συμβαλλόντων τοῦ Κηφισοῦ έχουν δοθεῖ στό Είσαγωγικό Μέρος, σελ. 26-30 γιά τόν χ. Πόντζα, σελ. 144 έως 153 γιά τούς χειμάρρους Πλατανιᾶ και Αγίου Βλάση, σελίς 202 έως 218 γιά τίς άναντη τοῦ φράγματος BOOT λεκάνες, σελ. 273 έως 276 γιά τίς λεκάνες Φελορέματος - Δευκοχωρίου και 299 έως 303 περιοχῆς Κινέττας.

ΠΙΝΑΚΑΣ 2.1

Λεκάνη Απορροής στό ωράγμα Αμφίκλειας

H (μ)	Επάνω τοῦ Υψομέτρου H _i (χλμ ²)	ΔE _i	$\frac{H_i + H_{i+1}}{2} \cdot \Delta E_i$
2.340	0,00	0,25	580,00
2.300	0,25	2,13	4.792,50
2.200	2,38	2,87	6.170,50
2.100	5,25	3,41	6.990,50
2.000	8,66	3,84	7.488,00
1.900	12,50	4,76	8.806,00
1.800	17,26	5,59	9.782,50
1.700	22,85	8,15	13.447,50
1.600	31,00	7,76	12.028,00
1.500	38,76	21,54	31.233,00
1.400	60,30	13,45	18.157,50
1.300	73,75	22,25	27.312,50
1.200	96,00	32,00	36.800,00
1.100	128,00	11,55	12.127,50
1.000	139,55	27,08	25.726,00
900	166,63	31,15	26.477,50
800	197,78	33,35	25.012,50
700	231,13	36,75	23.887,50
600	267,88	33,12	18.216,00
500	301,00	46,51	20.929,50
400	347,51	71,99	25.196,50
300	419,50	19,50	5.655,00
200	439,00	5,38	1.345,00
220	444,38		
Άθροισμα		444,38	368.661,50

$$H_{\mu} = \frac{\sum (\frac{H_i + H_{i+1}}{2} \cdot \Delta E_i)}{\sum \Delta E_i} = \frac{368.661,50}{444,38} = 830 \mu.$$

ΠΙΝΑΚΑΣ 2.2
· Υπολεκάνη Μοδίου

H_i	"Ενδειξη	Εάνω τοῦ Υψομέτρου H_i	ΔE_i	$\frac{H_i + H_{i+1}}{2} - \Delta E$
850	0,0	0,00		
800	4,0	1,00	1,00	825,0
700	15,0	3,75	2,75	2.062,5
600	32,0	8,00	4,25	2.762,5
500	54,0	13,50	5,50	3.025,0
400	82,0	20,50	7,00	3.150,0
300	118,0	29,50	9,00	3.150,0
200	181,0	45,25	15,75	3.937,5
120	230,0	57,50	12,25	1.960,0
"Αθροισμα			57,50	2.0872,5

$$H_\mu = \frac{2.0872,5}{57,50} = 363\mu.$$

ΠΙΝΑΚΑΣ 2.3

Υπολεκάνη "Ανω Τιθορέας

$H_i \mu$	"Ενδειξη	Ε δικτύου Υψομέτρου H_i	ΔE_i	$\frac{H_i + H_{i+1}}{2} - \Delta E_i$
2320	0,00	0,00	0,05	115,75
2300	0,20	0,05	0,95	2137,50
2200	4,00	1,00	2,50	5375,00
2100	14,00	3,50	2,00	4100,00
2000	22,00	5,50	2,75	5362,50
1900	33,00	8,25	4,00	7400,00
1800	49,00	12,25	3,25	5687,50
1700	62,00	15,50	2,50	4125,00
1600	72,00	18,00	4,00	6200,00
1500	88,00	22,00	2,63	3813,50
1400	98,50	24,63	2,75	3712,50
1300	109,50	27,38	2,87	3587,50
1200	121,00	30,25	3,63	4174,50
1100	135,50	33,88	3,87	4063,50
1000	151,00	37,75	3,88	3686,00
900	166,50	41,63	3,25	2762,50
800	179,50	44,88	3,37	2527,50
700	193,00	48,25	4,25	2762,50
600	210,00	52,50	6,75	3712,50
500	237,00	59,25	9,50	4275,00
400	275,00	68,75	17,50	6125,00
300	345,00	86,25	30,75	7687,50
200	468,00	117,00	31,00	4960,00
120	592,00	148,00		
"Αθροισμα			148,00	98353,25

$$H_\mu = \frac{98353,25}{148,00} = 665 \mu.$$

ΠΙΝΑΚΑΣ 2.4
Λεκάνη από οράγμα Αμωμένειας μέχρι Κάτω Τιθορέας

H_i	"Ενδειξη	Ε ανω του Υψημέτρου H_i	ΔE_i	$\frac{H_i + H_{i+1}}{2} \Delta E_i$
2320	0,0	0,00		
2300	0,2	0,05	0,05	115,75
2200	4,0	1,00	0,95	2137,50
2100	14,0	3,50	2,50	5375,00
2000	22,0	5,50	2,00	4100,00
1900	33,0	8,25	2,75	5362,50
1800	49,0	12,25	4,00	7400,00
1700	62,0	15,50	3,25	5687,50
1600	72,0	18,00	2,50	4125,00
1500	88,0	22,00	4,00	6200,00
1400	98,5	24,63	2,63	3813,50
1300	109,5	27,38	2,75	3712,50
1200	121,0	30,25	2,87	3587,50
1100	135,5	33,88	3,63	4174,50
1000	151,0	37,75	3,87	4063,50
900	166,5	41,43	3,88	3686,00
800	183,5	45,88	4,25	3612,50
700	208,0	52,00	6,12	4590,00
600	242,0	60,50	8,50	5525,00
500	291,0	72,75	12,25	6737,50
400	357,0	89,25	16,50	7425,00
300	463,0	115,75	26,50	9275,00
200	649,0	162,25	46,50	11625,00
120	822,0	205,50	43,25	6920,00
		"Αθροισμα	205,50	119250,75

$$H_\mu = \frac{119250,75}{205,50} = 580 \mu.$$

ΠΙΝΑΚΑΣ 2.5

Ένιαία Λεκάνη άπορροής χειμάρρου Μπογδαναίου

$H_i \mu$	Ε ἀνω τοῦ Υψομέτρου H_i	ΔE_i	$\frac{H_i + H_{i+1}}{2} \Delta E_i$
900	0,00		
800	2,70	2,70	2295,00
700	4,90	2,20	1650,00
600	7,43	2,53	1644,50
500	16,30	8,87	4878,50
400	33,13	16,83	7573,50
300	63,28	30,15	10552,50
200	92,02	28,74	7185,00
120	116,30	24,28	3884,80
"Αθροισμα		116,30	39663,80

$$H_\mu = \frac{39663,80}{116,30} = 341$$

ΠΙΝΑΚΑΣ 5.6

Λεκάνες άπορροής Φολορρέματος, Λευκοχωρίου, Κινέτας
και χειμάρρου Μπογδαναίου

$H_i \mu$	Ε ἀνω τοῦ Υψομέτρου H_i	ΔE_i	$\frac{H_i + H_{i+1}}{2} \Delta E_i$
900	0,00		
800	3,82	3,82	3247,0
700	7,35	3,53	2647,5
600	19,93	12,58	8177,0
500	37,20	17,27	9498,5
400	63,76	26,56	11952,0
300	85,51	21,75	7612,5
200	150,15	64,64	16160,0
120	221,68	71,53	11444,8
"Αθροισμα		221,68	72124,10

$$H_\mu = \frac{72124,10}{221,68} = 325 \mu.$$

ΠΙΝΑΚΑΣ 2.7

·Ολόκληρη Λεκάνη απορροής άναντη γέφυρας ·Ανθοχωρίου

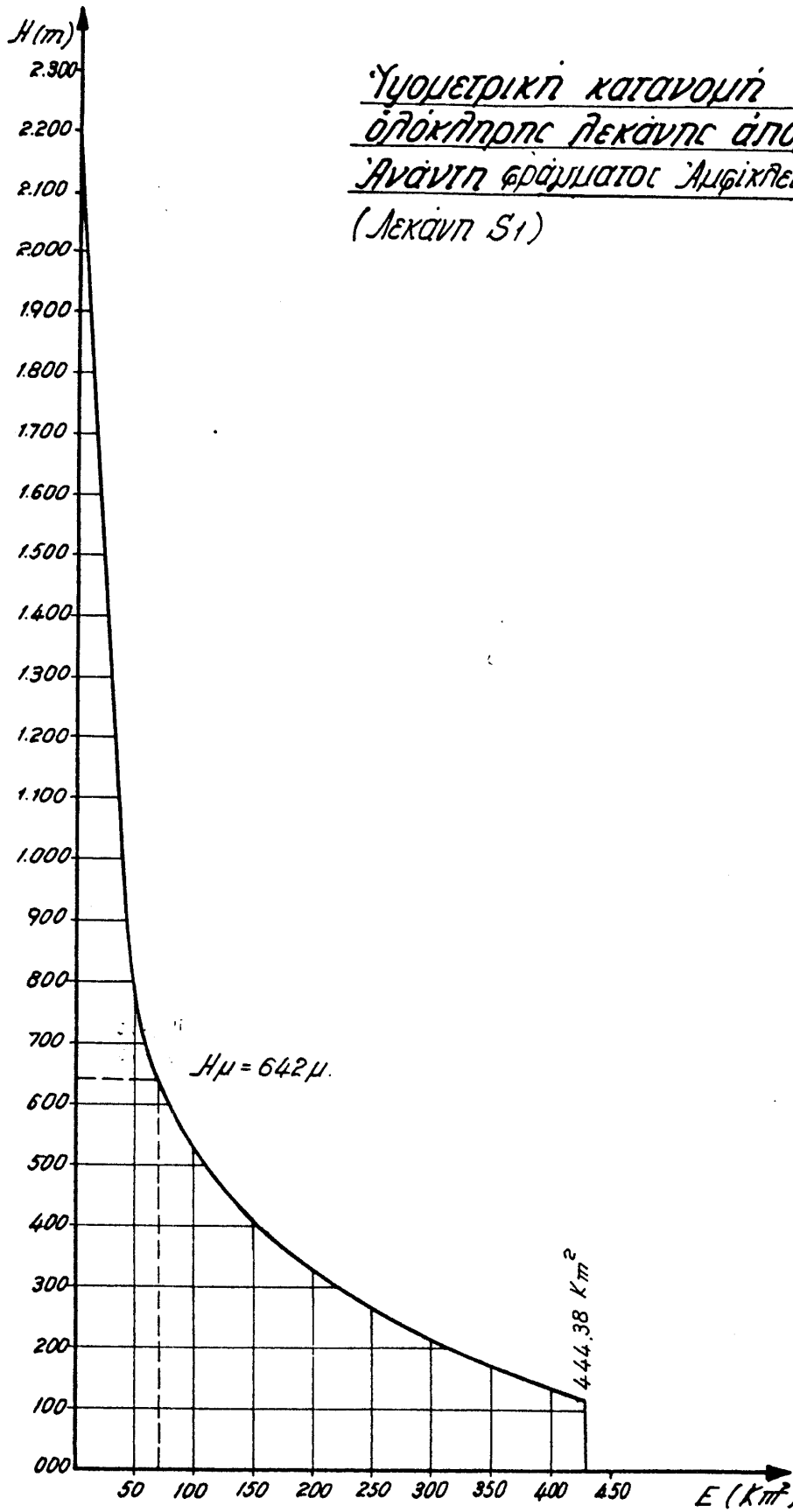
$H_i (\mu)$	Ε διάριο τοῦ Υψομέτρου H_i	Λεκάνη Αμφίκλειας	Λοιπές Λεκάνες	ΔE_i	$\frac{H_i + H_{i+1}}{2} - \Delta E_i$
2320	0,00	0,00	0,00	0,30	694,5
2300	0,05	0,25	0,30	3,08	6930,0
2200	1,00	2,38	3,38	5,37	11545,5
2100	3,50	5,25	8,75	5,41	11090,5
2000	5,50	8,66	14,16	6,59	12850,5
1900	8,25	12,50	20,75	8,76	16206,0
1800	12,25	17,26	29,51	8,84	15470,0
1700	15,50	22,85	38,35	10,65	17572,5
1600	18,00	31,00	49,00	11,76	18228,0
1500	22,00	38,76	60,76	24,17	35046,5
1400	24,63	60,30	84,93	16,20	21870,0
1300	27,38	73,75	101,13	25,12	31400,0
1200	30,25	96,00	126,25	35,63	40974,5
1100	33,88	128,00	161,88	15,42	16191,0
1000	37,75	139,55	177,30	30,96	29412,0
900	41,63	166,63	208,26	34,22	29087,0
800	48,70	193,78	242,48	48,00	36000,0
700	59,35	231,13	290,48	57,83	37589,5
600	80,43	267,88	348,31	62,64	34452,0
500	109,95	301,00	410,95	89,57	40306,5
400	153,01	347,51	500,52	140,24	49084,0
300	221,26	419,50	640,76	116,02	29005,0
200	312,40	444,38	756,78	114,78	18364,8
120	427,18	-	871,56	-	-
Αθροισμα				871,56	559370,3

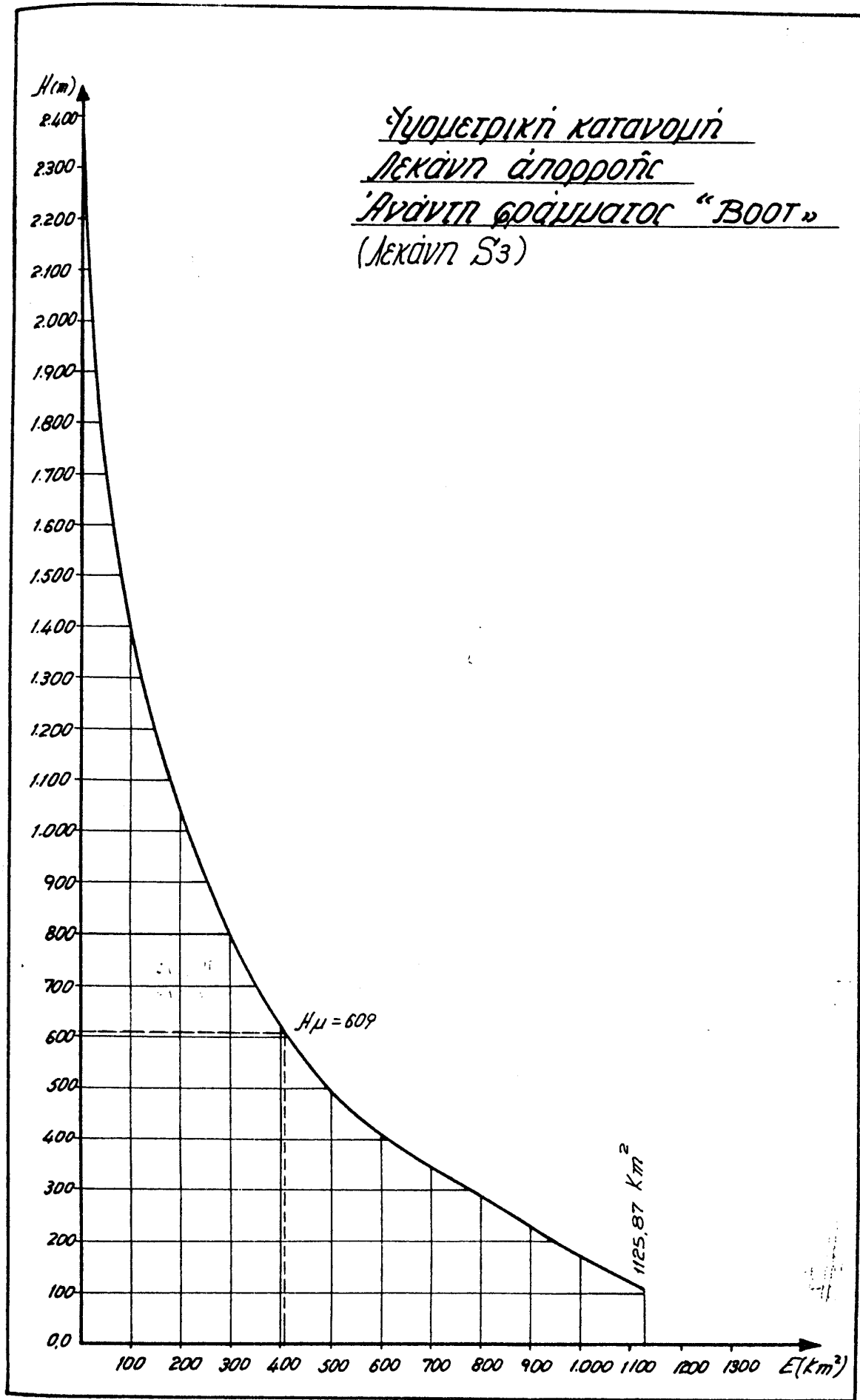
$$H_\mu = \frac{559370,3}{871,56} = 642 \mu.$$

ΠΙΝΑΚΑΣ 2.8
Λεικάνη άπορροής άνάντη τοῦ φράγματος ΒΟΟΤ

$H_i (\mu)$	Ε δινώ τοῦ Υψημέτρου H_i	ΔE_i	$\frac{H_i + H_{i+1}}{2} \Delta E_i$
2320	0,00	0,30	694,50
2300	0,30	3,21	7222,50
2200	3,51	5,87	12620,50
2100	9,38	5,91	12115,50
2000	15,29	7,34	14313,00
1900	22,63	10,26	18981,00
1800	32,89	11,71	20492,50
1700	44,60	12,45	20542,50
1600	57,05	13,71	21250,50
1500	70,76	26,92	39034,00
1400	97,68	19,08	25758,00
1300	116,76	29,49	36862,50
1200	146,25	41,14	47311,00
1100	187,39	22,79	23929,50
1000	210,18	37,59	35710,50
900	247,77	44,10	37485,00
800	291,87	56,24	42180,00
700	348,11	68,58	44577,00
600	416,69	78,51	43180,50
500	495,20	116,83	52573,50
400	612,03	173,37	60679,50
300	785,40	159,64	39910,00
200	945,04	160,83	25723,80
120	1105,87	20,00	2250,00
105	1125,87		
	"Αθροισμα	1125,87	685406,30

$$H_\mu = \frac{685406,30}{1125,87} = 609 \mu.$$





2.2 Φυτοκάλυψη λεκάνης

- Η δασοκάλυψη τής λεκάνης είναι άραιή, λόγω πυρκαϊών ή ύλοτομίας ή άποψιλώσεων για τη δημιουργία άγρων και λιβαδιών, μέ αποτέλεσμα τήν διπόλυση τοῦ έδαφου στρώματος και τήν άπογύμνωση τοῦ βραχώδους σκελετοῦ από τήν εύεργετική έπένδυσή του, τήν κατάκλυση τῶν πεδινῶν έκτάσεων και τήν μεταωρά στερεοπαροχής.
- Στή λεκάνη τοῦ δινω ροῦ ύπαρχουν μερικά δάση έλατης στό τμῆμα τῆς Γκιώνας. Έλάτη μέ πεύκη ύπαρχει έπίσης στίς νότιες κλιτύες τοῦ Καλλιδρόμου, τό ΐδιο δέ παρατηρεῖται και στό μικρό τμῆμα, τίς άνατολικές πλαγιές, τοῦ Παρνασσοῦ. Τό ποσοστό δασοκαλύσεως τής λεκάνης τοῦ δινω ροῦ δέν εξεπερνάει τό 12% και μάλιστα μέ μέση πυκνότητα δάσους 60%.
- Στή λεκάνη τοῦ μέσου ροῦ η δασοκάλυψη είναι άκρη πιστή άραιή. Τό μέν Βόρειο τμῆμα, οι πλαγιές δηλαδή τοῦ Καλλιδρόμου, είναι άποψιλωμένο μέ ένα ποσοστό δάσους περί τό 5%, από άειδαλη πλατύφυλλα, ένω οι ΒΑ κλιτύες τοῦ Παρνασσοῦ έχουν περισσότερα δάση έλατης και άειδαλῶν πλατυφύλλων σέ ποσοστό 15%. Τό δλικό ποσοστό δάσους είναι περίπου 10% και αύτό μέ πυκνότητα 50 έως 60%.
- Η λεκάνη τοῦ κάτω ροῦ παρουσιάζει άκρη πιστή μικρή δασοκάλυψη και αύτό δχι μόνον λόγω τής άραιής βλαστήσεως τῶν άνατολικῶν κλιτύων τοῦ Παρνασσοῦ και τοῦ 'Ελικώνα ἀλλά και λόγω τοῦ δτι τό μέγιστο ποσοστό τής λεκάνης είναι οι πεδινές και καλλιεργήσιμες έκτάσεις. Ετσι τό ποσοστό μέσης δασοκαλύσεως 8%, μέ μέση πυκνότητα 40% μπορεῖ νά θεωρηθεῖ έφαμιλλο τοῦ ποσοστοῦ τῶν ύψηλοτέρων τμημάτων τής λεκάνης.

3. ΓΕΩΛΟΓΙΚΑ ΚΑΙ ΥΔΡΟΓΕΩΛΟΓΙΚΑ ΣΤΟΙΧΕΙΑ ΔΕΚΑΝΗΣ ΒΟΙΩΤΙΚΟΥ ΚΗΦΙΣΟΥ

3.1. Γεωλογική δομή τῆς περιοχῆς

3.1.1 Γενικότητες

Τά ιζήματα δύο γεωτεκτονικῶν ζωνῶν, ὅπου ἡ μία, τῆς Ἀνατ. Ἑλλάδος, εἶναι ἐπωθημένη ἐπὶ τῆς ἀλλης, τῆς Παρνασσοῦ - Γκιώνας, συμμετέχουν στὴ γεωλογική δομή τῆς λεκάνης ἀπορροῆς τοῦ Βοιωτικοῦ Κηφισοῦ ποταμοῦ. Χαρακτηριστικό γνώρισμα τῆς ζώνης Ἀνατολικῆς Ἑλλάδος εἶναι ἡ παρουσία τοῦ συμπλέγματος δρυιολίθων - ραδιολαριτῶν καὶ ἀπό τὴν ἀσύμφωνο ἀπόδηση τῶν ιζημάτων τοῦ "Ἀνω Κρητιδικοῦ". Ἡ ζώνη Παρνασσοῦ - Γκιώνας πού καταλαμβάνει δλόκληρο τὸ δυτικό τμῆμα τῆς λεκάνης χαρακτηρίζεται ἀπό τὴν ἀπουσία μαγματικῶν πετρωμάτων, τὴν καρστικοποίηση τῶν ἀνθρακικῶν ιζημάτων καὶ τὴ βωξιτογένεση.

3.1.2 Στρωματογραφική διάρρωση

- Ζώνη Παρνασσοῦ - Γκιώνας

Τό τριαδικό ἀντιπροσωπεύεται ἀπό λευκούς, τεφρούς ἔως σκοτεινότερούς κρυσταλλικούς δολομίτες. Ἡ ὑφὴ των εἶναι λεπτοταίνια καὶ δολομιτικοῦ ὄλικοῦ. Ἐμφανίζεται νότια τῆς Τιθορέας.

Κατά τό ίουρασικό ἀποτέληκαν ἀσβεστόλιθοι συνήθως σκοτεινοῦ χρώματος, βιτουμενιοῦχοι καὶ ώλιθεικοί. Ἡ μετάβαση πρός τούς ὑποκείμενους τριαδικούς δολομίτες εἶναι βαθμιαύια καὶ πραγματοποιεῖται μέδολομιτικές ἐναλλαγές. Ἐπάνω στούς ἀσβεστολίθους αύτούς ἔχουν ἀποτεθεῖ οἱ βωξίτες τοῦ κατωτέρου δριζόντα. Οἱ ἀνώτεροι ἀσβεστολιθικοί δριζόντες εἶναι παχυστρωματώδεις στιφροί, σκοτεινοῦ χρώματος ἐπὶ τῶν διποίων ἐπικάθηνται οἱ βωξίτες τοῦ μεσαίου δριζόντα. Οἱ ἀσβεστόλιθοι τῶν δύο αύτῶν δριζόντων (ἀπαιτοῦνται στίς περιοχές Πύργου, Ἀνθοχωρίου, Μαυρονερίου, Μαυροματίου κλπ., ὅπως καὶ στούς πυρήνες μερικῶν ἀντικλίνων στὰ φύλλα Λεβαδειᾶς καὶ τὸ Λιβανάτες τὸ κρητιδικὸν ἐντιπροσωπεύεται μέσο στρωματώδεις ἔως λεπτοστρωματώδεις ἀσβεστολίθους πού χαρακτηρίζονται σάν "ἐνδιάμεσοι ἀσβεστόλιθοι" ἐπειδή παρεμβάλλονται μεταξύ δύο βωξιτοφόρων δριζόντων. Στά ἀνώτερα στρώματα τοῦ κρητιδικοῦ ἐμφανίζονται ρουδιστοφόροι ἀσβεστόλιθοι πού εἶναι συνήθως μικροκρυσταλλικοί τεφροί ἔως μαῦροι καὶ ἀποτελοῦν τὴν όροφή τοῦ ἀνώτερου βωξιτοφόρου δριζόντα. "Οσο προχωροῦμε σὲ ἀνωτέρους δριζόντες οἱ ἀσβεστόλιθοι ἐμφανίζονται λεπτοστρωματώδεις εἶναι στιφροί λευκόφατοι ἔως ἐρυθροπράσινοι. Οἱ ἀσβεστόλιθοι τοῦ κρητιδικοῦ ἀπαντοῦν N.A τῆς Λι-

λαίας και στίς περιοχές Διστόμου, Κερατοβουνίου, Σιρμινίτσας κλπ.

Τέλος τό παλαιογενές άντιπροσωπεύεται άπό τή διάπλαση τοῦ φλύσχη. Στή βάση τοῦ σχηματισμοῦ αύτοῦ άναπτύσσεται μία 'Ερυθροβυσινόχρωμη άσβεστομαργαϊκή σειρά, πού δέν έχει τά τυπικά γνωρίσματα τοῦ φλύσχου και άκολουθεῖ δ ψαμμιτοκλιτικός φλύσχης πού στά άνωτερα στρώματα ύπαρχουν πάρεμβολές κροκαλοπαγῶν στρωμάτων άρκετοῦ πάχους, διλογοστρωματικῆς προελεύσεως.

- Ζῶνες 'Αν. 'Ελλάδος

Τό τριαδικό άντιπροσωπεύεται άπό έρυθρωπούς άσβεστολίθους πού παρουσιάζονται υπό μορφή τεμαχῶν.

Τό 'Ιουρασικό άντιπροσωπεύεται άπό ίζηματα μεταβάσεως πρός τή ζώνη Παρνασσοῦ - Γκιώνας πού είναι κυρίως σχιστοκερατόλιθοι στούς δποίους παρεμβάλλονται άσβεστόλιθοι. Κατά τήν περίοδο αύτή λαμβάνουν χώρα δφιολιθικές έκχύσεις πού προέρχονται άπό τή διαφοροποίηση ένδες βασικοῦ μάγματος. Στά άνωτερα στρώματα άναπτύσσονται ραδιολαρίτες πού στρωματογραφικῶς έπικεινται τῶν δφιολίθων. Στό αρητιδικό άναπτύσσονται ραδιολαριτικά στρώματα έπι τῶν δποίων έχουν άποτεθεῖ άσύμφωνα κροκαλολατυποπαγεῖς όρίζοντες άπό ραδιολαριτικές και δφιολιθικές συνήθως κροκάλες. Τά άνωτερα στρώματα τοῦ αρητιδικοῦ άποτελούνται άπό άσβεστολίθους μέ παρεμβολές ραδιολαριτῶν και πρασινοπετρωμάτων. Ή ίζηματογένεση τής ζώνης αύτης κλείνει μέ τήν έμφάνιση τοῦ φλύσχη.

- Τό τριτογενές άντιπροσωπεύεται άπό μάργες, μαργαϊκούς άσβεστολίθους, ψαμμίτες, κροκαλοπαγή κλπ.

Οι σχηματισμοί αύτοί καλύπτουν άσυμφώνως τούς τριαδικούς άσβεστολίθους στό Νεοχώριο, τούς 'Ιουρασικούς στό Μαυρομμάτι και τούς αρητιδικούς στό Λεοντάρι. Από άπόψεως διομής οι σχηματισμοί αύτοί άντικατοπτρίζουν τίς βαθειές άπό Β.Δ πρός Ν.Α κινήσεις άντικλινο Βαΐων σύγκλινο λεκάνης Λιβανάτες.

- Τέλος ένα σημαντικό τμῆμα τής λεκάνης άπορροής καταλαμβάνουν οι σχηματισμοί τοῦ τεταρτογενούς πού είναι:

Λατυποπαγεῖς άποθέσεις δυτικά τοῦ Κερατοβουνίου, έρυθρές δρυγίλους, ποτάμιες προσχώσεις και πολυάριθμοι κάνοι άποθέσεως.

3.1.3 Τεκτονική

Τό σπουδαιότερο τεκτονικό γνώρισμα είναι ή έπωθηση τῶν ίζημάτων 'Ανατ. 'Ελλάδος (άσβεστόλιθοι - σχιστοκερατόλιθοι) πάνω στό φλύσχη

τῆς ζώνης Παρνασσοῦ - Γκιώνας. Ἡ ἐπώθηση αὐτὴ εἶναι ἐμφανής σὲ πολλά σημεῖα τῆς λεκάνης τοῦ Βοιωτικοῦ Κηφισσοῦ. Ἐτσι ἐπώθηση ρουδιστοφόρων ἀσβεστολίθων ἐπὶ τοῦ φλύσχου ἐμφανίζεται στὴν ἀνατ. πλευρά τῆς λεκάνης στὴν περιοχὴ τοῦ Ἀκραιφνίου. Ἐπίσης ἐπαφὴ τῆς ἐπώθησης παρατηρεῖται ἀνατ. τῆς διώρυγας τῆς Καρδίτσας πλησίον τῆς Μονῆς "Πελαγία". Στά ἐπωθημένα ἵζηματα κατατάσσονται καὶ οἱ δρεινές μάζες τοῦ Κερατοβουνίου καὶ Ἀκοντίου.

Κατά τούς Τάταρη καὶ Κούνη τά ἐφιππευτικά γεγονότα στὴν περιοχὴ Ἀκραιφνίου - Μονῆς Πελαγίας ἔξελίσσονται ἀπό Ν - Β ἐνῶ στίς περιοχές Κοκκινόβραχο, Ἀγ. Σώστη, Ἀγ. Ελεούσα, κλπ. ἀπό Α - Δ.

Ἐκτός τῆς τεκτονικῆς τῶν ἐπωθήσεων, σημαντικό ρόλο στὸ σχηματισμό τῆς τάφρου τῆς Κωπαΐδας καὶ τῆς λεκάνης γενικά τοῦ Βοιωτικοῦ Κηφισσοῦ ἔπαιξε ἡ ἐπίδραση τῆς ρηγματογόνου τεκτονικῆς.

Ἡ τεκτονικὴ αὐτὴ χαρακτηρίζεται ἀπό δύο συστήματα ρηγμάτων δ/νσεων ΔΒΔ - ANA καὶ ABA - ΔΝΔ.

Στό πρῶτο σύστημα τῶν ρηγμάτων ἀντιστοιχοῦν οἱ μεταπτώσεις στὸ "Ἀκόντιο" "Κερατοβούνι" καὶ τά ρήγματα κατά μῆκος τῆς διαδρομῆς θουρίου - Χαιρώνειας.

Στό δεύτερο σύστημα τῶν ρηγμάτων ἀντιστοιχεῖ ἡ μεγάλη μετάπτωση νότια τοῦ ὅρους "Πτῶον" καὶ τά βυθίσματα στὴν Τοπόλια καὶ Λεβαδειάς - Πετρομαγούλα.

Τά μεγάλα ρήγματα καὶ οἱ μεταπτώσεις τῆς περιοχῆς ἀρχισαν κατά τό πλεισταινο ἀφοῦ τά βυθίσματα πού ἔχουν δημιουργηθεῖ ἔχουν γεμίσει μέ πλειοκαίνια ἵζηματα. Σέ μεταπλειοκαίνια ρήγματα καὶ μεταπτώσεις ἀποδίδεται καὶ ὁ σχηματισμός τῆς λίμνης Κωπαΐδας.

Κατά τό PHILIPPSON ἡ λεκάνη τῆς Κωπαΐδας κατά τὴν περίοδο τοῦ πλειοκαίνου ἦτο τμῆμα μιᾶς λίμνης πού ἔξετείνετο πρός δυσμάς μέχρι τή λειβαδειά καὶ πρός νότο μέχρι τῶν θηβῶν. "Ενα νεώτερο σύστημα διαρρήξεων περιορίζει τὴν παραπάνω λίμνη κατά τό τεταρτογενές.

Τό δυτικό τμῆμα τῆς λεκάνης τοῦ Βοιωτικοῦ Κηφισσοῦ χαρακτηρίζεται ἀπό τὴν τεκτονικὴ τῆς ζώνης Παρνασσοῦ - Γκιώνας ὅπου ἔχουμε ἐπικράτηση τῶν μεταπτώσεων Δ/νσεων Β-Ν καὶ Α-Δ' Εξαιτίας τῶν μεταπτώσεων αὐτῶν εἶναι καὶ ἡ ἀνώμαλη τεκτονικὴ ἐπαφὴ πού παρατηρεῖται μεταξύ ἀσβεστολίθων κρωτιδικοῦ καὶ Ιουρασικοῦ.

3.2 Υδρογεωλογία

3.2.1 Γενική Περιγραφή

Η λεκάνη άπορροής του Βοιωτικού Κηφισοῦ, άνάντη τῆς λίμνης 'Υλίκης, έχει έπιφανειά 2010χμ^2 και μέσο ύψομετρο 456 μ. , μέ φυσικό άποδεκτη τῶν άπαρεόντων και στραγγιζομένων νερῶν τήν λίμνη 'Υλίκης.

Ο ποταμός Βοιωτικός Κηφισός χωρίζεται σε τρία τμήματα: στόν δυναροῦ μέ έκταση 450 χμ^2 και μέσο ύψομετρο 790 μ. , στό μέσο ροῦ μέ έκταση 440 χμ^2 και μέσο ύψομετρο 463 μ. και στόν κάτω ροῦ μέ έκταση 1120 χμ^2 και μέσο ύψομετρο 320 μ. Οι αντίστοιχες πρόσ τά τρία τμήματα τῆς λεκάνης πεδινές έκτασεις είναι: 80.000 στρ. του δυναροῦ πού άνηκουν στά χωριά Γραβιά, Λιλαία, Πολύδροσον, 100.000 στρ. μέσου ροῦ, τῶν χωρίων 'Ελάτειας, Τιθορέας, 'Ανθοχωρίου (Κινέττας) και 289.000 στρ. καθαρῆς άρδευσιμῆς γεωργικῆς γῆς στόν κάτω ροῦ ἐκ τῶν δύο τά 182.500 στρ. είναι τής Κωπαΐδας και τά 106.500 στρ. τά έξωκωπαϊδιά.

3.2.2 Υδρολογία - Βροχομετρία

Η λεκάνη Βοιωτικού Κηφισοῦ δέχεται κάθε χρόνο ἕνα μέσο δύκο άτμοσφαιρικῶν κατακρημνισμάτων $1.484 \text{ έκατομ. μ}^3$ (μέσο ύψος $748,5 \text{ χλστ.}$) πού γιά κάθε τμήμα αύτῆς είναι:

- α) 420 έκατομ. μ^3 δύκον βροχῆς ($960,9 \text{ χλστ.}$) στόν δυναροῦ.
- β) $298 \text{ " " " } (699,4 \text{ χλστ.})$ στόν μέσο ροῦ.
- γ) $\frac{766}{1.484} \text{ " " " } (684,3 \text{ χλστ.})$ στόν κάτω ροῦ.

Ἐκ τῶν $1.484 \text{ έκατομ. μ}^3$, μέσου έτήσιου δύκου βροχῆς, τά 443 έκατομ. μ^3 άπορρέουν μέσω τῆς συλλεκτηρίου διώρυγας Καρδίτσης πρός τήν 'Υλίκην (συντελεστής άπορροής $29,8\%$), μέ έλαχίστη παρατηρηθεῖσα άπορροή $323 \text{ έκατομ. τό 1953 και μεγίστη 620 έκατομ. μ}^3$ τό 1968.

Ἐντός τῆς λεκάνης του Βοιωτικού Κηφισοῦ υπάρχουν πολλές πηγαίες άναβλύσεις μέσου συνολικού έτήσιου δύκου άπορροής 283 έκατ. μ^3 , πού προέρχονται αυρίως άπό υπερπλήρωση τῶν υπόγειων καρστικῶν λεκανῶν στίς περιοχές Λιλαίας, 'Αγ. 'Ελεούσης, Όρχομενον, Πολυγύρας Μαυρονερίου Λεβαδείας και λοιπῶν μικροπηγῶν και πού άποτελοῦν τούς κυριους υδατικούς πόρους γιά τήν αντιμετώπιση τῶν υδρευτικῶν και άρδευτικῶν άναγκῶν τῆς περιοχῆς (θερινή παροχή κρίσιμου μήνα $4,5 \text{ μ}^3/\text{δλ.}$).

Στόν δάνω και μέσο ροῦ άποδέκτης τῶν δμβρίων και πηγαίων νερῶν εἶναι ή κοίτη τοῦ ποταμοῦ Βοιωτικοῦ Κηφισοῦ, ἐνῶ στόν κάτω ροῦ ή συλλογή τῶν νερῶν γίνεται ἐκτός ἀπό τό Βοιωτικό Κηφισό και τό ποταμό Μέλανα και ἀπό πλῆθος πρωτευουσῶν και δευτερευουσῶν τάφρων πού ἥδη χρησιμοποιοῦνται γιά τήν ἀρδευση Κωπαΐδος, τέλος ή ἀπαγωγή ὅλων τῶν νερῶν. τῆς λεκάνης στήν 'Υλίκη γίνεται μέ τήν νέα σήραγγα . Καρδίτσας, μεγάλης παροχετευτικῆς ικανότητας (δάνω τῶν $480 \mu^3/\delta\lambda$).

Τό ὄψις τῆς έτήσιας ἔξατμισης ἔχει εὐρεθεῖ σύμρωνα μέ τή μέθοδο τοῦ Thornthwaite κατά μέσο ὅρον 580 χλστ. πλήν τῶν ἀρδευομένων πεδινῶν περιοχῶν ὅπου ή ἔξατμιση εἶναι μεγαλύτερη λόγο τῶν ἀρδεύσεων.

'Ιδιαίτερα στίς ἀρδευόμενες περιοχές τῆς Κωπαΐδας ή ἔξατμιση πλησιάζει τήν δυναμική ἔξατμισοδιαπνοή (Potentiel evapotrcmspiratioη) πού εἶναι γιά τά ἀρδευόμενα ἑδάφη 930 χλστ. 'Εάν δυμας προστεθεῖ και ή ἐπί πλέον τῆς Δυναμικῆς ἔξατμισης ποσότητα νεροῦ πού ἔξατμίζεται στίς πολυπληθεῖς τάφρους πού κρατοῦνται συνεχώς γεμάτες μέ νερό τό καλοκαίρι, γιά ἀρδευτικούς σκοπούς, ή συνολική ἔξατμιση στήν Κωπαΐδα ὑπερβαίνει τή δυναμική κατά 100-120 χλστ. και διαμορφώνεται στό ὄψις τῶν 1030-1050 χλστ. έτησίως. 'Η μεγάλη αύτή ἔξατμιση πού συντελεῖται στή Κωπαΐδα, ἐκτός ἀπό τό ὅτι ύγραινει ύπέρμετρα τήν ἀτμόσφαιρα, ἀποτελεῖ ἀνασταλτικό παράγοντα ἀνάπτυξης τῶν ἀρδεύσεων στήν περιοχή.

Και πράγματι δν κατασκευαστεῖ ἔνα σωστό ἀρδευτικό στραγγιστικό δίκτυο στή περιοχή Κωπαΐδας, θά ήταν δυνατόν νά ἀρδευθεῖ διπλάσια ἔκταση μέ τό ΐδιο νερό πού χρησιμοποιεῖται σήμερα.

'Η ἔξατμιση στούς δισβεστολίθους τῆς λεκάνης τοῦ Βοιωτικοῦ Κηφισοῦ εἶναι περίπου 25% τῶν πιπτουσῶν βροχῶν, ήτοι περίπου 210χλστ. και τοῦτο λόγω τοῦ μεγάλου βαθμοῦ κατεύσδυσης, πού φθάνει τό 80% τῆς βροχῆς. Τό ὑδατικό ισοζύγιο τῆς λεκάνης τοῦ Βοιωτικοῦ Κηφισοῦ σύμφωνα μέ ύπολογισμούς ἐπί τῶν ύπαρχόντων στοιχείων και Μελετῶν διαμορφώνεται δπως κατωτέρω:

ΠΙΝΑΚΑΣ 3.1

"Ογκος σε $10^6 \mu^3$

Εισροές $\mu^3 \times 10^6$	Έκροές $\mu^3 \times 10^6$
'Ατμοσφαιρικά κατακρημνήσματα 1484	1. 'Εξάτμιση
	α) από άσβεστόλιθους 850 $\chi\mu^2$ $\times 0,21 = 178,5$
	β) από μή άρδευσθμενες έπιφανειες 754 " $\times 0,580 = 437$
	γ) από Κωπαΐδα 180 " $\times 1,05 = 189$
	δ) από ήμιαρδευσθμενες έξωκαπαϊδικές έκτ. 200 " $\times 0,720 = 144$
	ε) από υδρευση και βιομηχανίες = 20
	2. 'Επιμανειακή διαρροή στήν 'Υλίκη = 443
	3. 'Υπόγειες διαφυγές σε διαλεκτικές λεκάνες ή θάλασσα = 72,5
1484	1.484

Η στράγγιση τῶν ύπόγειων νερῶν γίνεται μὲν τὴν αοίτη τοῦ ποταμοῦ Βοιωτικοῦ Κηφισοῦ καὶ τῶν παρακλάδων αύτοῦ.

Οἱ καρστικοί ύδροι φόροι σχηματισμοί ἐκφορτίζονται ύπό μορφή πηγῶν ή τυφλῶν έκροῶν σε ρυάκια ή ποταμούς συνεχοῦς ή διαλλείπουσας ροῆς καὶ άκρη σε ἐφαπτόμενους προσχωσιγενεῖς ή αρκαλοπαγεῖς σχηματισμούς καὶ ἐν συνεχείᾳ μέσω τῆς αοίτης τοῦ Βοιωτικοῦ Κηφισοῦ στήν 'Υλίκη μὲν τὴν διώρυγα Καρδίτσας.

Οἱ καρστικοί ύδροι φόροι σχηματισμοί τροφοδοτοῦνται από τούς προσχωσιγενεῖς σχηματισμούς ἐφ' ὅσον ἔχουνε ύψηλότερη ή χαμηλότερη πιεζομετρία σε σχέση μὲν ἐκείνη τῶν δευτέρων σχηματισμῶν.

Τὰ ἔδια καρστικά ύδροφόρα τροφοδοτοῦνται ἑκτός από τὴν βροχήν καὶ από ύπόγειες απορροές τῆς ἀνάντη αύτῶν λεκάνης καὶ κυρίως από ύπόγειες εἰσροές νεροῦ προερχόμενες από κατεισδύσεις δύμηρῶν νερῶν στόν ύπόγειο αποθεματικό χῶρο τοῦ δρεινοῦ συγκροτήματος Παρνασσοῦ. Τοῦτο βεβαιώνει τὴν ἀνάγκη τῆς διερεύνησης τῶν ύπογείων ύδατικῶν αποθεμάτων στόν εὑρύτερο χῶρο τῆς ύδρογεωλογικῆς λεκάνης προκειμένου νά βγάλουμε σωστά συμπεράσματα γιά τὸ διαθέσιμο ύδατικό δυναμικό καὶ τίς δυνατότητες ἀνάπτυξής του, σε μιά συγκεκριμένη ζώνη, ὅπως αύτή τῶν πηγῶν, Χαρίτων, Μέλανος, Πολυγύρας καὶ Μαυρονερίου.

· Η κίνηση τοῦ νεροῦ πρός τούς φυσικούς άποδέκτες γίνεται γρήγορα στὸν ἄνω καὶ μέσο ροῦ, ἐνῷ ἀντίθετα στὸν κάτω ροῦ γίνεται πολύ ἀργά μὲ διποτέλεσμα νά πλημμυρίζουν συχνά τά ἑδάφη τοῦ Κωπαΐδικοῦ πεδίου. Σ' αὐτό συντελεῖ ἔκτός ἀπό τίς μικρές κλίσεις τῶν τάφρων καὶ τῆς κοίτης τοῦ ποταμοῦ στὴν περιοχὴν Κωπαΐδος, καὶ δὲ τύπος τῶν ἑδαφῶν τῆς πού κρατοῦν περισσότερο νερό, λόγω τῆς ὑψηλῆς ὑδατοχωρητικότητάς των, καὶ τό διποτέλεσμαν μέ βραδύ ρυθμό στίς παρακείμενες τάφρους, καθώς καὶ ἡ ὑπαρξη πληθώρας τάφρων καὶ πολλῶν ὑδατοφρακτῶν κατά μῆκος τῶν τάφρων καὶ διωρύγων πού τούς ἔχουν βάλει γιά ἀρδευτικούς σκοπούς.

3.2.3 Τό σύστημα διποτέλεσμας τῆς λειάνης

· Η διποτέλεσμα τῆς λειάνης εἶναι συνδεδεμένη μὲ α) τὴν ἀνάπτυξη τῶν διαθεσίμων ὑδατικῶν πόρων τῆς περιοχῆς, β) τά ἔργα διεισποίησης τοῦ ὑδατικοῦ δυναμικοῦ καὶ (γ) τό σύστημα τῆς 'Υλίκης, πού περιληπτικά περιγράφεται κατωτέρω:

- Γιά τὴν κάλυψη τῶν ὑδρευτικῶν καὶ ἀρδευτικῶν ἀναγκῶν τῆς περιοχῆς ἄνω, μέσου καὶ κάτω ροῦ τοῦ Βοιωτικοῦ Κηφισοῦ, εἶναι ἀνάγκη νά ἀναπτυχθοῦν οἱ ἕδη διαθέσιμοι ὑδατικοί πόροι πού σήμερα εἶναι ἀνεπαρκεῖς.

· Η ἀνάπτυξη αὐτή μπορεῖ νά γίνει στὴν περιοχὴ τοῦ ἄνω ροῦ καὶ κυρίως στὴν περιοχὴ Χαιρώνειας, Μαυρονερίου, Ακοντίου καὶ πολυγύρας, μέ τὴν ἐκμετάλλευση τῶν ὑπογείων ὑδροφόρων ἀποθεμάτων μέ γεωτρήσεις, σέ βαθμό τέτοιο πού νά ἀντλοῦνται συνολικά ὑπερδιπλάσιες ποσότητες νεροῦ ἀπό τὴν τωρινή παροχὴ τῶν πηγῶν στὸν μῆνα τῆς αἰχμῆς τῶν ἀρδευτικῶν ἀναγκῶν.

Στὴν ἀνωτέρω περίπτωση παίρνουμε κατ' ούσίαν νερό ἀπό τὴν διποτέλεσμα καὶ τό δίνομε στὴν ἔξατμιση μέσω τῶν ἀρδεύσεων καὶ ὑδρεύσεων.

- Τά ἔργα διεισποίησης τοῦ ὑδατικοῦ δυναμικοῦ (ἀρδευτικά-στραγγιστικά, ὑδρευτικά) θά ἐλαττώσουν τίς ἀπώλειες σέ νερό, θά αύξησουν τίς ἀρδεύμενες ἔκτάσεις καὶ ἔτσι θά ἐλαττώσουν καὶ τίς στραγγιζόμενες, κατά τή διάρκεια τοῦ θέρους, ποσότητες πρός τὴν 'Υλίκη. Απεναντίας τά ἀντιπλημμυρικά - διποτέλεσματα - ἔργα θά αύξησουν τίς ἀπορρέουσες ποσότητες νεροῦ πρός τὴν 'Υλίκη κατά τή διάρκεια τῆς χειμερινῆς περιόδου. Οἱ ἀπορροές αὐτές θά εἶναι ἀκόμη μεγαλύτερες ἀν δέν γίνουν ἔργα ἀνάπτυξης ὑπογείων ὑδάτων.

· Η λίμνη 'Υλίκης είναι ένας ύδατινος ταμιευτήρας που έξυπηρετεῖ τις υδρευτικές ανάγκες τής Πρωτεύουσας (ταμιευτήρας ασφαλείας), μέρος άρδευτικών αναγκών τής Κωπαΐδος καί μικρού δρευτικές ανάγκες της πλησίον τής περιοχής.

· Η λίμνη τροφοδοτεῖται μέ 443 έκατομ. μ^3 από τή λεκάνη Βοιωτικοῦ Κηφισοῦ, πλήν δύμας υφίσταται μεγάλες άπωλειες, κυρίως λόγω υπόγειας έκροής πρός τήν Παραλίμνη καί κατά δεύτερο λόγο από βαθειά διείσδυση τοῦ νεροῦ καί έκροής του πρός τήν θάλασσα. Οι άπωλειες αύτές φθάνουν κατά μέσον δρο στά 100 έκατομ. μ^3 νεροῦ έτησίως καί λαμβανομένων υπόψη τῶν ξηρῶν έτῶν, κατά τά δποῖα οι είσροιές έλαττούνται σημαντικά, ή διαθέσιμη ποσότητα από τήν 'Υλίκη, μετά τίς άπωλειες φθάνει στό δριο τῶν 220 έκατομ. μ^3 καί ή δποία θεωρεῖται δριακή ποσότητα ασφαλείας υδρευσης πρωτευούσας, μή δυνάμενη νά χρησιμοποιηθεῖ γιά άλλον σκοπό.

· Εάν κατασκευαστοῦν άντιπλημμυρικά καί άποστραγγιστικά έργα, οι είσροιές πρός τήν 'Υλίκη, δπως έλέχθη, θά αύξηθοῦν κατά τή διάρκεια τής βροχερής περιόδου πού συμπίπτει νά είναι έκτος τής άρδευτικής.

· Η αύξηση αύτή θά προέλθει κυρίως από τίς άπορρέουσες ποσότητες στήν περιοχή τοῦ δινω ροῦ καί μέσου ροῦ.

Στήν περιοχή τοῦ κάτω ροῦ, μετά τήν δλοκλήρωση τής κατασκευής τῶν γεωτρήσεων, στήν άρχή τής βροχερής περιόδου θά έχουμε μιά άνάσχεση τῶν έπιφανειακών άπορροῶν λόγω έπαναπληρώσεως τῶν άντληθέντων υπόγειων υδροφόρων στρωμάτων καί πολύ σύντομα, μετά τήν έπαναπλήρωσή των, θά έχουμε σημαντικές έπιφανειακές άπορροές πού θά προέρχονται από άναβλύσεις πηγῶν καί τυφλές έκφορτίσεις τῶν υδροφόρων άποθεμάτων. Η σύντομη αύτή έπαναπλήρωση τῶν υπόγειων υδροφόρων άποθεμάτων θά πραγματοποιηθεῖ γιά τόν λόγο δτι τά υδροφόρα αύτά τροφοδοτούνται υπογείως από υπόγειους υδροφόρους άποθεματικούς χώρους τοῦ δρεινοῦ συγκροτήματος Παρνασσοῦ.

· Ετσι ή μείωση τῶν είσροῶν πρός 'Υλίκη, πού θά γίνει μέ τά έργα τῶν γεωτρήσεων, θά άντισταθμισθεῖ μέ τίς αύξημένες έπιφανειακές άπορροές πρός 'Υλίκη πού θά προέλθουν μετά τήν κατασκευή άντιπλημμυρικών άποστραγγιστικών έργων μέ τά δποῖα θά έλαττωθεῖ ή έξατμιση από έλεύθερες λιμνάζουσες (σήμερα) έπιφανειες νεροῦ στήν Κωπαΐδα.

Γενικά υπολογίζεται δτι μέ τήν κατασκευή τῶν άντιπλημμυρικών, άρδευτικών, άποστραγγιστικών έργων, ή έξατμιση είναι δυνατόν νά έλαττωθεῖ κατά 100 έκατομ. μ^3 τό διάχιστον, από τά δποῖα τά 70% θά διατεθοῦν γιά έπεκταση τῶν άρδευσεων καί τά 30% ώς αύξηση τῶν άποθεμάτων 'Υλίκης.

Τήν περίπτωση τῆς μελέτης μας σ' αύτό τό στάδιο ένδιαφέρει ή έπιφανεια τήν δποία κατέχουν αύτοί οι γεωλογικοί σχηματισμοί.

Στόν άκρουσθο πίνακα δίνομε τίς έπιφανειες αύτές τίς δποίες προκύπτει ότι οι άσβεστοι πάσης φύσεως (σειρές 4, 5, 9, 10, 12, και 13) καλύπτουν $480,1 \text{ km}^2$ ήτοι τό 42,6% ένων αν περιληφθούν και οι δολομίτες γίνονται 44,4%. Τά τεταρτογενή καλύπτουν μέ 384,7 km^2 τό 34,2%, από τά δποία στό ύπόβαθρο βαθειά υπάρχουν πάλι άσβεστοι.

Οι φλώσχες οι καθαρώς άδιαπέρατοι σχηματισμοί, μόλις φθάνουν τά $138,9 \text{ km}^2$ ήτοι τό 12,3% τῆς ολης λεκάνης.

ΠΙΝΑΚΑΣ 3.2

Έπιφανειες Γεωλογικῶν σχηματισμῶν

a/a	Όνομασία Συμβολισμός	Λεκάνη μέχρι Ανθοχώριου km^2	%	Λεκάνη μέχρι Ρουφράκη ΒΟΟΤ km^2	%
1	Όλοι και νον-Πλειστό- και νον	318,2	36,5	384,7	34,17
2	Πλειόκαι νον-μειό- και νον	48,6	5,6	48,6	4,32
3	Φλώχης Παρνασσοῦ- Γκιώνας	72,0	8,4	138,9	12,33
4	Κρητιδικοί άσβεστ. Παρνασσοῦ-Γκιώνας	127,8	14,7	131,2	11,65
5	Κρητιδικοί άσβεστ. έπικλώσεως	3,7	0,4	3,7	0,33
6	Σχιστοκερατόλιθοι	7,4	0,8	9,1	0,81
7	" άργιλικοί	36,6	4,2	36,6	3,25
8	Περιδοτήτες	7,9	0,9	8,4	0,75
9	Ιουρασικοί άσβεστ. Παρνασσοῦ	126,7	14,5	150,2	13,34
10	Ιουρασικοί άσβεστ. Άν. Έλλάδος	84,1	9,6	84,1	7,47
11	Δολομιτικοί άσβεστ. άνω τριάδ.	19,5	2,2	19,5	1,73
12	Ανθρακικά άδιαιρετα τριαδικά	19,1	2,2	107,5	9,55
13	Λοιπά άνθρακικά πετρ.	-	-	3,4	0,30
Άθροισμα		871,6	100,0	1.125,9	100,0

4. ΚΛΙΜΑΤΟΛΟΓΙΚΑ - ΒΡΟΧΟΜΕΤΡΙΚΑ ΣΤΟΙΧΕΙΑ

4.1 Μετεωρολογικοί Σταθμοί

Στή λεκάνη τοῦ Βοιωτικοῦ Κηφισοῦ ἔχουν λειτουργήσει 15 μετεωρολογικοί ἢ ἀπλοὶ βροχομετρικοί σταθμοί. Ἡ πυκνότητα τοῦ ἐνός σταθμοῦ ἀνά 135 km^2 εἶναι μικρή. Στόν χάρτη πού ἔδωσαμε (σχ. 2.1) φαίνεται ἡ κατανομή τῶν σταθμῶν αὐτῶν.

Γιά σύγκριση ἀναφέρομε ὅτι στήν Ἰταλίᾳ ὑπάρχει ἕνα βροχόμετρο ἀνά 80 km^2 , στήν Γαλλίᾳ ἀνά 130 km^2 , στήν Ἀγγλίᾳ ἀνά 40 km^2 . Ὁ Fletcher σέ μιά ἔργασία του (A relation between Max imum observed point and areal rainfall value, Tr. Am. Ge. Un., 1950, σελ. 344-348) ἔχει εὗρει τό τυπικό σφάλμα (σέ μιά λεκάνη 20.000 km^2) 6% γιά ἕνα βροχόμετρο ἀνά 518 km^2 καὶ 18% γιά ἕνα βροχόμετρο ἀνά 2.590 km^2 .

Γιά ἐπιστημονική ἔρευνα στήν λεκάνη τοῦ Montreux δὲ Lutschj ἐτοποθέτησε 60 βροχόμετρα σέ μιά ἔκταση 14 km^2 , ἐνῷ στό Massif Central τῆς Γαλλίας γιά νά μελετήσουν τή σχέση βροχῆς - ἀπορροῆς ἐτοποθέτησαν 32 βροχόμετρα (ἐξ ὧν 8 βροχογράφοι) σέ ἔκταση 2000 km^2 (πυκνότητα 1 ἀνά 63 km^2).

Σημασία δημοσίευση στήν πυκνότητα τοῦ δικτύου, ἔχει ἡ μορφολογία τῆς λεκάνης. Σέ πεδινές λεκάνες οἱ ἀποστάσεις τῶν βροχομετρικῶν σταθμῶν μπορεῖ νά εἶναι μεγάλες, σέ περιοχές δημοσίευση μέ ἐντονο ἀνάγλυφο ἡ πυκνότητα τοῦ δικτύου πρέπει νά εἶναι μεγάλη. Ἰδιαίτερα ἔάν πρόκειται νά ὑπολογισθοῦν βάσει τῶν βροχῶν οἱ ἀπορροές, ἡ τοποθέτηση τῶν δργάνων πρέπει νά γίνει σέ δημοσίευση δρεογραφικά περιοχές καὶ δχι σέ κάνναβο γεωμετρικά δριζόμενο μέ κριτήριο τήν ίσαπόσταση. Μέ τόν τρόπο αὐτόν ἐπιτυγχάνονται χρήσιμες πληροφορίες πάνω στή δίαιτα καὶ τή γενική μορφή τῶν ὑετογραφημάτων τῶν βροχῶν καὶ τῶν διαφόρων καταιγίδων στά διάφορα σημεῖα τῆς λεκάνης, ἀνάλογα μέ τόν τύπο τῶν ἀτμοσφαιρικῶν διαταραχῶν πού τίς προκαλοῦν. Βέβαια στήν τοποθέτηση τῶν δργάνων σημαντικό ρόλο ἔπαιζε καὶ ἡ ὑπαρξη κατοικημένων τόπων γιά νά ὑπάρχει παρατηρητής καὶ, φυσικά, ἡ οἰκονομία.

Σήμερα δὲ παράγων κατοικημένης περιοχῆς περιορίζεται μέ τά αύτογραφικά δργανα τά ἐφωδιασμένα μέ συστήματα τηλεμετάδοσης. Αύτά τά χρησιμώτατα δργανα δέν ἔχουν ἐγκατασταθεῖ ἀκόμη στή χώρα μας, ἀλλά θά τά περιγράψωμε καὶ θά τά προτείνωμε γιά τήν περιοχή τῆς μελέτης μας. Ἡ σοβαρή δαπάνη τους ἐπιβάλλει τή χρήση τους μέ φειδώ, σέ κρίσιμες περιοχές (κορυφές βουνῶν δυσπρόσιτων κλπ.).

οι σταθμοί τῶν δποίων χρησιμοποιοῦμε τά στοιχεῖα εἶναι οι ἀκόλουθοι οι δποῖοι δίνονται καὶ στό διάγραμμα μέ τά χρόνια λειτουργίας της.

ΠΙΝΑΚΑΣ 4.1
Μετεωρολογικοί - Βροχομετρικοί Σταθμοί

a/a	Βροχομετρικοί Σταθμοί	Μηνιαία "Υψη βροχῆς	Μέγιστα 24/48ωρα
1	Καλοσκοπή	19-85	24ωρα
2	Καστέλλιο	72-85	24/48
3	Γραβιά	55-85	
4	"Ανω Μπράλλος	70-85	24/48
5	Λιλαία	70-85	24/48
6	Ἐπτάλωφος	70-85	24/48
7	"Ανω Σουβάλα	34-41 ή 64-69	
8	Δρυμαία	63-85	24/48
9	Κάτω Τιθορέα	63-85	24/48
10	Δαύλεια	63/85	24/48
11	Ἐλάπεια	63/85	24/48
12	Λειβαδιά	54/85	
13	Αγία Τριάδα	63-85	24/48
14	Παύλος	63-85	24/48
15	Αλιάρτος	65-83	
16	"Ανω Αγόριανη	20-21 24-42	

Από προηγούμενο διάγραμμα φαίνεται ότι κοινά ἐπη παρατηρήσεων 30 χρόνων ὑπάρχουν μόνον σέ τρεῖς σταθμούς, Γραβιάς, Λειβαδιᾶς καὶ Αλιάρτου οἱ δποῖοι έχουν καὶ μιά κανονική κατανομή στό χώρο.

Ἐπειτα, παρατηρήσεις 23 χρόνων έχουν δέκα σταθμοί, ἐνῶ 14 σταθμοί έχουν κοινές παρατηρήσεις 13 ἔτῶν (τῶν τελευταίων). Εξ ἀλλού δ σταθμός "Ανω Σουβάλας εἶχε λειτουργήσει καὶ προιτολεμικά ἐπί 7 ἔτη (1934-1941, ὅταν εἶχε ἀρχίσει συζήτηση γιά χρησιμοποίηση τῶν πηγῶν τῆς Σουβάλας πρός υδρευση τῆς Αθήνας) καὶ δ σταθμός "Ανω Αγόριανης μέ λειτουργία ἀπό 1920 - 21 καὶ 1924 ἕως 1942.

Ἐκτοτε . ἔπαιψε ἡ λειτουργία τοῦ σταθμοῦ αύτοῦ μολονότι θά ήταν χρήσιμα τά στοιχεῖα του.

Βοοχομετρικοί Σταύροι

- 28 -

1	Καλοσκοπή	1985
2	Καστέλι	1984
3	Γραβιά	1983
4	"Άνω Μπράλλος	1982
5	Λιλαία	1981
6	Επτάλοφος	1980
7	"Άνω Σουθάλα	1979
8	Δριμοία	1978
9	Κάτω Τιθορέα	1977
10	Δαιύλεια	1976
11	Ελάτεια	1975
12	Λεβαδιά	1974
13	Άγια Τριάδα	1973
14	Παῦλος	1972
15	Άλιαρτος	1971
16	"Άνω Άγοριαν	1970

4.2 Θερμοκρασίες

Στήν λεκάνη ̄χουν λειτουργήσει σταθμοί μέ λήψη θερμοκρασιῶν στοιχείων μόνον στήν 'Αλίαρτο, σέ ύψομ. +105μ. ΝΔ ακρο τῆς λεκάνης καί στό Καστέλλι στό ΒΑ ακρο, σέ ύψομ. +426μ.

Λεπτομερειακά στοιχεῖα γιά τίς θερμοκρασίες τους δίνονται στούς πίνακες I.1 ̄ως I.6 τοῦ Τεύχους Πινάκων.

Οι μέσες έτήσιες θερμοκρασίες τῶν δύο σταθμῶν εἶναι οι έξι:

ΠΙΝΑΚΑΣ 4.2
Μέσες έτήσιες θερμοκρασίες (K)

ΕΤΟΣ	'Αλίαρτος	Καστέλλι	ΔΤ	ΕΤΟΣ	'Αλίαρτος	Καστέλλι	ΔΤ
1965	18,8	-	-	1975	15,5	13,5	2,0
1966	17,7	-	-	1976	16,1	11,9	4,2
1967	16,5	-	-	1977	17,5	13,3	4,2
1968	17,0	-	-	1978	16,7	13,9	2,8
1969	17,2	-	-	1979	16,9	12,2	4,7
1970	17,2	-	-	1980	16,4	11,7	4,7
1971	16,3	-	-	1981	16,9	12,6	4,3
1972	16,5	-	-	1982	16,9	12,5	4,3
1973	16,6	13,8	2,8	1983	-	12,3	-
1974	16,4	13,8	2,6	M.O	16,8	13,6	3,2

Η διαφορά τῶν δύο παρατηρήσεων κυμαίνεται μεταξύ ἐλαχίστου $2,0^{\circ}$ Κελσίου καί $4,7^{\circ}$ K, πού σημαίνει ύψοθερμικό συντελεστή (μέσον έτήσιο) κυμαινόμενον μεταξύ 0,625 καί $1,47^{\circ}$ K ἀνά 100μ. ύψους, μέ μέσον δρο (έτήσιο) $1,0^{\circ}$ K ἀνά 100μ. ύψους.

Οι μηνιαῖες θερμοκρασίες, (μέσες) τῶν ἀντιστοίχων έτῶν πού ̄χουν κοινές παρατηρήσεις δίνονται στόν πίνακα πού άκολουθεῖ:

ΠΙΝΑΚΑΣ 4.3

Μέσες μηνιαῖες θερμοκρασίες Ἀλιάρτου καὶ Καστελλίου
καὶ ὑψοθερμικοί συντελεστές

Μήν.	I	Φ	Μ	Α	Μ	I	I	A	Σ	O	N	Δ
Ἀλ.	6,5	8,3	10,9	14,9	20,3	23,5	27,2	25,6	22,3	17,5	11,9	9,1
Καστ.	4,3	5,2	7,3	10,6	15,7	20,2	22,2	20,9	17,9	13,6	9,0	6,3
ΔΤ	2,2	3,1	3,6	4,3	4,6	3,3	5,0	4,7	4,4	3,9	2,9	2,8
K	0,69	0,97	1,13	1,34	1,44	1,03	1,56	1,46	1,38	1,22	0,91	0,88

Μέ τούς συντελεστές αύτούς θά έργασθούμε δταν προκύψει ἀνάγκη καθεισμοῦ τῶν θερμοκρασιῶν στά ὑψόμετρα τῶν Ταμιευτήρων πού ἐνδέχεται νά μελετήσωμε.

4.3 ὑγρασίες

Διαθέτομε ὑγρασίες μόνον 10 ἑτῶν.

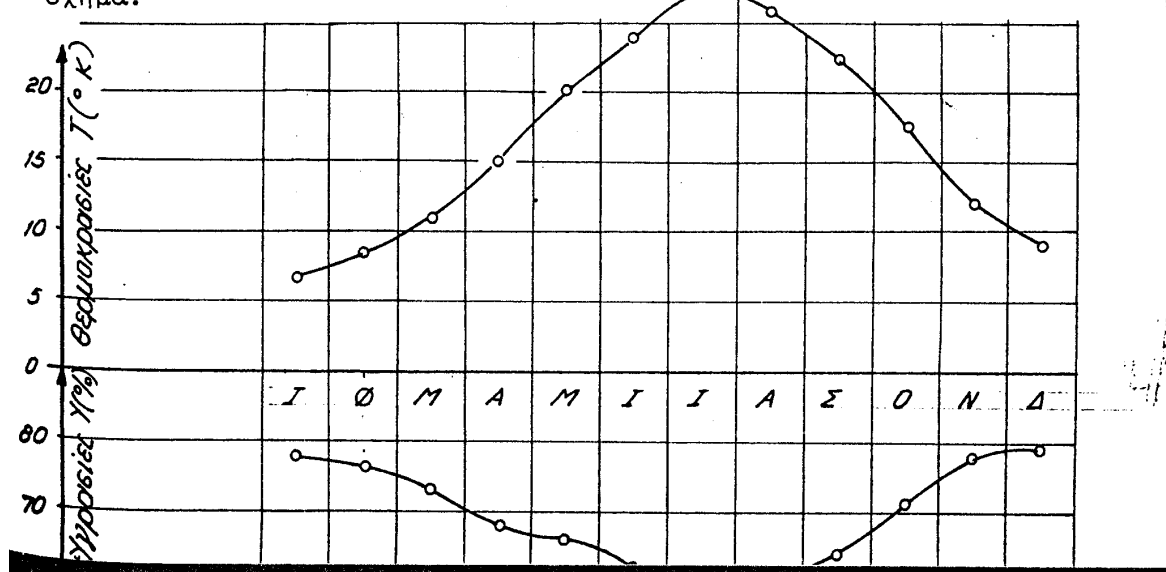
Οι μέσοι δροι τους δίνονται στόν πίνακα πού ἀκολουθεῖ:

ΠΙΝΑΚΑΣ 4.4

Μέσες μηνιαῖες ὑγρασίες Ἀλιάρτου

I	Φ	Μ	Α	Μ	I	I	A	Σ	O	N	Δ
78	76	73	68	66	62	59	61	64	71	78	79

Η πορεία της σε σχέση μέ τίς θερμοκρασίες δίνονται στό ἀκόλουθο σχῆμα.



4.4 Βροχοπτώσεις

4.4.1 Έτήσιες βροχές

Στούς πίνακες τοῦ σχετικοῦ τεύχους δίνονται άναλυτικά οἱ βροχοπτώσεις ጥλων τῶν σταθμῶν. Έδῶ παραθέτομε τά συγκεντρωτικά έτήσια ύψη βροχῆς τῶν διαφόρων θμάτων σταθμῶν πού ἔχουν κοινές περιόδους παρατηρήσεων.

Ο σταύμός τῆς Αλιάρτου μέ τὴν μακρότερη περίοδο λειτουργίας ἐμφανίζει γιά τὴν περίοδο 1906-1907 ἕως 1952-53 ἕνα σοβαρό εῦρος μεταβολῆς τοῦ ύψους βροχῆς, πού κυμαίνεται μεταξύ ἑλαχίστου 361 χστ. (1907-08) καί μεγίστου 1151 (1918-19), μέ μέσο έτήσιο 711,5 χστ. πού κατά περιόδους διαμορφώνεται ὡς ἐξῆς:

1907-08 ἕως 1924-25: Μέσον 716 χστ. Έλάχ. 361 χστ. Μέγ. 1.151χστ.

1925-26 ἕως 1946-47: Μέσον 711 χστ. Έλάχ. 409 χστ. Μέγ. 1.078χστ.

1947-48 ἕως 1953-54: Μέσον 702 χστ. Έλάχ. 556 χστ. Μέγ. 866χστ.

Από τοῦ 1954-55 μέχρι 1963-64 τά έτήσια ύψη βροχῆς τῶν σταθμῶν

Αλιάρτου, Λειβαδιᾶς καί Γραβιᾶς δίνονται στόν ἀκόλουθο πίνακα:

ΠΙΝΑΚΑΣ 4.5
Έτήσια ύψη βροχῆς

Έτος	Γραβιά	Λειβαδιά	Αλιάρτος
1954-55	(890)	(787)	716
1955-56	1.418	1.000	907
1956-57	781	487	411
1957-58	1.223	874	601
1958-59	1.126	753	(669)
1959-60	1.020	780	(701)
1960-61	882	839	(710)
1961-62	666	561	583
1962-63	1.504	1.140	958
1963-64	1.077	788	670
Άθροισμα	10.587	8.009	6.910
Μ. Όροι	1.059	801	691

• Από τή σύγκριση τοῦ μακροχρονίου ὑψους βροχῆς τῆς Αλιάρτου πρός τό τῆς δεκαετίας (711,5 χστ. ἐναντὶ 691 χστ.) προκύπτει προσέγγιση σημαντική (97%).

Σταθμοί 20ετοῦς λειτουργίας

• Από τόν πένακα τῶν σταθμῶν πού ἐλειτούργησαν, δέκα σταθμοί ἔχουν συνεχεῖς παρατηρήσεις από τό 1963-64 μέχρι σήμερα.

Στόν παρακάτω πένακα δίνομε τά ἀποτελέσματα τῶν μετρήσεων σ' αὐτούς.

ΠΙΝΑΚΑΣ 4.6

• Ετήσια ὑψη βροχῆς σταθμῶν 20ετοῦς λειτουργίας

• γρολ. έτος	Καλο- σκοπή	Γραβιά	Δου- μαία	Κάτω Τιθο- ρέα	Δαύλεια	Έλά- τεια	Λειβα- διά	Άγια Τριάδα	Παῦλος	Αλίαρ- τος
1	2	3	4	5	6	7	8	9	10	11
1963-64	1.148	1.077	735	880	1.141	(444)	788	1.214	512	670
1964-65	731	817	682	575	653	460	573	769	467	632
1965-66	1.589	820	620	469	897	382	648	611	355	507
1966-67	835	780	601	610	-	453	708	(580)	494	581
1967-68	1.397	849	741	681	1.026	593	926	1.030	641	674
1968-69	1.187	1.058	1030	792	1.093	739	909	1.198	760	776
1969-70	1.225	857	673	656	761	554	798	828	403	551
1970-71	1.651	1.024	785	665	1.028	534	961	917	429	551
1971-72	1.348	976	809	959	1.045	749	911	1.091	629	755
1972-73	1.084	812	752	528	802	457	584	942	422	477
1973-74	1.301	899	759	667	917	580	732	918	493	626
1974-75	1.232	755	589	613	776	536	586	759	407	528
1975-76	952	867	722	752	827	584	779	1.115	463	678
1976-77	723	519	369	339	486	158	333	695	270	304
1977-78	1.201	951	759	614	848	560	869	969	652	615
1978-79	1.030	948	661	701	885	545	793	1.163	406	613
1979-80	1.647	1.140	1024	847	1.172	681	956	1.371	687	844
1980-81	1.598	1.132	767	698	948	657	604	1.129	593	660
1981-82	963	1.213	967	881	1.069	826	979	1.361	589	740
1982-83	746	726	569	(387)	676	445	694	953	210	506
1983-84										
1984-85										
• Αριθμα	23.588	(17.143)	14614	13314	(17.050)	10.937	15.131	19.133	9.882	12288
M. Όροι	1.180	912	731	666	898	547	757	1.002	494	614

· Η πορεία τῶν ὑψῶν βροχῆς ἔχει μία σχέση μέ τά ὑψόμετρα τοῦ σταθμοῦ, ἀλλά κυρίως μέ τόν δρεογραφικό τους προσανατολισμό. Εἶναι σαφής ἡ διαφορά ὑψους βροχῆς τῶν δεξιῶν Βοιωτικοῦ Κηφισοῦ σταθμῶν πρός τούς διατιστοίχους - συμμετρικούς τους - τῶν Δριστερῶν ἀντερεισμάτων, π.χ. Γραβιά μέ Δρυμαία, Δαύλεια μέ Ἐλάτεια, Λεβάδεια ἢ καί Ἀλιάρτος ἀκόμη μέ Παῦλον, παρά τό δτι ἢ Ἀλιάρτος εὑρίσκεται σέ ὑψόμ. +100μ. ενῶ δ Παῦλος στό +200μ.

Μιά πληρέστερη διερεύνηση τοῦ φαινομένου ἀπαιτεῖ πύκνωση τῶν σταθμῶν. Γιά νά δρίσωμε ἔναν ἀντιπροσωπευτικό σταθμό στίς διάφορες θέσεις πού ἔχετάζομε τόν Βοιωτικό Κηφισό (ἰδεατόν βέβαια), χρησιμοποιούμε τό διάγραμμα THIESSEN, τό δποῦ δίνει τά ἐξῆς στοιχεῖα:

- Στήν θέση φράγματος Ἀμφίκλειας (λεκάνη S_1) συμβάλλουν οἱ σταθμοί Καλοσκοπῆς Καστελλίου, Γραβιᾶς καί Δρυμαίας μέ ποσοστά αντιστοίχως 26%, 44% καί 30%. Ἐμβαδόν λεκάνης $S_1 = 444,38 \approx 444 \text{ km}^2$.
- Στήν θέση τῆς γέφυρας Ἀνθοχώρου (λεκάνη S_2 , ἐκτάσεως 872 km^2) ἐκτός τῶν πιό πάνω σταθμῶν, θά μετέχουν καί οἱ σταθμοί Κάτω Τιθορέας, Δαύλειας καί Ἐλάτειας. Τά ποσοστά συμμετοχῆς τους γίνονται (στήν νέα ἐκταση τῆς λεκάνης ἀπορροῆς τῶν 872 km^2) κατά σειρά:

· Ο ἐνταῖος σταθμός S_1 : ($F = 444 \text{ km}^2$) 50,0%, Κάτω Τιθορέας 21,0%

· Ελάτειας 21,0% καί Δαύλειας 8,0%.

- Στήν θέση τοῦ ρουφράκτη BOOT (λεκάνη S_3 ἐκτάσεως 1.126 km^2) μετέχουν ἐκτός τῶν σταθμῶν πού παράγουν τόν ἀντιπροσωπευτικό σταθμό τῆς Ἀμφίκλειας (θέσεως $S_1 = 444 \text{ km}^2$ πού συμμετέχει κατά 39,4%) καί οἱ σταθμοί Κάτω Τιθορέας κατά 14,4%, Ἐλάτειας 14,4%, Δαύλειας 23,0% καί Λεβάδειας κατά 8,8% ἢ S_2 73%, ἢ Δαύλεια μέ 18,2% καί ἢ Λειβαδιά μέ 8,8%.
- Στήν θέση τέλος τῆς είσοδου τῆς σήραγγας Καρδίτσας (λεκάνη S_4 ἐκτάσεως 2010 km^2) μετέχουν οἱ τοῦ ἀντιπροσωπευτικοῦ σταθμοῦ S_3 κατά 56,0% καί οἱ τῆς Λεβάδειας κατά 8,8% Ἀγία Τριάδας κατά 6,0% Ἀλιάρτου κατά 11,0% καί Παύλου κατά 17,6%.

Στόν ἀκόλουθο πίνακα δίνονται τά ἐτήσια ὑψη βροχῆς τῆς εἰκοσαετίας τῶν 1960-1979 ἀντιπροσωπευτικῶν σταθμῶν τῶν λεκανῶν τοῦ Βοιωτικοῦ Κηφισοῦ στίς διάφορες χαρακτηριστικές θέσεις, S_1, S_2, S_3 , καί S_4 ὅπου θά μᾶς ἐνδιαφέρουν πολλά ὑδρολογικά μεγέθη,

ΠΙΝΑΚΑΣ 4.7

Έτησια υψη βροχής αντιπροσωπευτικού σταθμού λεκανῶν(χστ.)
(ώμοιωμορφημένα)

·γδρολ. ξτος	Δ ε κά ν η			
	S ₁ = 444	S ₂ =	S ₃ =	S ₄ =
1	2	3	4	5
1963-64	993	864	908	820
1964-65	754	645	640	610
1965-66	960	728	752	638
1966-67	741	591	494	527
1967-68	959	828	873	824
1968-69	1.083	949	972	921
1969-70	897	762	765	685
1970-71	1.115	889	921	797
1971-72	1.023	953	966	886
1972-73	865	701	709	636
1973-74	962	814	826	743
1974-75	829	716	715	632
1975-76	846	769	780	733
1976-77	527	405	413	386
1977-78	958	791	808	774
1978-79	883	773	795	728
1979-80	1.237	1.031	1.050	974
1980-81	1.144	930	905	810
1981-82	1.074	980	996	917
1982-83	684	569	599	550
1983-84				
1984-85				
Άθροισμα	18.534	15.688	15.887	14.591
M.O.	927	784	794	730

Σταθμοί πού έλειτούργησαν τήν τελευταία δεκαετία

Οι έπι πλέον σταθμοί Καστελλίου, "Ανω Μπράλου, Λιλαίας, Έπταλόφου, έλειτούργησαν από τό 1970 μέχρι σήμερα και δημιουργοῦν μία πιο άνεκτη πυκνότητα βροχομετρικού δικτύου. Δυστυχώς, δπως φαίνεται και στό σχετικό διάγραμμα, ένω μέ τούς νέους σταθμούς ή άνω λεκάνη, ή S₁, έρευ-

νάται μεθοδικά, ή κεντρική καί ή κάτω λεκάνη μένουν μέ τό πολύ
άραιό τους δίκτυο.

Τά έτησια υψη βροχῆς τῶν νέων σταθμῶν δίνονται στόν άκρον πίνακα:

ΠΙΝΑΚΑΣ 4.8

Έτησια υψη βροχῆς νεωτέρων σταθμῶν ἀνω λεκάνης

a/a	· Υδρολ. · Έτος	Καστέλλι (+426)	"Ανω Μπράλος (+600μ)	Διλαία + 360μ	· Επιτάλο- φος + 850μ.
1	2	3	4	5	6
1	1971-72		838	967	1.167
2	1972-73	806	601	844	1.288
3	1973-74	737	982	1.001	1.207
4	1974-75	676	379	854	1.044
5	1975-76	652	442	996	1.190
6	1976-77	540	286	559	786
7	1977-78	677	968	1.205	1.650
8	1978-79	792	1.013	1.107	1.386
9	1979-80	968	1.001	1.111	1.671
10	1980-81	1.118	1.085	1.281	1.481
11	1981-82	757	826	1.264	1.391
12	1982-83	572	651	836	1.060
13	1983-84				
14	1984-85				
· Αθροισμα		8.295	8.234	11.058	14.154
· M.O.		754	749	1.005	1.287

Σημ.* Τά άθροισμα καί οι μέσοι όροι άφοροι, για διάλογος τούς σταθμούς
τήν 11ετία 1972-73 έως 1982-83.

Μέ τήν προσθήκη τῶν νέων αύτῶν παρατηρήσεων διάντειροσπευτικός σταθ-
μός τῆς "Ανω λεκάνης δέν μεταβάλλεται έφ' όσον σεβασθούμε τά δεδομένα
τῶν παρατηρήσεων. Διέτι προστέθηκαν δύο σταθμοί στήν δεξιά διχή τοῦ
Βοιωτικοῦ Κηφισοῦ (στίς βόρειες αλιτύες τοῦ Παρνασσοῦ) μέ μέσο έτη-
σιο υψος 1.146 χστ. καί δύο σταθμοί πρός τήν Οίτη, μέ μέσο έτησιο υψος
βροχῆς 752 χστ. Καί οι 4 σταθμοί καλύπτουν τήν έπιφάνεια πού κατάγεται
προηγούμενο διάγραμμα THIESSEN έκαλυπτε ή Γραβιά - καί έλαχιστα ή Δρυ-
μαία. Τό μέσο υψος βροχῆς τῆς Γραβιᾶς στήν 11ετία είναι 1.134 χστ.

ΠΙΝΑΚΑΣ 4.9

Μέσα μηνιαῖα ὑψη βροχῆς λεκάνης Βοιωτικοῦ Κηφισοῦ (χστ.)

a/a	Σταθμός	Σ	Ο	Ν	Δ	Ι	Φ	Μ	Α	Μ	Ι	Ι	Α	*Έτος
1	2	3	4	5	6	7	8	9	10	11	12	13	14	15
1	Καλοκοπή	53	149	152	192	168	144	133	58	68	47	16	25	1.205
2	Καστέλλι	24	92	100	110	114	100	64	55	30	27	13	15	744
3	Γραβιά	50	121	118	152	137	113	106	57	37	30	20	15	956
4	"Ανω Μπράλος	11	90	67	84	150	136	67	66	28	28	25	12	764
5	Λιλαία	36	117	123	152	156	135	101	64	39	28	27	20	998
6	"Επτάλιαφος	43	139	155	203	195	189	126	82	50	37	30	20	1.269
7	"Ανω Σουβάλα	48	180	136	254	168	135	165	85	86	66	23	12	1.358
8	Δρυμαία	29	100	83	102	108	86	82	40	38	25	20	19	732
9	Κ. Τιθορέα	27	91	65	113	91	74	73	47	37	29	19	18	684
10	Δαύλεια	21	109	94	151	127	111	98	53	40	33	23	21	881
11	"Ελάτεια	19	68	60	90	84	63	66	35	35	17	15	14	566
12	Λειβαδιά	50	93	84	152	100	89	88	50	35	28	20	13	802
13	"Αγία Τριάντα	28	123	110	173	155	133	109	59	39	32	15	16	992
14	Παύλος	20	60	58	81	77	54	59	29	21	18	11	9	497
15	"Αλίαρτος	36	76	89	112	99	84	69	41	35	24	7	13	685
16	"Ανω "Αγόριανη	49	130	141	209	184	163	115	95	85	65	27	16	1.279

"Αθροισμα

M.O.

Η πορεία τῶν μῆνιαίων βροχῶν εἶναι σχεδόν διμοιρφη. Χαρακτηρίζεται πό τίς πλούσιες συγκεντρωμένες βροχοπτώσεις τῶν χειμερινῶν - καὶ γύρω πό τόν χειμώνα - μηνῶν καὶ τίς μειωμένες σημαντικά θερινές καὶ τῶν γύρω ἀπό τό θέρος μηνῶν.

αραστατικός εἶναι δι πίνακας πού ἀκολουθεῖ δι ποτοῖς δίνει τὴν ποσοστιαία αρεία τῶν βροχῶν κάθε μήνα καὶ δι πότμενος πού δίνει τὴν πορεία αύτή σε οσοστά ἐπίσης, κατά ἐποχή.

ΠΙΝΑΚΑΣ 4.10

Σχέση μηνιαίων ύψων βροχής πρός μέσο έτησιο
(Οι σταθμοί είναι οι ίδιοι με τόν προηγούμενο πίνακα)

a/a	Σ	O	N	Δ	I	Φ	M	A	M	I	I	A	"Ετος
1	2	3	4	5	6	7	8	9	10	11	12	13	14
1	0,5	1,5	1,5	1,9	1,7	1,4	1,3	0,6	0,7	0,5	0,2	0,2	12,0
2	0,5	1,5	1,6	1,8	1,8	1,6	1,0	0,9	0,5	0,4	0,2	0,2	12,0
3	0,6	1,5	1,5	1,9	1,7	1,5	1,3	0,7	0,5	0,4	0,2	0,2	12,0
4	0,2	1,4	1,1	1,3	2,3	2,1	1,1	1,0	0,5	0,4	0,4	0,2	12,0
5	0,4	1,4	1,5	1,8	1,9	1,6	1,2	0,8	0,5	0,3	0,3	0,3	12,0
6	0,4	1,3	1,4	1,9	1,9	1,8	1,2	0,8	0,5	0,3	0,3	0,2	12,0
7	0,4	1,6	1,2	2,2	1,5	1,2	1,4	0,8	0,8	0,6	0,2	0,1	12,0
8	0,5	1,6	1,4	1,7	1,8	1,4	1,3	0,7	0,6	0,4	0,3	0,3	12,0
9	0,5	1,6	1,1	2,0	1,6	1,3	1,3	0,8	0,7	0,5	0,3	0,3	12,0
10	0,3	1,5	1,3	2,0	1,7	1,5	1,3	0,7	0,5	0,5	0,3	0,3	12,0
11	0,4	1,5	1,3	1,9	1,8	1,3	1,4	0,7	0,7	0,4	0,3	0,3	12,0
12	0,8	1,4	1,3	2,3	1,5	1,3	1,3	0,7	0,5	0,4	0,3	0,2	12,0
13	0,3	1,5	1,3	2,1	1,9	1,6	1,3	0,7	0,5	0,4	0,2	0,2	12,0
14	0,5	1,4	1,4	2,0	1,9	1,3	1,4	0,7	0,5	0,4	0,3	0,2	12,0
15	0,6	1,4	1,6	2,0	1,7	1,5	1,2	0,7	0,6	0,4	0,1	0,2	12,0
16	0,5	1,2	1,3	2,0	1,7	1,5	1,1	0,9	0,8	0,6	0,2	0,2	12,0

ΠΙΝΑΚΑΣ 4.11

Εποχιακά ύψη βροχής-ποσοστιανες σχέσεις
 (Οι σταθμοί που διατίθονται στόν αὖξοντα όφελό μέρος είναι οι τού προηγούμενου πίνακα)

α/α	Φθινόπ.	Χειμώνας	"Ανοιξη	Θέρος
1	0,28	0,42	0,22	0,08
2	0,30	0,43	0,20	0,07
3	0,30	0,43	0,21	0,06
4	0,22	0,48	0,22	0,08
5	0,28	0,44	0,21	0,07
6	0,26	0,47	0,21	0,06
7	0,27	0,41	0,25	0,07
8	0,29	0,41	0,22	0,08
9	0,27	0,41	0,23	0,09
10	0,26	0,43	0,22	0,09
11	0,27	0,42	0,23	0,08
12	0,29	0,43	0,21	0,07
13	0,26	0,47	0,21	0,06
14	0,28	0,43	0,22	0,07
15	0,30	0,43	0,21	0,06
16	0,25	0,43	0,23	0,09

5. ΠΛΗΜΜΥΡΕΣ

5.1 'Αντικείμενο

'Αντικείμενο τοῦ κεφαλαίου αύτοῦ εἶναι ὁ καθορισμός τῶν πλημμυρῶν μελέτης σέ διάφορες χαρακτηριστικές διατομές τοῦ Βοιωτικοῦ Κηφισοῦ γιά μικρές καί μέσες τιμές τῆς περιόδου ἐπαναφοράς δηλαδή τάξης μεγέθους μέχρι 100 χρόνια.

'Επειδὴ δέν ὑπάρχουν στόν Βοιωτικό Κηφισό μετρήσεις τῆς παροχῆς, ἡ μελέτη στηρίζεται ἀποκλειστικά σέ βροχομετρικά στοιχεῖα, τά δόποία ἀναλύονται μέ στατιστικές μεθόδους. Λόγω τῆς μεγάλης ἔκτασης τῆς λεκάνης ἀπορροῆς καί τήν ὑπολεκανῶν πού ἐνδιαφέρουν τή μελέτη, τό σημειακό ὄψος βροχῆς δέν ἐπαρκεῖ γιά τήν περιγραφή μιᾶς ίσχυρῆς βροχόπτωσης μελέτης, ἀλλά ἡ μελέτη ἀπαιτεῖται νά στηρίζεται στό μέσο ἐπιφανειακό ὄψος βροχῆς. 'Αντί τῆς ἐφαρμογῆς τῶν συνηθισμένων συντελεστῶν ἀναγωγῆς σημειακῶν ὑψῶν σέ ἐπιφανειακά, προτιμήσαμε τήν ἀπευθείας παραγωγή τῶν ἐπιφανειακῶν ὑψῶν βροχῆς, στηριζόμενοι στήν στατιστική ἀνάλυση ταυτόχρονων μετρήσεων τοῦ ὄψους βροχῆς σέ διαφόρους σταθμούς τῆς λεκάνης. 'Ἐπίσης γιά τούς ίδιους λόγους (μεγάλη ἔκταση ὑπολεκανῶν) στή μελέτη αύτή δέν δόθηκε ίδιαίτερη σημασία στίς βροχοπτώσεις μικρῆς διάρκειας ἀλλά ἡ ἀνάλυση στηρίχθηκε κύρια στίς 24ωρες καί 48ωρες βροχοπτώσεις.

'Η μέθοδος πού ἐπιλέξαμε γιά τόν μετασχηματισμό τῆς βροχόπτωσης μελέτης σέ παροχή, εἶναι ἡ μέθοδος τοῦ μοναδιαίου ὑδρογραφήματος, ἀλλά χρησιμοποιήθηκε ἀκόμα καί ἡ δρυθολογική μέθοδος γιά λόγους σύγκρισης. 'Η κατάρτιση τοῦ μοναδιαίου ὑδρογραφήματος γίνεται συνήθως μέ βάση παρατηρημένα πλημμυρογραφήματασ στή διατομή ἔξ- δου τῆς λεκάνης¹ ἡ ὑπολεκάνης ἀπορροῆς. Τέτοια πλημμυρογραφήματα δύμως δέν ὑπάρχουν, ἀφοῦ οὔτε κάν σποραδικές μετρήσεις παροχῆς δέν ἔχουν γίνει κατά μήνος τοῦ Βοιωτικοῦ Κηφισοῦ.

"Ετσι τά μοναδικά ὑδρογραφήματα πού καταρτίσθηκαν καί χρησιμο- ποιήθηκαν στή μελέτη αύτή εἶναι συνθετικά.

Βασική παραδοχή γιά τήν παραγωγή τῶν πλημμυρογραφημάτων στό κεφάλαιο αύτό εἶναι ὅτι ἡ ροή τοῦ ποταμοῦ γίνεται στήν κοίτη ἀν- εμπόδιστα πράγμα πού προϋποθέτει τά ἀκόλουθα:

- a) Δέν γίνονται τεχνητές ἀνασχέσεις, δφειλόμενες σέ ἀντιπλημ- μυρικά ἔργα ἀνάσχεσης (ταμιευτῆρες)
- b) 'Η ροή περιορίζεται μέσα στήν κοίτη τοῦ ποταμοῦ, χωρίς νά

κατακλύζει μεγάλες έκτασεις ̄ξω από τήν κοίτη. 'Εφ'όσον είναι από πρίν γνωστό ότι ή φυσική κοίτη δέν έπαρκε ̄ποτέθεται ότι θά μελετηθούν, άναχώματα κατάλληλων διαστάσεων, ώστε τελικά ή συνολική διατομή τοῦ ̄δατορεύματος νά έπαρκε γιά τή διόδευση τῆς πλημμύρας. Βέβαια ή παραδοχή αύτή γιά περιόδους έπαναφορᾶς μεγαλύτερες από τήν περίοδο έπαναφορᾶς μελέτης τῶν άναχωμάτων, δέν ̄σχύει.

5.2 Παλαιότερες Μελέτες

'Από τίς παλιότερες ̄δροιογικές μελέτες τῆς λειάνης Βοιωτικοῦ Κηφισοῦ, μνημονεύουμε ̄διαίτερα τήν μελέτη τῶν ι.η. Γκόφα, Σταθόπουλου καί Νοταρᾶ, μέ άντικείμενο τόν ̄λεγχο τοῦ βαθμοῦ άντιπλημμυρικῆς προστασίας ̄λων τῶν πεδινῶν έκτασεων τῆς λειάνης τοῦ Βοιωτικοῦ Κηφισοῦ. 'Από τή μελέτη αύτή ̄ξιοσημείωτη είναι ή άνάλυση μεγίστων βροχοπτώσεων τοῦ σταθμοῦ Γραβιᾶς, μέ βάση τά βροχογραφικά δεδομένα, από τήν όποια άντλούμε ̄ρισμένα στοιχεῖα γιά τήν παρούσα μελέτη. 'Επίσης ̄ξιοσημείωτο στή μελέτη αύτή είναι τό κεφάλαιο στό όποιο διερευνήθηκε ή διόδευση τῆς πλημμύρας στό τμῆμα τοῦ Βοιωτικοῦ Κηφισοῦ μεταξύ Διλαίας καί Κινέτας. 'Η διερεύνηση ̄γινε μέ βάση ̄να μοντέλο ̄λεκτρονικοῦ ̄πολογιστή πού ̄πιλύει άριθμητικά τίς διαφορικές ̄ξισώσεις Saint-Venant. Μέ βάση αύτό έκτιμήθηκαν οι κατακλυζόμενες έκτασεις από διάφορες πλημμύρες πού μελετήθηκαν.

Σημειώνεται ότι ή λογική τοῦ κεφαλαίου αύτοῦ τῆς παρούσας μελέτης είναι τελείως διάφορη από αύτήν τῆς μελέτης Γκόφα-Σταθόπουλου-Νοταρᾶ, δεδομένου ότι ̄δῶ στηριζόμαστε στήν ̄πόθεση ̄παρεξης άναχωμάτων πού περιορίζουν τή ροή μέσα στήν κοίτη καί άπαγορεύουν τήν κατάκλυση παρακείμενων έκτασεων, ̄πως περιγράφηκε στήν προηγούμενη παράγραφο 5.1

5.3 Έντάσεις βροχών κατά τήν μέθοδο GIBRAT - GAUSS

· Η μέθοδο GIBRAT ή μέθοδος τῶν ἀναλόγων ἀποτελεσμάτων, μολονότι ἀπό τίς πιέσ παλαιές μεθόδους στατιστικής ἐπεξεργασίας ὑδρολογικῶν φαινομένων (στοιχείων βροχῶν, παροχῶν κλπ) ἔχει δοκιμασθεῖ γιά τήν ἴκανοπιετική πορσαρμογή της μέ τήν πραγματικότητα (R. GIBRAT: Aménagement hydroelectrique des cours d' eau. Statisti que Mathemathique et calcul des probabilités" στήν "Γενική Επιθεώρηση Ηλεκτρισμοῦ" 15 καί 22 Οκτωβρίου 1932).

· Η βασική σχέση τοῦ GAUSS δέν μπορεῖ νά ἐκφράσει παροχές καί ύψη βροχῶν διότι εἶναι συμμετρική. Στήν σχέση $\Phi(z) = \frac{1}{\sqrt{\pi}} \int_{-\infty}^z e^{-z^2} dz$ δίχεται $z = a \log(x-x_0) + b$

Τό μέγα προσδόν τῆς μεθόδου εἶναι ὅτι μπορεῖ νά χρησιμοποιήσει ἡμερήσια ή ἐβδομαδιαία ή μηνιαῖα στοιχεῖα, διότε αὐξάνει τὸν πληθυσμὸν τῶν δεδομένων καί τά στοιχεῖα αύτά κατεσπαρμένα σέ διάφορες ἐποχές ἐνός έτους εἰσάγουν κάποια ἄλλη "λογική" στήν παράθεση τυχαίων ἀριθμῶν. Μία λογική πού ἀναπαράγει κατά κάποιον τρόπο τό φαινόμενο ὑπό τήν ἐπιρροή τῶν τόσων ἀγνώστων παραμέτρων πού τό προσδιορίζουν.

Κατά τήν μέθοδο αύτή προσδιορίζεται ή φαινομένη καμπύλη διαρκείας (ή συχνότητας) γιά τήν διόποια θεωρεῖ ὅτι ἀποδίδεται ἀπό τήν σχέση $\Phi(z) = \frac{1}{\sqrt{\pi}} \int_{-\infty}^z e^{-z^2} dz$ · Η τιμὴ τῆς μεταβλητῆς X_1 δίνει ἀπό τήν καμπύλη τοῦ GIBRAT ἐνα δεδομένο Z_1 καί γιά τό διόποιο ἀντιστοιχεῖ μιά τιμὴ Φ_{Z_1} . · Η τιμὴ $1 - \Phi(z)$ δείχνει πόσες φορές μπορεῖ νά συμβεῖ τό γεγονός μέ τιμὴ X_1 ή μεγαλύτερη. · Επί παραδείγματι γιά τόν Τίβερη, ἔχεταζοντες τίς ἡμερήσιες παροχές τῆς δεκαετίας 1921-1930, δηλαδὴ 3.650 στοιχεῖα εὑρῆκε $Z = 1,72 \log(Q-90) - 3,31$.

· Η τιμὴ $Q = 2000\mu^3/\delta\lambda$ στήν καμπύλη δίνει $Z = 2,33$ καί $\Phi(z) = 0,9995$. Τοῦτο σημαίνει ὅτι ὑπάρχουν $1 - 0,9995 = 0,0005$ πιθανότητες νά περάσει παροχή μεγαλύτερη τῶν $2000\mu^3/\delta\lambda$ ή 1 φορά στά 30 χρόνια περίπου.

Στήν περίπτωσή μας ἔγινε ἐπεξεργασία τῶν 24ώρων καί 48ώρων ύψων βροχῆς ὅλων τῶν σταθμῶν καί φαίνεται στούς πίνακες VIII.1 ἔως VIII.26 τοῦ Τεύχους πινάκων καί στά διαγράμματα 53.1 ἔως 5.3 πού ἀκολουθοῦν.

· Η ἔφαρμογή τῆς μεθόδου γιά τίς βροχοπτώσεις γίνεται ὡς ἔξις: Ταξινομοῦνται τά παρατηρημένα μέγιστα 24ωρα ή 48ωρα ύψη βροχῆς ή κατά διαστήματα ΔΗ π.χ. ἀριθμός βροχῶν ύψους ἀπό 0-9,9χστ., ἀπό 10-19,9χστ., ἀπό 20-29,9χστ., κ.ο.κ. καί διέριζεται ή φαινομένη συχνότητα τῶν φαινομένων $\frac{\Sigma n}{N}$ (ὅπου Σn δὲ διαιρέσεις ἀριθμός βροχῶν μικροτέρων τῆς τιμῆς

Ηη και' Ν ο συνολικός άριθμός τῶν μηνῶν πού διαθέτουμε στοιχεῖα. Κάθε τέτοια φαινομένη συχνότητα $\Phi_{(z)}$ άντιστοιχεῖ σε μία τιμή Z . "Έχομε έπομένως γιά τόν προσδιορισμό τῆς καμπύλης Z άρκετά ζεύγη τιμῶν Z_1 και' H_1 και' συγκεκριμένα τά Z γιά $H = 5\text{χστ.}$, $H = 15\text{χστ.}$, $H = 25\text{χστ.}$, 35χστ. κ.ο.κ. , μέχρι τήν μεγίστη τιμή τοῦ παρατηρημένου ύψους βροχῆς.

Τά σημεῖα τίθενται σε ήμιλογαριθμικό διάγραμμα και' μέ τήν θεωρία τῶν έλαχίστων τετραγώνων προσδιορίζεται ή καλύτερη προσαρμογή τῆς καμπύλης.

Οι τιμές τοῦ Z γιά συχνότητες $1:2$, $1:5$, $1:10$, $1:25$, $1:50$, $1:100$, $1:500$, $1:1000$ και' ἐν γένει γιά $1:N$ ἔτη βρίσκονται από τήν τιμή τῆς συνάρτησης $\Phi_{(z)}$ γιά $1 - \frac{1}{12 \times 2}$, $1 - \frac{1}{12 \times 50}$, $1 - \frac{1}{12 \times 10}$, ..., $1 - \frac{1}{12 N}$ δηλαδή γιά $\Phi_Z = 0,95833 - 0,98333 - 0,99167 \text{ κ.ο.κ.}$ στά δόποια άντιστοιχοῦν τιμές Z .

$1:2$	$1:5$	$1:10$	$1:25$	$1:50$	$1:100$	$1:500$	$1:1000$
1,225	1,504	1,692	1,918	2,075	2,217	2,530	2,675

Μέ τήν μέθοδο αύτή δρύζονται οι άκραῖες τιμές τῶν 24ώρων και' 48ώρων ύψων βροχῆς. Γιά τούς διάφορους σταθμούς εύρηκαμε τά έξης μέγιστα 24ωρα ύψη βροχῆς γιά διάφορες συχνότητες:

α/α	Σταθμός	Συχνότητα				
		$1:1000$	$1:500$	$1:100$	$1:50$	$1:25$
1	Καλοσκοπή	315	285	208	183	160
2	Καστέλλιο	193	172	139		
3	Γραβιές	-	-	-		
4	"Ανω Μπράλλος	300	258	188		
5	Διλαία	238	210	162		
6	Επτάλοφος	253	223	175		
7	"Ανω Σουβάλα	-	-	-		
8	Δρυμαία	295	255	190		
9	Κάτω Τιθορέα	192	170	135	114	98
10	Δαύλεια	242	212	157		
11	Ελάτεια	180	158	123	107	92
12	Λειβαδιά	-	-	-		
13	Αγ. Τριάδα	295	258	193		
14	Παῦλος	173	152	115		
15	Αλίαρτος	-	-	-		
16	"Ανω Αγόριανη	-	-	-		

Μέ τόν καθορισμό τῶν 24ώρων καί 48ώρων ὑψῶν βροχῆς γιά διάφορες συχνότητες δέν τελειώνει τό θέμα τῶν ἐντάσεων γιά δποιαδήποτε διάρκεια βροχῆς. Ἡ μέθοδος πού ἀκολουθοῦμε γιά αὐτές εἶναι ἡ ἔξῆς: Συγκεντρώνομε δλες τίς βροχές μέ τίς διάρκειές τους ἀπό τούς πίνακες τοῦ κεφαλαίου II, τῆς σειρᾶς Ν3 (ἥτοι τούς πίνακες 1.3, 2.3, 3.3, 4.3, 5.3 κλπ., τοῦ τεύχους πινάκων) καί φέρομε τίς παρατηρήσεις σέ λογαριθμικό διάγραμμα.

Από τό σημειοσύνολο πού σχηματίζεται φέρομε τήν περιβάλλουσα ἡ δποία δίνει τήν κατεύθυνση τῆς καμπύλης τῶν ἐντάσεων. Από τά σημεῖα τῶν ἐντάσεων τῶν μεγίστων 24ώρων βροχῶν κάθε συχνότητας φέρομε τίς παραλληλες πρόσ τήν περιβάλλουσα καί δρίζομε τήν καμπύλη ἐντάσεων βροχῶν κάθε σταθμοῦ γιά κάθε συχνότητα.

Ἡ μέθοδος εἶναι πολύ εύχρηστη γιά τήν διερεύνηση τῶν μεμονωμένων σταθμῶν καί γενικά γιά μικρές λεκάνες στίς δποῖες ἀσκεῖται ἐπιρροή ἀπό λίγους σταθμούς. Καί τήν μέθοδο αύτήν ἀκολουθήσαμε γιά τήν ὑδρολογική μελέτη τῶν λεκανῶν Πόντζα, Πλατανιᾶ, Μπογδανορεύματος κλπ., καί θά ἀκολουθήσωμε καί σέ ἄλλες λεκάνες πού θά μᾶς παρουσιασθοῦν.

Γιά τήν μελέτη τοῦ υγρού κορμοῦ τοῦ Βοιωτικοῦ Κηφισοῦ ἔθεωρήσαμε δτι σέ κάθε ὑπολεκάνη συνεισφέρουν στήν πλημμύρα οἱ σταθμοί πού βρίσκονται μέσα σ' αύτήν καί ἀνάτη αύτῆς.

Αλλά γιά τήν είδική αύτή περίπτωση ἀκολουθήσαμε τήν μέθοδο GUMBEL ἡ δποία ἔχει τό πλεονέκτημα νά μεταφέρεται εύχερέστερα στίς ἐντάσεις εύρυτέρων λεκανῶν μέ ἀποφυγή τῶν σημειακῶν μεγεθῶν. Διέτι δπως εἶναι ἐμφανές μέ τήν μέθοδο GIBRAT - GAUSS μελετᾶμε τήν πιθανή ἔξελιξη τοῦ φαινομένου τῶν ἐντάσεων μιᾶς βροχῆς σέ ἕνα σημεῖο τῆς λεκάνης, στόν σταθμό πού ἔχομε τίς παρατηρήσεις μας. Καί ἡ μελέτη γίνεται μέ τήν χρήση τῶν μεγίστων 24ώρων καί 48ώρων ὑψῶν βροχῆς κάθε μηνός. Γιά τήν εύρεση τοῦ βαθμοῦ δμοιομορφίας τῆς βροχῆς θά ἐπρεπε νά ἀνεύρωμε τίς βροχές ὅλων τῶν σταθμῶν τῆς λεκάνης κατά τήν ήμέρα τοῦ μεγίστου 24ώρου τοῦ κάθε μηνός δηλαδή σέ 16 σταθμούς 12 παρατηρήσεις γιά κάθε ἔτος ήτοι 192 παρατηρήσεις γιά τά μέγιστα 24ώρα ἐνός ἔτους, ἐνός σταθμοῦ. Θά εῖχαμε δηλαδή γιά 20 ἔτη, 3840 ὑψη βροχῆς γιά κάθε σταθμό.

Τό θέμα λύνεται μέ τόν καθορισμό τῶν βροχοπτώσεων τῶν διαφόρων σταθμῶν κατά τήν ήμέρα τοῦ μεγίστου 24ώρου ὕψους βροχῆς τοῦ ἔτους. Αύτή ἡ μέθοδος μᾶς δίνει ἕνα συντελεστή ἀνομοιομορφίας τόν δποῖον χρησιμοποίουμε κατά τόν ὑπολογισμό τῆς παροχῆς μέ τήν δρθιολογική μέθοδο, ἐνσφρατώνοντάς τον στήν εννοια τοῦ συντελεστή ἀπορροής.

πάντως ή προεργασία της συλλογής τῶν στοιχείων τῶν πινάκων II.1.3, II.2.3, II.2.3, II.3.3, II.4.3 κ.ο.κ. καί τῶν ὑπολογισμῶν τῶν φαινομένων συχνοτήτων τῶν μεγίστων μηνιαίων 24ώρων καί 48ώρων βροχῶν εἶναι σημαντικά στοιχεῖα ὑποδομῆς τόσο γιά τίς συγκρίσεις μέ τίς ἄλλες μεθόδους ὅσο καί - αυρίως - γιά τίς ὑδρολογικές μελέτες τῶν μεμονωμένων ὑπολεκανῶν τοῦ Βοιωτικοῦ Κηφισοῦ.

5.4 Μέσες έπιφανειακές έντάσεις βροχής - έπεξεργασία με τή μέθοδο Gumbel

5.4.1 Γενικά

Η αναγκαιότητα τής είσαγωγής τῶν μέσων έπιφανειακῶν ύψων βροχῆς δυτὶ τῶν σημειακῶν προκύπτει ἀπό τή μεγάλη ἔκταση τῆς λεκάνης καὶ τῶν ὑπό μελέτη υπολεκανῶν. Εξ ἄλλου ἡ ἐφαρμογή μειωτικῶν συντελεστῶν αναγωγῆς σημειακῶν ύψων σὲ έπιφανειακά, εἶναι μέθοδος μὲν ἀνεπαρκῆ ἀξιοπιστία, ἀφοῦ καὶ οἱ τιμές τοῦ συντελεστή αναγωγῆς εἶναι ἀβέβαιες, καὶ ἡ ἐπιλογή ἀντιπροσωπευτικοῦ σταθμοῦ τῆς κάθε υπολεκάνης εἶναι ἀμφισβητήσιμη.

Κατ' ἀρχήν τή μελέτη ἐνδιαφέρουνοι ἴσχυρές βροχοπτώσεις μὲν διάρκειες ἀπό 5-6 ὥρες μέχρι καὶ 2-3 ἡμέρες, καὶ ἴδιαίτερα οἱ βροχοπτώσεις διάρκειας 1-2 ἡμερῶν. Γιά τή μελέτη τῶν βροχοπτώσεων μὲν διάρκεια μικρότερη τῶν 24 ὥρων εἶναι ἀπαραίτητη ἡ ὑπαρξη βροχογραφικῶν δεδομένων στό σύνολο τῆς λεκάνης. Οπως δημοσιεύθηκαν περιγράφεται στήν ἐπόμενη παράγραφο, ὃ δρος αὐτός δέν ἐκπληρώνεται, καὶ ἔτσι στή μελέτη μας περιοριστήκαμε στήν μελέτη τῶν βροχοπτώσεων διάρκειας 24 καὶ 48 ὥρων.

Έχουμε πάντως ἔξαγάγει σχέσεις πού ἴσχύουν καὶ γιά μικρότερες διάρκειες, ἀλλά μέ κάποια ἀβεβαιότητα, ἀφοῦ δέν προέρχονται ἀπό πρωτογενῆ δεδομένα.

5.4.2 Σταθμοί καὶ δεδομένα

Από τούς 15 βροχομετρικούς σταθμούς τῆς λεκάνης τοῦ Βοιωτικοῦ Κηφισοῦ, οἱ 7 περιλαμβάνουν καὶ βροχόμετρο, ἐνῶ οἱ υπόλοιποι 8 μόνο βροχογράφοι, δημοσιεύθηκαν στόν παρακάτω πίνακα.

ΠΙΝΑΚΑΣ 5.1
Βροχογράφοι καὶ βροχόμετρα τῆς λεκάνης

Βροχογράφοι α/α	Σταθμός	Υψόμετρο	Βροχόμετρα α/α	Σταθμός	Υψόμετρο
1	Καλοσκοπή	1.100	1	"Ανω Μπράλος	600
2	Καστέλλι	426	2	Λιλαία	330
3	Γραβιά	450	3	"Επτάλιοφος	830
4	Δειβαδιά	200	4	"Ανω Πολύδροσο	720
5	Άγια Τριάδα	500	5	Δρυμαία	580
6	Παύλος	200	6	Κάτω Τιθορέα	170
7	Άλιαρτος	110	7	Δαύλεια	380
			8	Ελάτεια	180

Πέρα από αύτούς λειτούργησαν κατά τό παρελθόν καί οι βροχομετρικοί σταθμοί "Ανω Αγόριανη καί "Ανω Σουβάλα.

Παρ' όλο πού ή κατανομή τοῦ συνόλου τῶν σταθμῶν στή λεκάνη εἶναι άρκετά δύμοιδμορφη, άντιθετα ή κατανομή τῶν βροχογράφων εἶναι άνιση, δεδομένου ότι οι τρεῖς πρώτοι εἶναι συγκεντρωμένοι στό δυτικό άκρο τῆς λεκάνης ἐνῶ οι ὑπόλοιποι τέσσερις βρίσκονται γύρω άπό τήν πρώην λίμνη Κωπαΐδα. Έξ διλλού δσονάφορᾶ τήν ποιότητα τῶν μετρήσεων τῶν βροχογράφων (βλέπε μελέτη Γκόφα-Σταθόπουλου-Νοταρᾶ) παρατηροῦμε ότι οι σταθμοί Λειβαδιᾶς, Αγίας Τριάδας καί Παύλου διαθέτουν ταινίες κακῆς ἔως μέτριας ποιότητας, μέ άρκετές ἀνακρίβειες καί ἐλλείψεις. Ετσι τελικά καταλήγουμε ότι μόνο τό δυτικό άκρο τῆς λεκάνης, σέ μιά ἔκταση περίπου 300 χμ³ καλύπτεται ἵκανοποιητικά άπό δίκτυο βροχογράφων (3 συνολικά).

Μέ βάση τά παραπάνω ἀρνητικά δεδομένα γιά τά βροχογραφικά στοιχεῖα ἀποφασίζουμε νά στηρίξουμε τήν ἀνάλυσή μας γιά τήν ἐπιφανειακή βροχόπτωση στά βροχομετρικά δεδομένα. Εἶναι βέβαια προφανές ότι ἔτσι δέν μπορούμε νά μελετήσουμε ἀμεσα βροχοπτώσεις διάρκειας μικρότερης άπό 24 ὥρες ἀλλά αύτή ή ἀδυναμία δέν εἶναι πολύ βασική, γιατί στήν ούσια μᾶς ἐνδιαφέρουν βροχοπτώσεις μεγάλης διάρκειας.

Γιά τή μελέτη τῶν ἐπιφανειακῶν ἐτήσιων μέγιστων ὑψῶν βροχῆς ἔγινε ἐπιλογή καί δρισμένων άπό τό σύνολο τῶν βροχομετρικῶν σταθμῶν μέ κριτήρια:

- α) Τόν σχηματισμό δικτύου μέ δύμοιδμορφη περίπου πυκνότητα σταθμῶν στό σύνολο λεκάνης καί
- β) τήν υπαρξη συνεχῶν καί ἀξιόπιστων μετρήσεων γιά όσο τό δυνατόν μεγαλύτερη χρονική περίοδο.

Ἐπιλέξαμε τελικά τούς ἀκόλουθους 10 σταθμούς:

- | | | |
|----------------|------------|---------------|
| - Καλοσκοπή | - Δαύλεια | - Αγία Τριάδα |
| - Γραβιά | - Ελάτεια | - Παύλος |
| - Δρυμαία | - Λειβαδιά | - Αλίαρτος |
| - Κάτω Τιθορέα | | |

Γιά καθένα άπό τούς σταθμούς αύτούς βρέθηκε σέ κάθε ὑδρολογικό ἔτος σέ ποιές ήμερομηνίες πραγματοποιήθηκαν τό ἐτήσιο μέγιστο ύψος βροχῆς 24ωρης καί 48ωρης διάρκειας. Στή συνέχεια γιά δλες τίς ήμερομηνίες αύτές κάθε ὑδρολογικού ἔτους, πού ἐν γένει εἶναι διαφορετικές γιά κάθε σταθμό, βρέθηκαν τά ἀντίστοιχα ὑψη βροχῆς. Αύτή ή διαδικασία ἔξασφαλίζει τήν ἀξιόπιστη ἔξαγωγή τοῦ μέγιστου ἐτήσιου ύψους βροχῆς, γιά

κάθε έτος και για κάθε υπολεκάνη, ένω παράλληλα αποφεύγονται έτσι οι χρονοβόροι υπολογισμοί έπιφανειακῶν ύψων γιά δλες τίς βροχερές ημέρες τοῦ έτους. (Πίνακες III.1 έως III.6, Τεῦχος Πινάκων).

Ο πίνακας τιμῶν πού καταρτίστηκε μέ τόν τρόπο αύτό φαίνεται στό Τεῦχος Πινάκων (πίν. IV.1έως IV.42) και καλύπτει μία περίοδο 22 έτῶν, από τό υδρολογικό έτος 1962-63 μέχρι 1983-84.

5.4.3 Συμπλήρωση έλλειψεων - Έξαγωγή μέγιστων έτησίων έπιφανειακῶν ύψων βροχῆς

Η συμπλήρωση τῶν έλλειψεων τοῦ πίνακα VI.1, πού πάντως διαθέτει τους εἶναι περιορισμένος έγινε μέ βάση τίς μετρήσεις γειτονικῶν πρός τόν σταθμό πού έμφανίζει τήν έλλειψη μέτρησης σταθμῶν, μέ βάση τή σχέση.

$$h_E = \frac{\sum_{i=1}^N (h_i \frac{1}{d_i^2})}{\sum_i^N (\frac{1}{d_i^2})}$$

ὅπου h_E : ή έκτίμηση τοῦ ύψους βροχῆς πού λείπει (χστ.)

N : πλήθος σταθμῶν πού χρησιμοποιούνται γιά τήν έκτίμηση ($N = 2$ μέχρι 4)

i : δείκτης πού συμβολίζει τόν κάθε σταθμό

h_i : ύψος βροχῆς στό σταθμό i (χστ.)

d_i : απόσταση τοῦ υπό συμπλήρωση σταθμού από τό σταθμό

Αφοῦ συμπληρώθηκαν δλες οι έλλειψεις προέκυψε τελικά δι πίνακας VI.2.

Η έξαγωγή τῶν έπιφανειακῶν ύψων γιά κάθε υπολεκάνη έγινε μέ βάση τή μέθοδο Thiessen. Οι έπιφανειες έπιφροντικούς τοῦ καθένα από τούς σταθμούς φαίνονται στό άντίστοιχο σχήμα ένω τά εμβαδά τους φαίνονται στόν παρακάτω πίνακα 5.2.

ΠΙΝΑΚΑΣ 5.2

EMBADA POLYGWNWN THIESSEN BROXOM. STAΘMWN THS LEKANHS [km2]

ΥΠΟ- LEKANH	KALO- SKOPH	GRA- VIA	DRY- MAIA	K.TI- COREA	DAY- LEIA	ELA- TEIA	LEI- BADIA	AGIA TRIADA	PAY- LOS	ALI- ARTOS	SYNOLO
1 = S1	54	212	155	20	3						444
2			4	156	51	179	14		23		427
S2	54	212	159	176	54	179	14		23		871
3					215		87				302
S3	54	212	159	176	269	179	101		23		1173
4							166	115	340	216	837
S4	54	212	159	176	269	179	267	115	363	216	2010

ΟΡΙΑ ΥΠΟΛΕΚΑΝΩΝ

- 1 = S1 : ANANTH CESHS FRAGMATOS AMFIKLEIAS
- 2 : METAJY CESHS FRAGMATOS AMFIKLEIAS KAI STENOV KINETAS
- 3 : METAJY STENDY KINETAS KAI FRAGMATOS "BOOT"
- 4 : KATANTH FRAGMATOS "BOOT"
- S2 : ANANTH STENDY KINETAS
- S3 : ANANTH FRAGMATOS "BOOT"
- S4 : SYNOLO LEKANHS BOIWTIKOU KHFISOU

Η σχέση πού χρησιμοποιεῖται γιά τήν έξαγωγή τῶν έπιφανειακῶν ύψων βροχῆς είναι ή άκολουθη:

$$h_F = \sum_{i=1}^M (h_i F_i) / \sum_{i=1}^M F_i$$

ὅπου h_F : τό έπιφανειακό ύψος βροχῆς (μμ)

M : πλήθος σταθμῶν πού έπηρεάζουν τήν ύπολεκάνη πού μελετᾶται

i : δείκτης πού συμβολίζει τόν κάθε σταθμό

hi : ύψος βροχῆς τοῦ σταθμοῦ i

Fi : έμβαδόν τῆς έπιφάνειας έπιφροής τοῦ σταθμοῦ i.

Μέ βάση τήν παραπάνω σχέση ύπολογίστηκαν καί φαίνονται στό παράρτημα VII (πίνακες VII.1 έως VII.7 ένας πίνακας γιά κάθε ύπολεκάνη) οἱ τιμές τοῦ έπιφανειακοῦ ύψους βροχῆς γιά κάθε μία άπό τίς πιθανές ήμέρες έμφανισης έτήσιας μέγιστης τιμῆς (βλέπε προηγούμενη παράγραφο).

Τέλος άπό δλες τίς τιμές 24ωρης καί 48ωρης βροχόπτωσης κάθε έτους έξαγεται ή έτήσια μέγιστη τιμή 24ωρης καί ή έτήσια μέγιστη τιμή 48ωρης διάρκειας (σημειώνονται στούς πίνακες μέ τό σύμβολο *).

5.4.4 Στατιστική έπεξεργασία έτησιων μεγίστων

Η στατιστική έπεξεργασία τῶν έτησιων μεγίστων έπιφανειακῶν ύψων βροχῆς, δημοσιεύσαν σύμφωνα με τή μεθοδολογία τῆς προηγούμενης παραγράφου, γίνεται μέ βάση τήν κατανομή Gumbel.

Η συνάρτηση κατανομῆς Gumbel δίνεται από τή σχέση:

$$F(h) = 1 - F_1(h) = 1 - \frac{1}{T} = \exp \left\{ - \exp \left[- \alpha \cdot (h - x_0) \right] \right\}$$

ὅπου h : ή στοχαστική μεταβλητή, πού στήν περίπτωση μας είναι τό έτησιο μέγιστο έπιφανειακό ύψος 24ωρης ή 48ωρης βροχῆς.

$F(h)$: ή συνάρτηση κατανομῆς

$F_1(h)$: ή πιθανότητα ύπερβασης

T : ή περίοδος έπαναφορᾶς

α καί x_0 : οι παράμετροι τῆς κατανομῆς Gumbel.

Οι παράμετροι έκτιμοῦνται από τά έμπειρικά χαρακτηριστικά τοῦ δείγματος: τή μέση τιμή h καί τήν τυπική άποκλιση σ . Η μέθοδος τῶν ροπῶν δίνει τίς άκόλουθες έκτιμήσεις:

$$\alpha = \frac{1}{0,78 \cdot \sigma} \quad \text{καί} \quad x_0 = h - \frac{0,577}{\alpha}$$

Εδῶ διαμορφώνονται τίς άκόλουθες έμπειρικές σχέσεις πού δίνουν πιό συντηρητικές (μεγαλύτερες) τιμές τοῦ ύψους βροχῆς γιά μεγάλες περιόδους έπαναφορᾶς:

$$\alpha = \frac{s_N}{\sigma} \quad \text{καί} \quad x_0 = h - \frac{y_N}{\alpha}$$

ὅπου y_N καί s_N παράμετροι πού έχαρτώνται από τό εύρος τοῦ δείγματος (στήν περίπτωση μας $N = 22$) καί δίνονται συναρτήσει αύτοῦ από πίνακες (βλέπε NEMEC: ENGINEERING HYDROLOGY, σελ. 187).

Όπως προέκυψε από τήν έφαρμογή οι τελευταίοι τύποι προσαρμόζονται στά έμπειρικά δεδομένα καλύτερα από τούς πρώτους.

Οι σχετικοί υπολογισμοί, προσαρμογῆς τῆς συνάρτησης Gumbel στά δείγματα γιά δλες τίς υπολεκάνες πού ένδιαφέρουν τή μελέτη (υπολεκάνες 1, 2, 3, 4, S2, S3 καί S4 - βλέπε πίνακα 5.2 γιά τόν δρισμό τῶν υπολεκανῶν) καθώς καί γιά τό σταθμό Γραβιᾶς φαίνονται στό Τεύχος Πινάκων (πίνακες Ι.1 έως Ι.8 γιά ύψη 24ωρης βροχόπτωσης καί Ι.9 έως Ι.16 γιά ύψη 48ωρης βροχόπτωσης).

Τά αποτελέσματα τῶν υπολογισμῶν (έμπειρικά χαρακτηριστικά δειγμάτων - τιμές παραμέτρων συνάρτησης Gumbel - τιμές ύψους βροχῆς γιά

χαρακτηριστικές τιμές τής περιόδου έπαναφορᾶς άπό $T = 2$ μέχρι $T = 10.000$ χρόνια) παρουσιάζονται στόν πίνακα 5.3.

Οι γραφικές απεικονίσεις τῶν συναρτήσεων κατανομῆς για δύο τίς περιπτώσεις πού υπολογίστηκαν καί γιά διάρκεια βροχῆς 24 καί 48 ώρων φαίνονται στά σχήματα 5.1 καί 5.2 άντιστοιχα. Λόγω τής ειδικῆς ακλίμακας τῶν διαγράμμάτων αύτῶν οι συναρτήσεις Gumbel απεικονίζονται ως εύθειες.

Στά ίδια διαγράμματα έχουν απεικονιστεῖ καί οι συναρτήσεις Gumbel τής μελέτης Γκόφα - Σταθοπούλου - Νοταρᾶ γιά τό σταθμό Γραβιᾶς, πού είναι καί δύο μόνος σταθμός μέ τόν δύο άσχολήθηκε ούσιαστικά ἡ ἐν λόγω μελέτη, χρησιμοποιώντας βροχογραφικά δεδομένα.

Από τά διαγράμματα αύτά βγάζουμε τά άκολουθα συμπεράσματα

- (α) Υπάρχει πολύ καλή συμφωνία (σχεδόν ταύτιση) τῶν συναρτήσεων τής παρούσας μελέτης γιά τό σταθμό Γραβιᾶς, πού έχουν παραχθεῖ άπό βροχομετρικά δεδομένα, μέ τίς άντιστοιχες τής μελέτης Γκόφα - Σταθοπούλου - Νοταρά πού έχουν παραδοθεῖ άπό βροχογραφικά δεδομένα.
- (β) Παρατηρεῖται μεγάλη διαφορά τῶν έπιφανειακῶν ύψων βροχῆς σέ σχέση μέ τά σημειακά
"Ετσι τό μέσο έπιφανειακό ύψος τοῦ συνόλου τής λεκάνης (S4) έκτασεως 2010 km^2 είναι περίπου 750 μέ τό 60% τοῦ σημειακοῦ ύψους τής Γραβιᾶς.
- (γ) Δέν ύπάρχει μονοσήμαντη μεταβολή τοῦ ύψους βροχῆς μέ τήν μεταβολή τοῦ έμβαδοῦ τής υπολεκάνης. Παρατηρεῖται πάντως μιά πτωτική τάση τοῦ ύψους βροχῆς μέ τήν αύξηση τοῦ έμβαδοῦ τής υπολεκάνης
- (δ) Οι υπολεκάνες S2 καί S3 έμφανίζουν συναρτήσεις κατανομῆς πού βρίσκονται πολύ κοντά ἡ μία μέ τήν ἄλλη. Γιά τό λόγο αύτό θεωρήθηκε τελικά ὅτι καί οι δύο περιγράφονται άπό τήν ίδια συνάρτηση κατανομῆς, τής δύο οι παράμετροι υπολογίστηκαν καί φαίνονται στό πίνακα 5.3.

Τέλος στά σχήματα 5.3 καί 5.4 έχουν χαραχτεῖ οι συναρτήσεις Gumbel τῶν υπολεκανῶν S1, S2, S3 καί S2/S3 παράλληλα μέ τίς άντιστοιχες

έμπειρικές συναρτήσεις κατανομῆς, πού προκύπτουν μέ έφαρμογή τοῦ

τύπου:

$$f_i = \frac{v}{N+1}$$

II NAKA 2 5.3

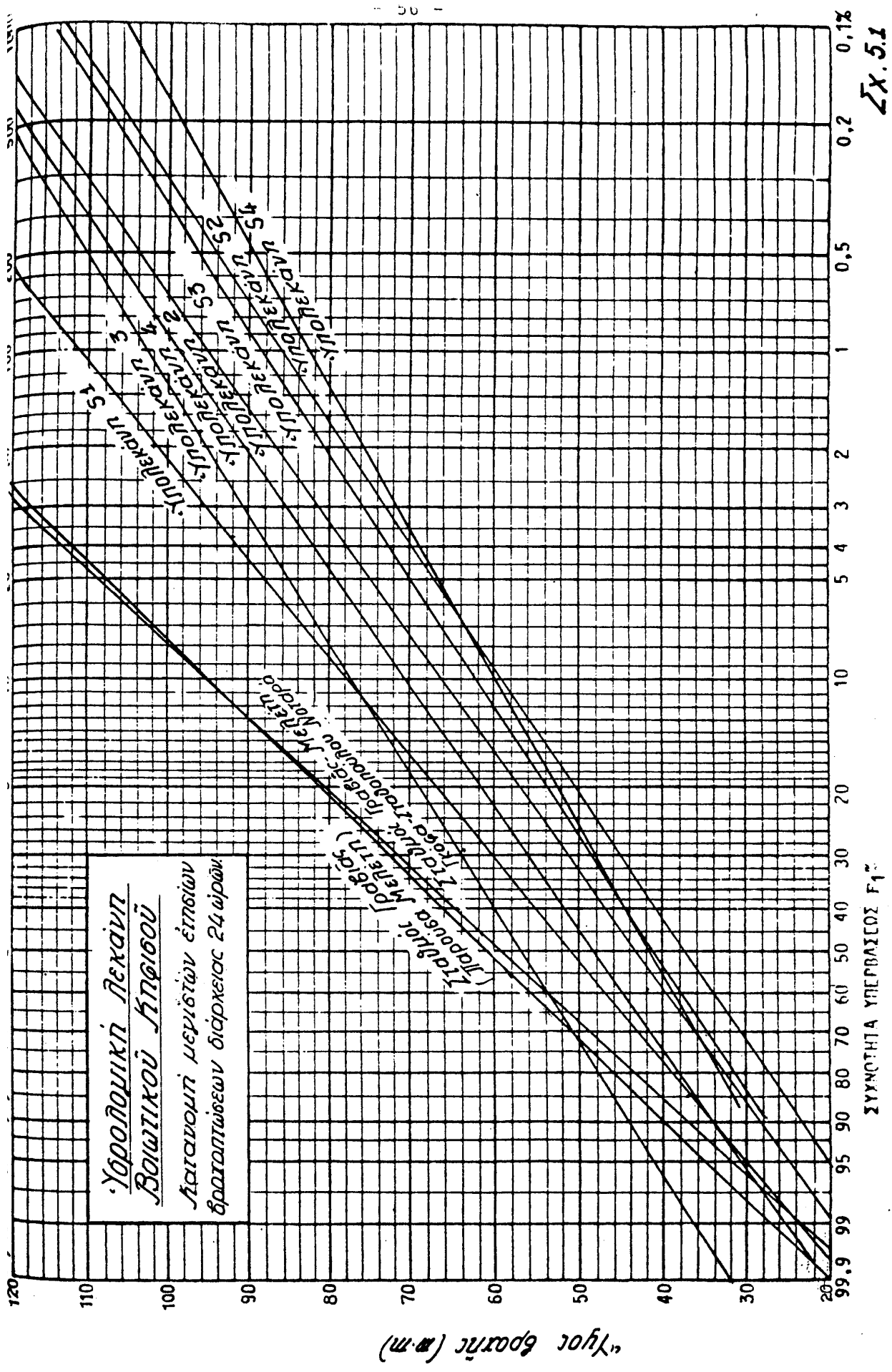
YDROLOGIKH LEKANH BOLINTIKOY KHF160Y
ETHELA MEGIETA YVH BROXHS DIARKEIAS¹ 24 KAI 4B WFWN
APOTELESMA STATISTIKHS EFEJERGASIAS DEIGMATWNA ME THN KATANOMH GUMBEL

STACMOS/YPOLEKANH	GRAVIA	1	61	2	3	4	S2	S3	S4
DIARKEIA [INRES]		24	4B	24	4B	24	4B	4B	4B
STATISTIKA KAFANTHRISTIKA									
MESH TIMH	64.56	87.35	53.54	76.83	45.16	71.20	84.92	58.15	64.35
TYFIKH AFORLISH	19.17	26.69	15.29	26.52	13.19	25.66	11.72	20.15	12.40
PARAKETROI SYNARTHSHS GUMBEL									

a	=	SN/s	0.2561	0.0375	0.0783	0.0406	0.0416	0.0918	0.0534
x0	=	YR/a	55.17	73.30	46.85	63.04	36.70	58.53	53.04

TIMES YVOYS ERGXHS GIA XFRANTHISTIKES TIMES THS PERIODOU EFFANAFORAS

T [ETH]	h [mm]								
2	61.7	83.1	51.3	72.1	43.2	67.3	57.0	61.9	48.2
5	61.9	113.3	67.4	100.0	57.1	94.6	69.4	103.2	61.7
10	95.3	135.3	78.0	116.5	66.3	112.6	77.6	117.2	78.7
20	106.1	152.5	88.3	136.3	75.1	130.0	85.4	138.7	79.2
25	112.2	156.6	91.5	141.9	77.9	135.4	87.9	135.0	82.0
50	124.7	177.4	101.5	159.3	86.6	152.4	95.6	146.2	92.3
100	137.2	196.0	111.5	176.5	95.1	169.2	103.2	161.2	98.6
200	149.6	214.6	121.3	193.6	103.7	185.9	110.8	174.3	106.9
500	165.9	239.1	134.4	216.3	114.9	207.9	120.8	191.5	117.8
1000	178.3	257.6	144.3	224.4	123.4	224.6	126.3	204.5	126.1
2000	192.7	276.1	154.1	258.5	131.9	241.3	135.9	217.5	134.3
5000	207.0	300.5	167.1	273.1	145.2	263.3	145.9	234.6	145.3
10000	219.4	319.0	177.0	290.2	151.7	262.0	153.4	247.6	153.5



$\Sigma X \cdot 5.2$

Հայութական արդյունաբերություն

0.12

0.2

0.5

?

1

3

5

10

20

30

40

50

60

70

80

90

100

120

140

160

180

200

220

Հիյութական արդյունաբերություն (մ.մ)

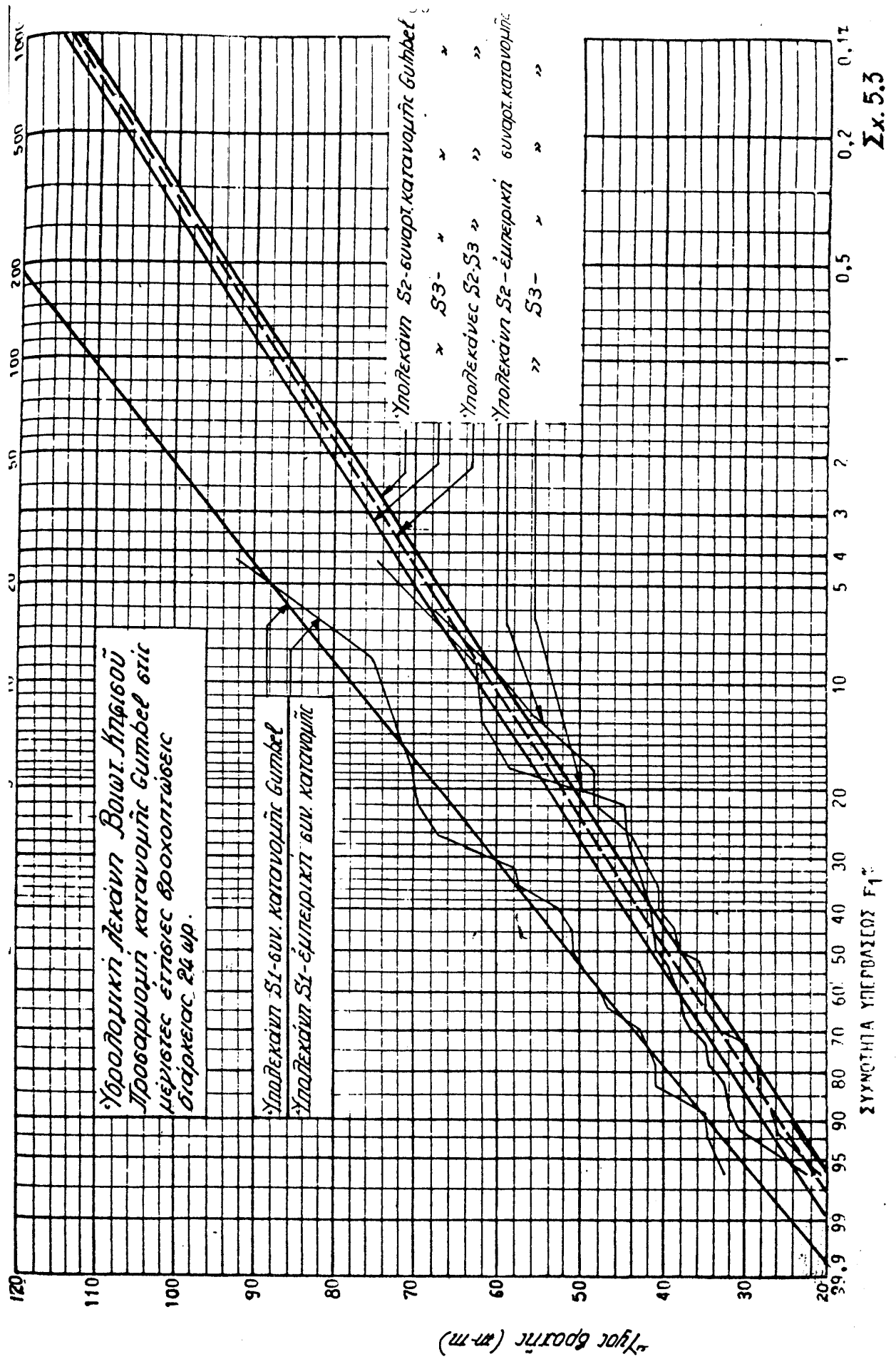
- 57 -

Հայութական արդյունաբերություն
կառուցման հետապնդության
զարուցման գործակացները

ՀԱՅ

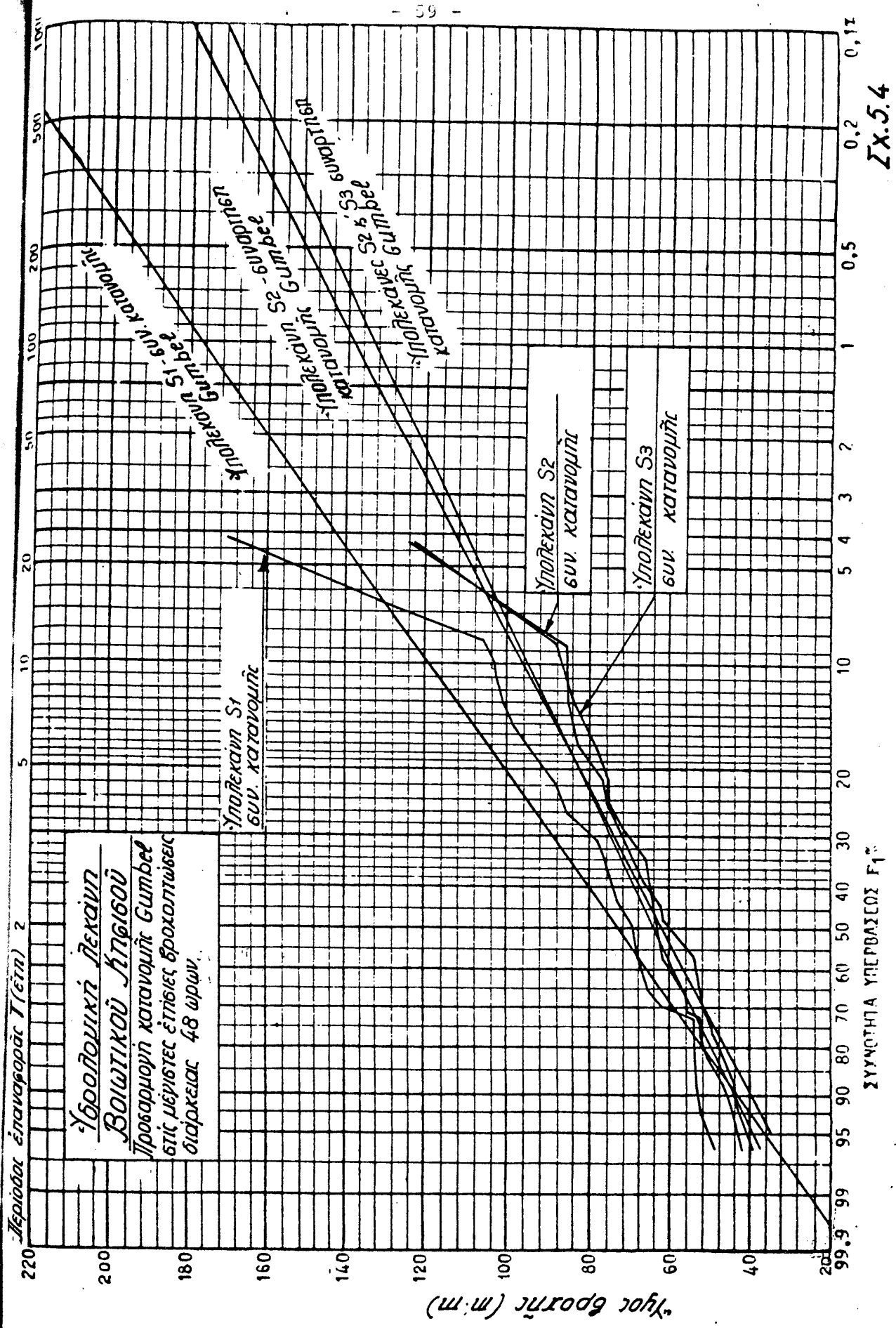
ՀԱՅՈՒԹԱԿԱՆ ԱՐԴՅՈՒՆԱ

ՀԱՅՈՒԹԱԿԱՆ ԱՐԴՅՈՒՆԱ



ΣΥΝΟΤΗΤΑ ΥΠΟΓΛΙΩΝ F₁

Σx. 5.3



δπου Φ₁: ή έμπειρική συχνότητα υπέρβασης

ν : δ αὗτων ἀριθμός κάθε παρατηρημένης τιμῆς σὲ φθίνουσα σειρά.

Ν : τό εύρος τοῦ δείγματος (=22)

Στά ἐν λόγω σχήματα παρατηρείται ή πολύ καλή προσαρμογή τῆς συνάρτησης Gumbel στά έμπειρικά δεδομένα.

5.4.5. Καμπύλες ύψους-διάρκειας - περιόδου έπαναφορᾶς καὶ ἔντασης-διάρκειας - περιόδου έπαναφορᾶς βροχοπτώσεων.

"Οπως άναφέρθηκε καὶ αἵτιολογήθηκε στίς παραγράφους 5.4.1 καὶ 5.4.2 δέν εἶναι δυνατή ή ἀμεση παραγωγή καμπυλῶν ύψους (ή ἔντασης) - διάρκειας - περιόδου έπαναφορᾶς βροχοπτώσεων, ἀφοῦ δέν ἔχουμε βροχογραφικά στοιχεία ἀπό δίκτυο σταθμῶν στή διάθεση μας. Ἐπίσης θά πρέπει νά ἀποκλειστεῖ καὶ ή έμπειρική μεθοδολογία Gibrat, πού χρησιμοποιήθηκε στήν παράγραφο 5.3, γιατί αὐτή ἀφορᾶ σαφῶς σημειακές βροχοπτώσεις, δεδομένου ὅτι χρησιμοποιεῖ τίς μέσες ἔντάσεις τῶν βροχοπτώσεων ὅπως προκύπτουν ἀπό τά ήμερήσια δελτία βροχομετρικῶν παρατηρήσεων (ἢ ἂν υπάρχει βροχογράφος ἀπό τά βροχογραφήματα).

Παρόλο ὅτι υπάρχει ἀδυναμία ἀμεσης καὶ ἀσφαλοῦς παραγωγής τῶν ἐν λόγω καμπυλῶν, ἐν τούτοις εἶναι δυνατή ή ἔμμεση παραγωγή τους, μέ βάση

α. Τίς ἀντίστοιχες καμπύλες τῶν σημειακῶν ύψῶν ή ἔντάσεων βροχῆς

β. Τά τυπικά διαγράμματα συντελεστῶν ἀναγωγῆς σημειακῆς βροχόπτωσης σέ ἐπιφανειακή, καὶ

γ. Τά συμπεράσματα τῆς στατικῆς ἀνάλυσης τῶν ἑτησίων μεγίστων ἐπιφανειακῶν ύψῶν βροχῆς, πού προέκυψαν στήν προηγούμενη παράγραφο 5.4.4

Θά ἀσχοληθοῦμε ἀποκλειστικά μέ τίς υπολειάνες S₁, S₂, καὶ S₃ μέ ἔκτάσεις 444 χμ^2 , 871 χμ^2 καὶ 1.173 χμ^2 ἀντίστοιχα, πού ἔνδιαφέρουν κατά κύριο λόγο τή μελέτη μας. Στήν προηγούμενη παράγραφο διαπιστώθηκε ὅτι υπάρχει ταύτιση τῶν συναρτήσεων κατανομῆς Gumbel τῶν 24ώρων καὶ 48ώρων ύψῶν βροχῆς γιά τίς υπολειάνες S₂ καὶ S₃. Εἶναι λογικό ἐπομένως νά υποθέσουμε ὅτι οἱ καμπύλες ύψους-διάρκειας - περιόδου έπαναφορᾶς τῶν υπολειακῶν S₂ καὶ S₃ ταυτίζονται ἐπίσης.

Θεωροῦμε ὅτι οἱ καμπύλες πού μᾶς ἔνδιαφέρουν περιγράφονται ἀπό τίς σχέσεις:

$$h = K \cdot T^\alpha \cdot t^\lambda \quad \text{καὶ} \quad J = K \cdot T^\alpha / t^{1-\lambda}$$

ὅπου h : ψύση βροχῆς σέ πηγή (χστ.)

i : ένταση βροχῆς σέ πηγή/ h

t : διάρκεια βροχῆς σέ h (ώρες)

K, α, λ : διάδα σταθερῶν ($0 < \alpha, \lambda < 1$ και $K > 0$)

Τό πρόβλημα πού άντιμετωπίζουμε έδω είναι ότι ανθορισμός τής διάδασ σταθερῶν K, α και λ για ήδη διατίθεται. Αύτό μπορεῖ να γίνει και αμεσα μέ βάση τα άποτελέσματα τής στατιστικής διαδικασίας μέ τήν κατανομή Gumbel τῶν βροχοπτώσεων διάρκειας 24 και 48 ώρων, άλλα στήν περίπτωση αύτή η ινδυνεύουμε να έχουμε μεγάλα σφάλματα για μικρές διάρκειες. "Ετσι καταλήγουμε να προσδιορίζουμε τήν τιμή τής σταθερᾶς λ , πού περιγράφει τήν μεταβολή του ψύσης h τής έντασης μέ τό χρόνο, έμμεσα, άπό τίς άντιστοιχεις καμπύλες τῶν σημειακῶν βροχοπτώσεων. Σημειώνεται μάλιστα ότι h διαιρύμαση της λ για σημειακές βροχοπτώσεις είναι μικρή μέσα σέ μια λεκάνη άπορροης.

Για τήν υπολειάνη S_1 άντιπροσωπευτικός σταθμός μπορεῖ να θεωρηθεῖ ότι σταθμός τής Γραβιάς, για τόν διαδικασίας 24 ώρων έχουμε καμπύλες ψύσης - διάρκειας περιόδου έπαναφορᾶς βασισμένους σέ βροχογραφικά δεδομένα πού έχουν καταφτισθεῖ σέ προγενέστερες μελέτες. Στίς καμπύλες αύτές h σταθερά λ έχει τήν τιμή $0,45$. "Ετσι π.χ. για $T = 100$ ή άντιστοιχη σχέση είναι

$$h = 32,4 \cdot t^{0,45}$$

Τό σημειακό και έπιφανειακό ψύση βροχῆς συνδέονται μέ τή σχέση

$$h_E = \mu \cdot h_{\Sigma}$$

ὅπου μ συντελεστής άναγωγῆς ($\mu < 1$) πού μεταβάλλεται μέ τήν έκταση τής λεκάνης και τή διαρκεια βροχῆς. Για δισμένη έκταση λεκάνης h μεταβολή του σέ συνάρτηση μέ τή διαρκεια βροχῆς μπορεῖ να περιγραφεῖ άπό μία σχέση τής μορφῆς

$$\mu = A \cdot t^{\mu}$$

ὅπου A και μ σταθερές μέ $0 < \mu < 1$

Σάν συνέπεια τῶν δύο παραπάνω σχέσεων προκύπτει ότι ότι συντελεστής λ για τό έπιφανειακό ψύση βροχῆς είναι ίσος μέ τό άθροισμα τοῦ άντιστοιχου συντελεστή λ τοῦ σημειακοῦ ψύση βροχῆς και τοῦ συντελεστή μ .

Για λεκάνη έκτασης 444 km^2 , μέ χρήση τῶν διαγραμμάτων συντελεστῶν άναγωγῆς:

(α) τοῦ U.S Weather Bureau καὶ

(β) τοῦ Institute of Hydrology (Βρεταννικοῦ)

καὶ γιά διάρκειες άπό 3 μέχρι 24 ώρες υπολογίσαμε τό συντελεστή μέ τή μέθοδο έλαχίστων τετραγώνων καὶ προέκυψε

$$\mu = 0,06$$

Συνεπῶς δ συντελεστής λ γιά τήν ύπολεκάνη S_1 θά είναι

$$\lambda = 0,45 + 0,06 = 0,51$$

Γιά τίς ύπολεκάνες S_2 καὶ S_3 θεωροῦμε σάν άντιπροσωπευτικούς τούς σταθμούς Γραβιᾶς καὶ Δαύλειας.

Γιά τόνδεύτερο ἡ μέθοδος Gibrat έδωσε γιά τήν σταθερά λ τήν τιμή $\lambda = 0,42$. π.χ. γιά $T = 100$ έχουμε

$$h = 56 \cdot t^{0,42}$$

Θεωροῦμε λοιπόν σάν άντιπροσωπευτική τιμή τοῦ λ γιά τό σημειακό ύψος βροχῆς τόνμέσο δρο τῶν δύο τιμῶν τῶν σταθμῶν Γραβιᾶς καὶ Δαύλειας, ἢτοι

$$\lambda_{\Sigma} = 1/2 (0,45+0,42) = 0,44$$

Από τά διαγράμματα μειωτικῶν συντελεστῶν πού προαναφέρθηκαν, γιά μιά λεκάνη μέ ἐκταση τής τάξης τῶν 1000 χμ^2 προκύπτει ἡ τιμή τοῦ μέση μέ 0,07.

Συνεπῶς γιά τό έπιφανειακό ύψος βροχῆς θά έχουμε

$$\lambda = 0,44 + 0,07 = 0,51$$

Αφοῦ καθορίζαμε μέ τόν παραπάνω τρόπο τήν τιμή τοῦ λ, πού τελικά είναι κοινή (0,51) γιά δλες τίς ύπολεκάνες προχωροῦμε στόν καθορισμό τῶν υπολοίπων σταθερῶν τῶν σχέσεων ύψους (ἢ ἐντασης) - διάρκειας - περιόδου έπαναφορᾶς βροχοπτώσεων, δηλαδή τῶν K καὶ α.

Αν είσαγαγωμέ τήν μεταβλητή $h_1 = h/t^{\lambda} = h/t^{0,51}$

τότε ἡ σχέση ύψους - διάρκειας - περιόδου έπαναφοράς γίνεται:

$$h_1 = K \cdot T^{\alpha}$$

Δογαριθμίζοντας τήν παραπάνω προκύπτει

$$\ln(h_1) = \ln(K) + \alpha \ln(T)$$

Επομένως οι μεταβλητές Y = $\ln(h_1)$ καὶ X = $\ln(T)$ συνδέονται μέ γραμμική σχέση καὶ ἔτσι οι σταθερές α καὶ K μπορεῖ νά υπολογιστοῦν μέ τή μέθοδο έλαχίστων τετραγώνων.

Οι σχετικοί υπολογισμοί γίνονται στό τεῦχος πινάκων (πίνακες VII.1 καὶ VII.2). Τελικά οι ζητούμενες σχέσεις διαμορφώνονται ως έξης:

- Υπολεκάνη S1
 $h = 10,26 \cdot t^{0,169} \cdot t^{0,51}$ $h: \text{mm}, t: \text{ώρες}$
 $i = 10,26 \cdot t^{0,169} / t^{0,49}$ $i: \text{mm/h}, t: \text{ώρες}$
- Υπολεκάνης S2 και' S3
 $h = 8,28 \cdot t^{0,161} \cdot t^{0,51}$ $h: \text{mm}, t: \text{ώρες}$
 $i = 8,28 \cdot t^{0,161} \cdot t^{0,49}$ $i: \text{mm/h}, t: \text{ώρες}$

Χαρακτηριστικές τιμές τοῦ ύψους βροχῆς γιά διάφορες διάρκειες και' γιά διάφορες περιόδους έπαναφορᾶς δύνονται στόν πίνακα 5.4 πού ακολουθεῖ.

Οι γραφικές άπεικονίσεις τῶν σχέσεων φαίνονται στά σχήματα 5.5 και' 5.6.

ΠΙΝΑΚΑΣ 5.4

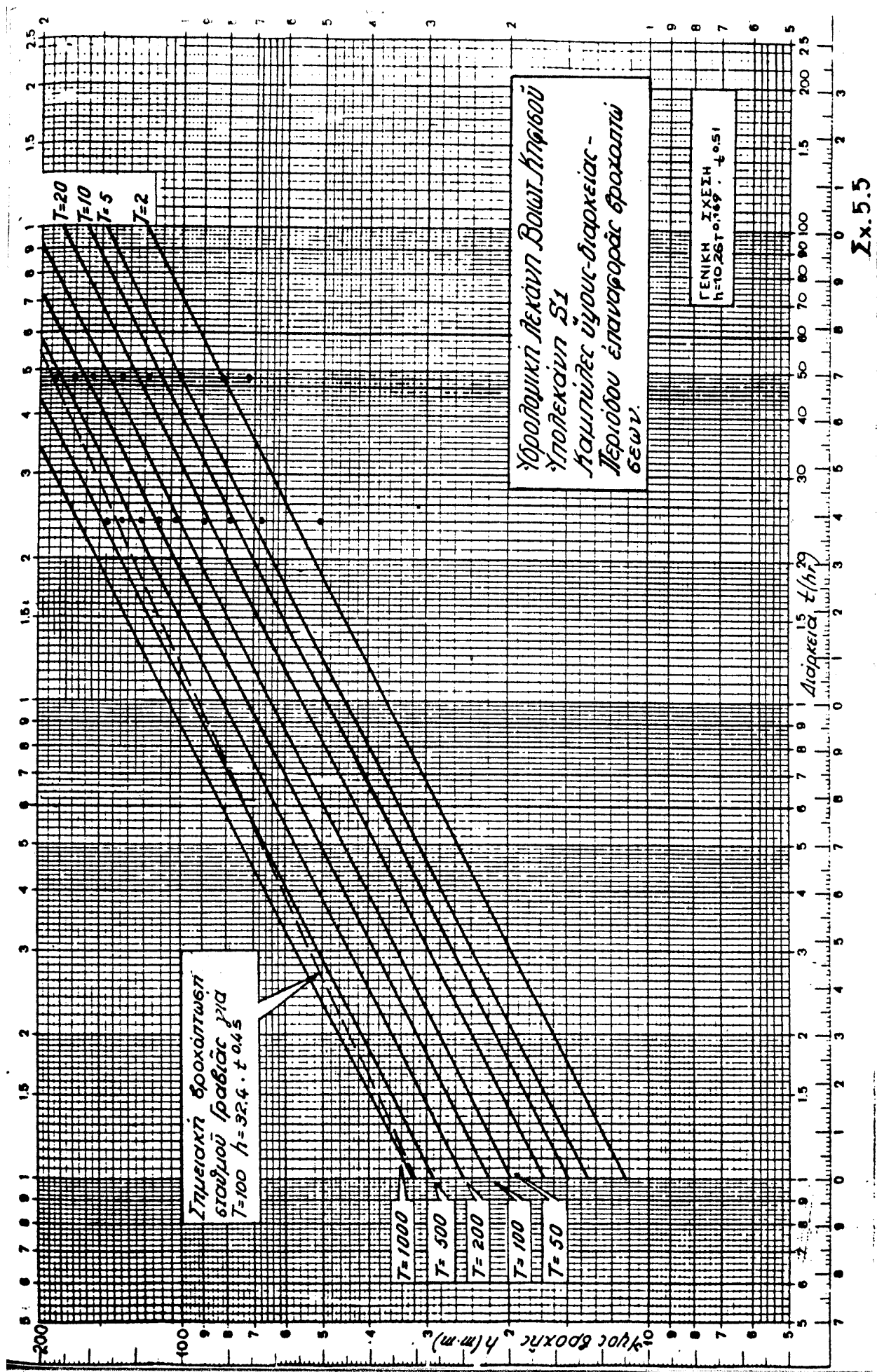
Τιμές τοῦ ύψους βροχῆς πού προκύπτουν

*Από τις σχέσεις ύψους - διάρκειας - περιόδου έπαναφορᾶς βροχοπτώσεων

Τ ξη	Σχέσεις $h-t-T$	Υψος βροχῆς h (mm) γιά διάρκεια t (h)					
		1	3	6	12	24	48
ΥΠΟΛΕΚΑΝΗ S1							
2	$h = 11,54 \cdot t^{0,51}$	11,5	20,2	28,8	41,0	58,3	83,1
5	$h = 13,47 \cdot t^{0,51}$	13,5	23,6	33,6	47,8	68,1	97,0
10	$h = 15,14 \cdot t^{0,51}$	15,1	26,5	37,8	53,8	76,6	109,0
20	$h = 17,02 \cdot t^{0,51}$	17,0	29,8	42,5	60,5	86,1	122,6
50	$h = 19,87 \cdot t^{0,51}$	19,9	34,8	49,6	70,6	100,5	143,1
100	$h = 22,34 \cdot t^{0,51}$	22,3	39,1	55,7	79,3	113,0	160,9
200	$h = 22,34 \cdot t^{0,51}$	25,1	44,0	62,6	89,2	127,0	180,9

ΥΠΟΛΕΚΑΝΕΣ S2 και' S3

2	$h = 9,26 \cdot t^{0,51}$	9,3	16,2	23,1	32,9	46,8	66,7
5	$h = 10,73 \cdot t^{0,51}$	10,7	18,8	26,8	38,1	54,3	77,3
10	$h = 12,00 \cdot t^{0,51}$	12,0	21,0	29,9	42,6	60,7	86,4
20	$h = 13,41 \cdot t^{0,51}$	13,4	23,5	33,4	47,6	67,8	96,6
50	$h = 15,54 \cdot t^{0,51}$	15,5	27,2	38,8	55,2	78,6	111,9
100	$h = 17,38 \cdot t^{0,51}$	17,4	30,4	43,3	61,7	87,9	125,2
200	$h = 19,43 \cdot t^{0,51}$	19,4	34,0	48,5	69,0	98,3	139,9



ΥΔΡΟΛΟΓΙΚΗ ΛΕΚΑΝΗ ΒΟΙΩΤΙΚΟΥ ΙΚΝΟΙΣΟΥ
ΥΠΟΛΕΚΑΝΕΣ Σ2 ΚΑΙ Σ3

ΚΑΜΠΥΛΕΣ ΥΨΟΥΣ - ΔΙΑΡΚΕΙΑΣ - ΠΕΡΙΟΔΟΥ ΕΠΑΝΑΦΟΡΑΣ ΒΡΟΧΟΗΣ ΣΕ ΣΕ

400

300

200

100

Σημειωματική δροσοπίδωση
σταθμού Γραβιάς
 $T=100$, $h=324 t^{0.45}$

80

60

40

20

10

υγρος βροχης (m.m)

4

3

2

1

$T=100$

$T=200$

$T=100$

$T=50$

$T=20$

$T=10$

$T=5$

$T=2$

$T=1$

$T=0.5$

$T=0.2$

$T=0.1$

$T=0.05$

$T=0.02$

$T=0.01$

$T=0.005$

$T=0.002$

$T=0.001$

Διάρκεια t (hr)

Ζε. 5.6

5.5 Μοναδιαία ύδρογραφήματα

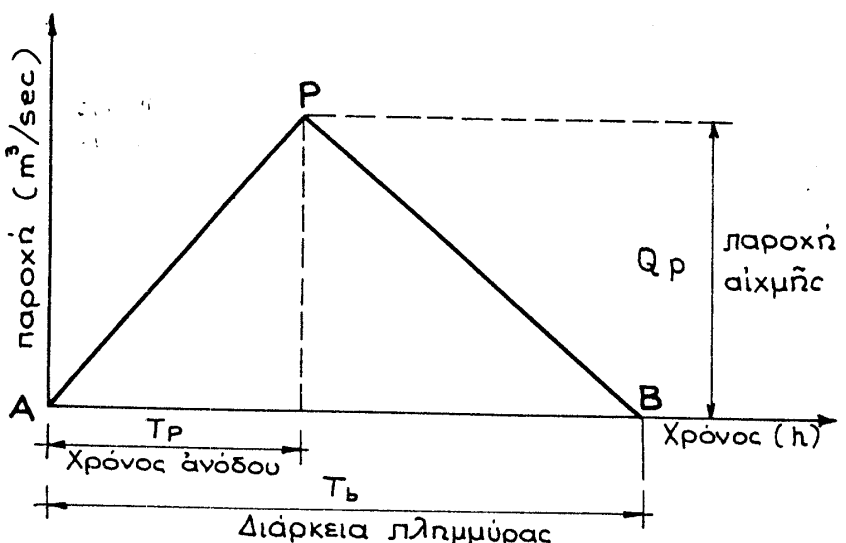
Όπως έχει άναφερθεῖ στήν άρχη αύτοῦ τοῦ κεφαλαίου τά πλημμυρογραφήματα μελέτης θά παραχθοῦν μέ τη μέθοδο τοῦ μοναδιαίου ύδρογραφήματος. Η μέθοδος προϋποθέτει τήν κατάρτιση μοναδιαίων ύδρογραφημάτων στίς διατομές έλεγχου, κατά μήκος τοῦ ποταμοῦ.

Γιά νά έχωμε αξιόπιστα αποτελέσματα, ή κατάρτιση τῶν μοναδιαίων ύδρογραφημάτων πρέπει νά βασίζεται σέ ύδρομετρικά δεδομένα καί μάλιστα σέ καταγραμμένα πλημμυρογραφήματα στή διατομή έλεγχου. Τέτοια δύμας δέν υπάρχουν, άφοῦ κατά μήκος τοῦ Βοιωτικοῦ Κηφισοῦ δέν υπάρχουν ύδρομετρικοί σταθμοί έκτός από αύτόν στή σήραγγα Καρδίτσας, πού δύμας πάλι δέν είναι έφεδιασμένος μέ κατάλληλα δργανα γιά τό σκοπό αύτό (π.χ. σταθμηγράφο).

Ετσι άναγκαστικά καταφεύγουμε σέ συνθετικά μοναδιαία ύδρογραφήματα, δηλαδή συνθέτουμε τά μοναδιαία ύδρογραφήματα μέ βάση δρισμένες φυσικές καί μετεωρολογικές παραμέτρους τής λεκάνης άπορροής.

Βασιζόμαστε ουρώς στή σχετική έργασία τοῦ Βρεταννικοῦ 'Ινστιτούτου 'Υδρολογίας (βλ. Institute of Hydrology: "A Guide to Flood Studies Report"), ένω παράλληλα γιά έλεγχο χρησιμοποιοῦμε καί τήγ μέθοδο Snyder καθώς καί τόν τύπο τοῦ Giandotti, πού έχει εύρεία χρήση στήν 'Ελλάδα.

Σύμφωνα μέ τό Βρεταννικό 'Ινστιτούτο 'Υδρολογίας τό μοναδιαίο ύδρογράφημα γιά διάρκεια βροχῆς 1 ώρα μπορεῖ νά ύποτεθεῖ ότι έχει τριγωνική μορφή, οπως στό σχήμα 5.7.



Σχήμα 5.7 Τριγωνικό μοναδιαίο ύδρογράφημα σύμφωνα μέ τό Βρεταννικό 'Ινστιτούτο 'Υδρολογίας (διάρκεια βροχῆς 1 ώρα).

Για τόν προσδιορισμό του άπαιτεῖται δικαθορισμός 3 παραμέτρων, δηλαδή τῶν T_p , T_b και Q_p .

Αύτός βασίζεται στά ακόλουθα χαρακτηριστικά τῆς λειτουργίας άπορροής:

- "Εκταση λειτουργίας A ($\chi\mu^2$)
- Μήκος αύριου ρεύματος L ($\chi\mu$)
- Μέση αλίση αυρίου ρεύματος $S1085$ ($\mu/\chi\mu$)
πού έμφανίζεται άναμεσα στά
σημεῖα 10% και 85% τοῦ μή-
κους του
- Μέγεθος άστικής άναπτυξης URBAN
- Παράμετρος μεγέθους έντασης
βροχοπτώσεων: RSMD
- (= ύψος βροχής 24ωρης βροχόπτωσης
για περίοδο έπαναφορᾶς 5 χρόνια
μετανά τήν τιμή τοῦ "ένεργοῦ έλ-
λείμματος έδαφικής ύγρασίας", πού
είναι περίπου 2χστ. για δρεινές λειτ-
υνες άπορροής).

Οι ζητούμενες παράμετροι υπολογίζονται από τίς σχέσεις
 $T_p = 46,6 \cdot L^{0,14} \cdot S1085^{-0,38} \cdot (1+URBAN)^{-1,99} \cdot RSMD^{-0,4}$

$$Q_p = 2,2 \cdot A/T_p \quad (\text{ώρες})$$

$$T_b = 2,52 \cdot T_p \quad (\text{ώρες})$$

Για έπαλήθευση τῆς τιμῆς τοῦ χρόνου άνδου, δημιουργείται και ή μέθοδος Snyder. Σύμφωνα με αύτήν υπολογίζεται κατ' αρχήν δι χρόνος.

$$t_{p1} = C_t (L \cdot L_c)^{0,3} \quad (\text{ώρες})$$

δημιουργείται και ή μέθοδος Snyder. Σύμφωνα με αύτήν υπολογίζεται κατ' αρχήν δι χρόνος.

$$L : \text{μήκος υδατορεύματος} \quad (\text{mi}) = \text{μέλια}$$

$$L_c : \text{μήκος τοῦ υδατορεύματος}
διαπό τήν προβολή τοῦ κέντρου
βάρους τῆς λειτουργίας μέχρι τήν
ύπό έξέταση διατομή} \quad (\text{mi}) = \text{μέλια}$$

C_t : συντελεστής πού έξαρτάται
διαπό χαρακτηριστικά τῆς λε-
υγής και στήν Αμερική βρέ-
θηκε νά έχει τιμές $1,8 \div 2,0$
Στήν Ελλάδα είναι πιθάνό-
τερη ή τιμή $C_t = 1,00$ πού
άλλωστε υιοθετήθηκε από τόν
ίδιο Όγγες Snyder σε μιά μελέτη
του για τόν "Αραχθο".

• Η τιμή t_p είναι ό χρόνος άνδου γιά διάρκεια βροχής ήση μέ

$$t_0 = t_{p1} / 5.5$$

ενώ γιά διάρκεια βροχής $t_1 = 1$ ώρα, ό όντιστοιχος χρόνος άνδου προ-
κύπτει από τή σχέση

$$t_p = t_{p1} + \frac{t_1 - t_0}{4}$$

Τέλος χρησιμοποιεῖται άκόμη γιά έπαληθευση και ή καθιερωμένη στήν

• Ελλάδα σχέση τοῦ Giandotti $t_\sigma = \frac{4\sqrt{A} + 1.5L}{0.8\sqrt{Z_m} - Z_e}$

• Η σχέση αύτή δίνει τό χρόνο συρροής τής λεκάνης, είναι

A: έκταση τής λεκάνης (Km^2)

L: μήκος θύρευματος (Km)

Zm: μέσο ύψομετρο λεκάνης (m)

ZE: ύψομετρο τοῦ θύρευματος
στή διατομή έλέγχου (cm)

Στή συνέχεια προκύπτει ό χρόνος άνδου από τή σχέση

$$t_p = 0.5 \cdot t_\sigma + \frac{t_1}{2}$$

δπου t_1 ή διάρκεια βροχής (=1 ώρα.)

• Όλα τά παραπάνω έφαρμόζονται στίς τρεῖς υπολεκάνες πού ένδιαφέρουν
τή μελέτη.

- 'Υπολεκάνη S1 - άνάντη θέσης φράγματος 'Αμφίκλειας
- 'Υπολεκάνη S2 - άνάντη στενοῦ Κινέτας
- 'Υπολεκάνη S3 - άνάντη φράγματος ΒΟΟΤ

Τά άπαιτούμενα γεωμετρικά στοιχεῖα τῶν υπολεκανῶν έχουν βρεθεῖ από
τή μηκοτομή τοῦ σχήματος 5.8. Οι υπολογισμοί έχουν γίνει στόν πίνα-
κα 5.5. Παρατηροῦμε ότι ή μέθοδος τοῦ Βρεταννικοῦ 'Ινστιτούτου 'Υδρο-
λογίας δίνει κάπως μεγαλύτερες τιμές τοῦ χρόνου άνδου από τίς άλλες
δύο (π.χ. γιά τήν υπολεκάνη S1 έχουμε τίς έξῆς τιμές σέ ώρες: 'Ινστ.
'Υρολ.: 5.4, Snyder: 4,6 Giandotti: 4,7) άλλα πάντως ή παρατηρούμε-
νη άποκλιση είναι αποδεκτή.

Τά μοναδιαῖα υδρογραφήματα τῶν τριῶν υπολεκανῶν, πού τελικά χρησιμο-
ποιοῦνται είναι αύτά τής μεθόδου τοῦ Βρετ. 'Ινστιτούτου 'Υδρολογίας
και φαίνονται στό σχήμα 5,9.

ΠΙΝΑΚΑΣ 5.5

ΥΠΟΛΟΓΙΣΜΟΣ ΒΑΣΙΚΩΝ ΠΑΡΑΜΕΤΡΩΝ

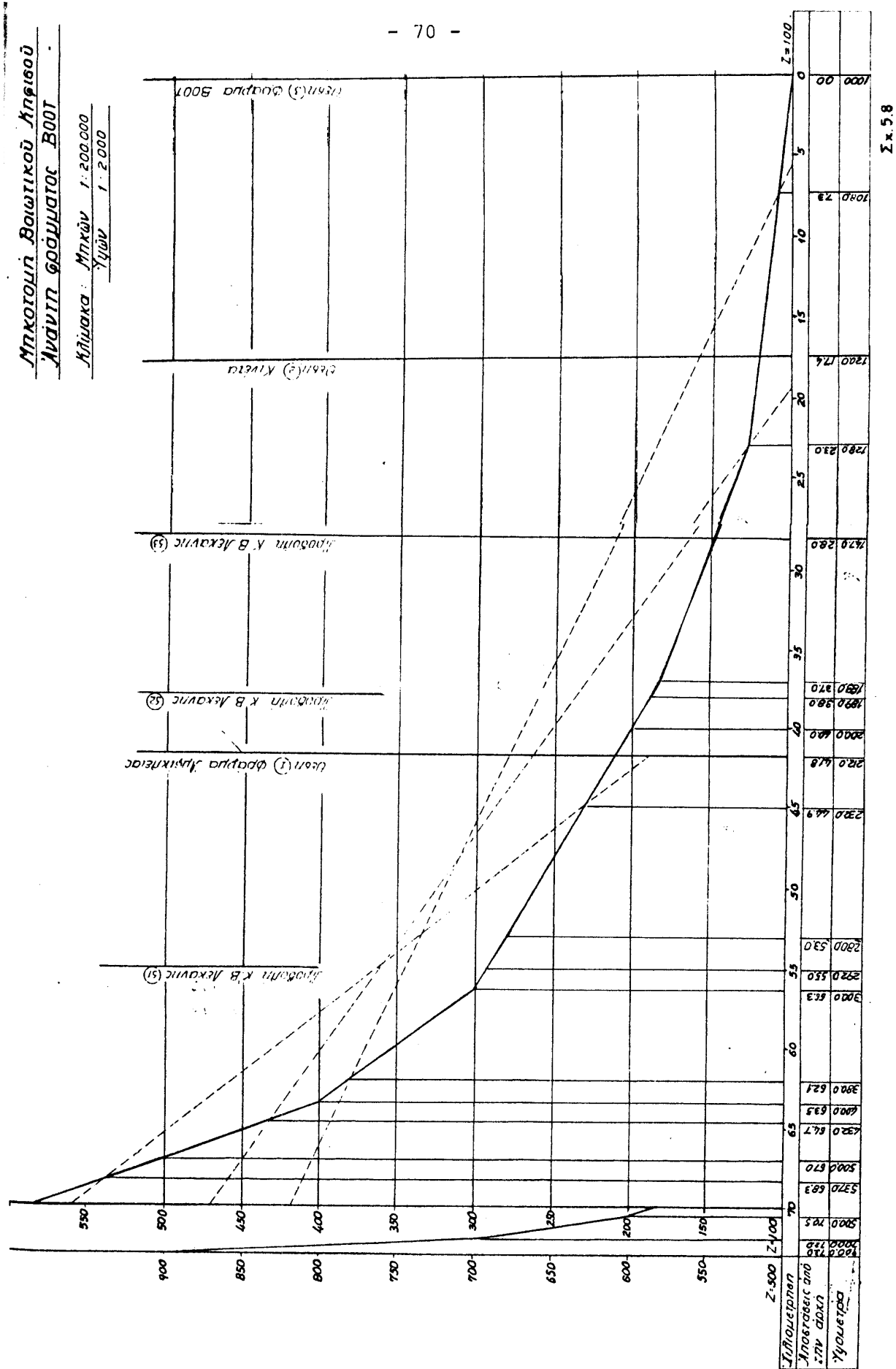
ΜΟΝΑΔΙΑΙΩΝ ΥΔΡΟΓΡΑΦΗΜΑΤΩΝ ΛΕΚΑΝΗΣ ΒΟΙΩΤ. ΚΗΦΙΣΟΥ

ΥΠΟΛΕΚΑΝΗ	S1 - ΘΕΣΗ ΦΡΑΓΜ. ΑΜΦΙΚΛΕΙΑΣ	S2 - ΣΤΕΝΟ ΚΙΝΕΤΑΣ	S3 ΦΡΑΓΜΑ ΒΟΟΤ
"Έκταση υπολεκάνης A (κμ ²)	444	871	1.173
Χιλιομέτρικης θέσης (κμ)	Διατομή έξόδου 41,8 Ανάντη πέρατος 73,0 Θέσης 10% L 44,9 Θέσης 85%L 68,3 Προβολής α.β. 55,0	17,4 73,0 23,0 64,7 38,0	0,0 73,0 7,3 62,1 28,0
Μήκη (κμ)	Όλικό 31,2/19,4 Μέχρι προβολής α.β. 13,2/ 8,2	55,6/34,6 20,6/12,8	73,0/45,4 28,0/17,4
Ψύρμετρα (μ)	Διατομής έξόδου (Z_E) 212 Ανάντη πέρατος (Z_A) 900 Θέσης 10% L (Z_{10}) 232 Θέσης 85% L (Z_{85}) 537 Μέσο λεκάνης (έκτιμη) (Z_M) 780	120 900 128 432 640	100 900 108 380 620
Μέσες κλίσεις %	Όλική $S = (Z_A - Z_E)/L$ 22,1 $S_{1085} = (Z_{85} - Z_{10}) / 0,75 L$ 13,0	14,0 7,3	11,0 5,0
Υπολογισμός παρασμέτρων κ.υ. 1 δραχμας σήμανα με το Brétaνu- κό InSTITUTE of Hydrol.	Πασσοστό έκτασης δαστικών περιοχών (UEBAN) = 0 Παράμετρος RSMD (μμ) 67,4-2=65,4 Χρόνος άνάδου (hr): $T_P = \frac{46,6 \cdot L}{0,38}^{0,14}$ $S_{1085} = \frac{RSMD}{0,4}^{0,4}$ Παροχή αίχμης (μ ³ /δλ) $Q_P = 2,2 A/T_P$ 181 Διάσκεια πλημ. $T_1 = 2,52 T_P$ 13,6	= 0 52,1-2=50,1 8,0 9,6 240 24,2	= 0 52,1-2=50,1
Ελεγχος του χρόνου άναδου με διάλεις μεσος δους	Giandotti: Χρ. συρροής $t_\sigma = \frac{4VA+1,5L}{0,8VZ_M - Z_E}$ 6,9 Χρ. άνάδου $T_P = 0,6t_\sigma + D$ 12 4,6 Snyder $t = 1,0C(LL_C)$ 4,6 t' 0,8	11,0 7,1 6,2 1,1	13,5 8,6 7,4 1,3

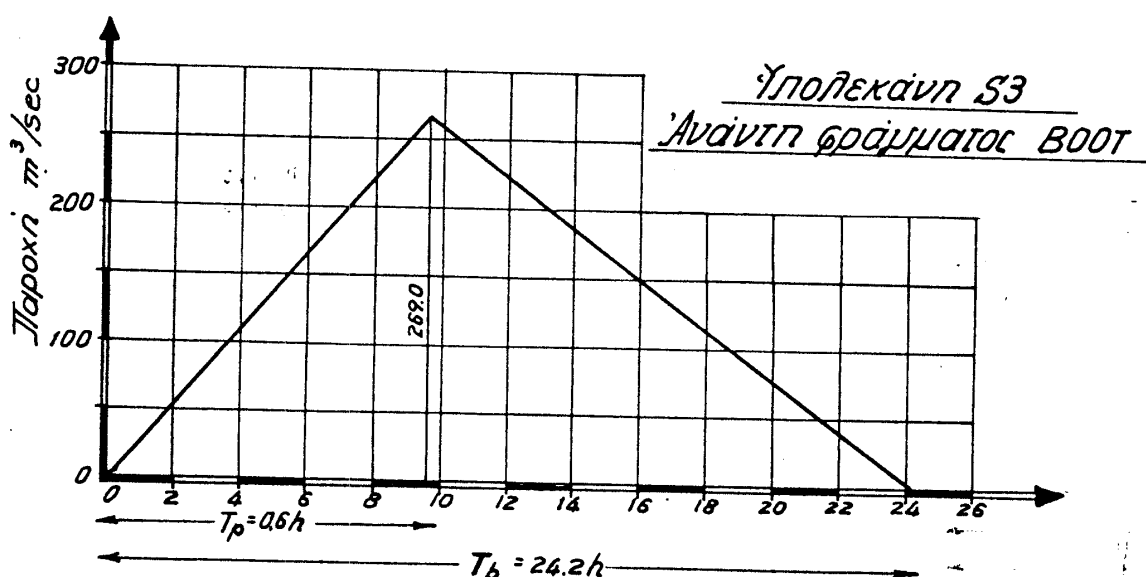
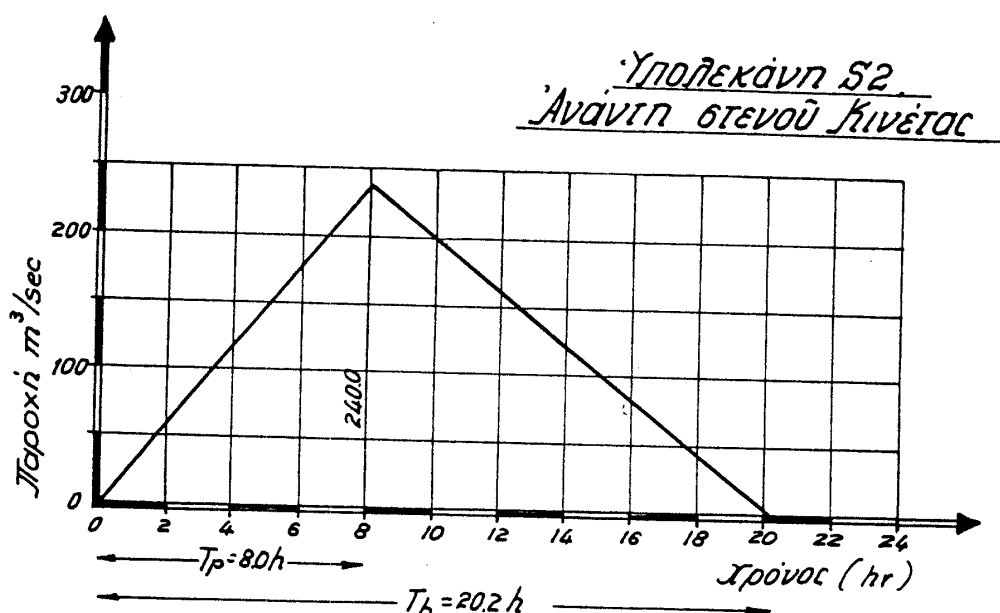
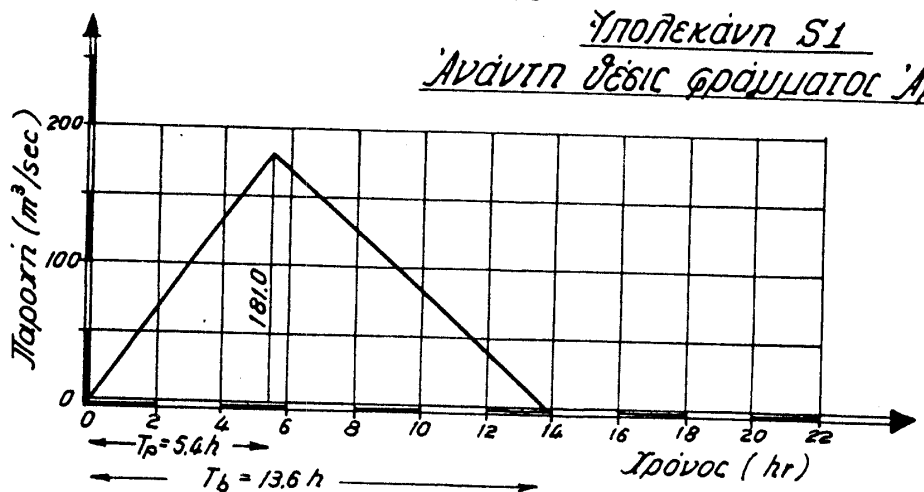
Μπορούν Βοιωτικού Αγρού
Αναυτηρούς σοδομάτος Boat

Κλίσια: Μπορούν 1:200.000
 Σχέδιο 1:2.000

- 70 -



Σ x 5.8



ΜΟΝΑΔΙΑΙΑ ΥΔΡΟΓΡΑΦΗΜΑΤΑ ΛΕΚΑΝΗΣ ΒΟΙΩΤ. ΚΗΦΙΣΟΥ
Για διάρκεια βρογκίσ 1 w.r.
(Μετ' μέθοδο του Βρετανικού Ινστιτούτου Υδρολογίας)

Lx. 5.9

5.6 Ύδρογραφήματα πλημμύρας

5.6.1 Γενικά

Όπως άναφέρθηκε και στήν άρχη αύτοῦ τοῦ κεφαλαίου βασική παραδοχή για τήν παραγωγή τῶν ύδρογραφημάτων πλημμύρας εἶναι ότι η ροή τοῦ ποταμοῦ γίνεται μέσα στήν κοίτη άνεμπόδιστα, πράγμα πού προϋποθέτει τά άκολουθα.

- α) Δέν πραγματοποιούνται άνασχέσεις, δφειλόμενες σέ άντιπλημμυρικά έργα άνασχεσης
- β) Έφ' δσον δέν έπαρκει η φυσική κοίτη γιά τή διόδευση τῆς πλημμύρας, υποτίθεται ότι υπάρχουν (ή θά κατασκευαστοῦν) άναχώματα, ώστε η τελική διατομή νά έπαρκει γιά τή διόδευση.

Η παραγωγή τῶν ύδρογραφημάτων πλημμύρας γίνεται μέ συνδυασμό: α) τοῦ μοναδιαίου ύδρογραφήματος κάθε υπολεκάνης και β) τῆς βροχόπτωσης μελέτης.

Χρησιμοποιούμενα δύο τιμές τῆς περιόδου έπαναφορᾶς τῆς βροχόπτωσης μελέτης: $T=50$ και $T=100$ χρόνια. Η διάρκεια τῆς βροχῆς μελέτης δέν θεωρήθηκε προκαθορισμένη άλλα έλεγχθηκαν δοκιμαστικά βροχές διάρκειας 24 και 48 ώρων, ώστε νά έπιλεγει τελικά αύτή πού δίνει τά δυσμενέστερα άποτελέσματα (τελικά αύτή εἶναι η 48ωρη). Σάν τιμή τοῦ συνολικοῦ ύψους βροχῆς θεωρήθηκε αύτή πού προκύπτει άπό τήν άντιστοιχη συνάρτηση Gumbel, και όχι άπό τίς σχέσεις ύψους - διάρκειας - περιόδου έπαναφορᾶς βροχοπτώσεων.

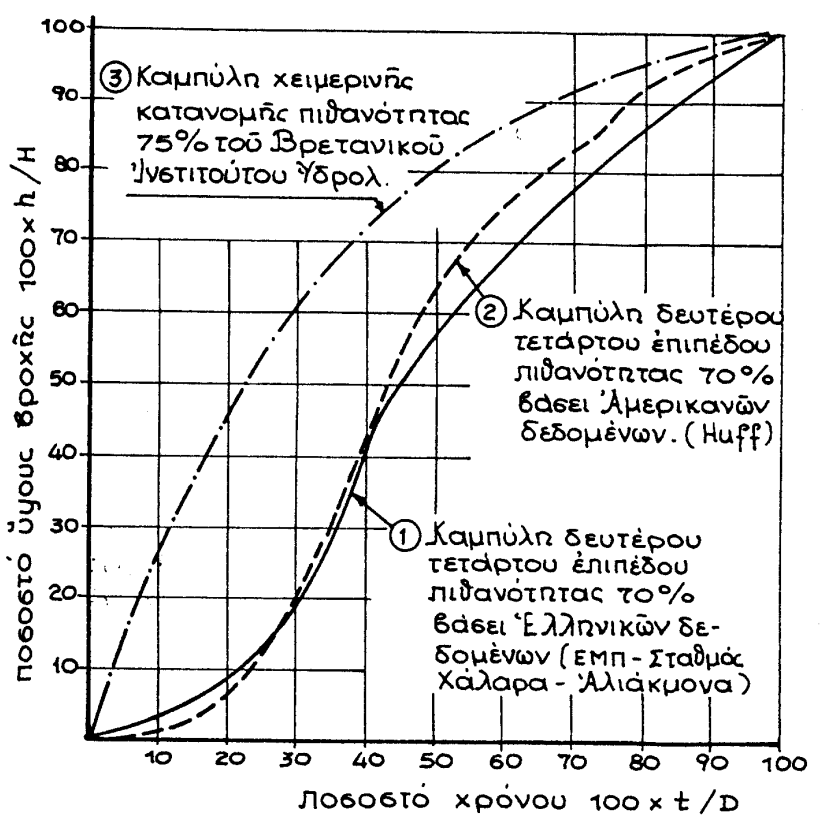
5.6.2. Χρονική κατανομή βροχοπτώσεων μελέτης

Γιά τήν κατανομή τοῦ συνολικοῦ ύψους βροχῆς στό χρόνο χρησιμοποιούνται έν γένει δύο μέθοδοι:

- (α): Ο έπιμερισμός τῆς συνολικῆς βροχόπτωσης σέ έπιμέρους, μέ βάση τήν σχέση ύψους - διάρκειας γιά τή δοσμένη περίοδο έπαναφορᾶς και στή συνέχεια η κατάλληλη διάταξη τῶν έπιμέρους τιμῶν στό χρόνο ώστε νά προκύπτει δύσμενέστερος συνδυασμός και
- (β): Ο έπιμερισμός στό χρόνο σύμφωνα μέ μιά προκαθορισμένη άστατη κατανομή τῆς μορφῆς : $h/H = \text{συνάρτηση}(t/D)$, όπου h τό ύψος βροχῆς στό χρόνο t , H τό συνολικό ύψος και D η διάρκεια βροχῆς.

Έδω χρησιμοποιούθηκε ή δεύτερη μέθοδος, άλλα έγινε προσπάθεια νά μήν υπάρχει μεγάλη απόκλιση από τήν πρώτη.

Η μορφή τής αδιάστατης κατανομής δυστυχώς δέν μπορεῖ νά καθορισθεῖ μέ ακριβεῖς μεθόδους, άφού άλλωστε στίς πραγματικές βροχοπτώσεις υπάρχει τεράστια ποικιλία, οσού αφορᾶ τήν κατανομή τοῦ ύψους στό χρόνο. Έχουν γίνει προσπάθειες γιά τήν ταξινόμηση τῶν διαφόρων κατανομῶν καί οι σημαντικές τερες διφεύλονται στόν 'Αμερικανό Μηχανικό Huff (βλ. Viessman: "Engineering Hydrology") Τελικά έχει καθιερωθεῖ οι βροχοπτώσεις νά κατατάσσονται σέ τέσσερις γενικές κατηγορίες, άναλογα μέ τό τέταρτο τῆς συνολικῆς διάρκειας στό διποτό πραγματοποιεῖται



ή μεγαλύτερη ένταση. Έτσι στό σχήμα 5.10 οι καμπύλες 1 καί 2 άναφέρονται σέ βροχοπτώσεις δευτέρου τετάρτου ένω ή 3 σέ βροχόπτωση πρώτου τετάρτου. Γιά κάθε μία κατηγορία

δίνεται στή βιβλιογραφία μιά δημάδα καμπυλών, πού άντιστοιχούν σε διάφορα έπιπεδα πιθανότητας. "Ετσι π.χ. στό 1% σχήμα ή καμπύλη 1 άντιστοιχεῖ σε έπιπεδο πιθανότητας 70%, πού σημαίνει ότι 70% τῶν βροχοπτώσεων έχουν κατανομές πού οι καμπύλες τους τοποθετοῦνται πάνω από τήν καμπύλη αύτή.

Γιά νά έπιλεξουμε μιά κατάλληλη καμπύλη γιά τή μελέτη μας κάναμε σχετική διερεύνηση. Η καμπύλη πού προτείνεται από τό Βρετανικό "Institute of hydrology" (βλ. Institute of hydrology: "A Guide to Flood Studies Report") άπορρίφθηκε γιατί δίνει υπερβολικά έπιμερους ύψη βροχής μέσα στό 1% έπεισδο θροχής. Ετσι, δι πάρουμε γιά παράδειγμα τή βροχόπτωση διάρκειας 48 ώρων γιά τήν υπολειάνη S1, τό συνολικό ύψος βροχής γιά $T=100$ θά είναι σύμφωνα μέ τήν κατανομή Gumbel 176,5 mm. Η ένλογω καμπύλη κατανομής γιά τό πρώτο 24ωρο, δηλ. γιά $t/D = 50\%$ δίνει 80% τού συνολικού ύψους βροχής, δηλ. $h = 0,80 \times 176,5 = 141,2\text{mm}$ πού απέχει πολύ από τήν τιμή τού ύψους 24 ωρών σ βροχόπτωσης τής κατανομής Gumbel γιά $T=100$, πού είναι 111,5mm. Μέ τήν 1% λογική κάνοντας παρόμοια διερεύνηση καταλήξαμε στήν καμπύλη δευτέρου τετάρτου μέ έπιπεδο πιθανότητας 70%, πού έχει παραχθεῖ από έλληνικά (λεκάνη "Αλιάκμονα - σταθμός Χάλαρα - βλ. Διπλ. έργασία στό ΕΜΠ τής M. Στυλιανίδου: "Πειραματική προσέγγιση ύετογραμμάτων λεκάνης "Αλιάκμονα"). Αύτή είναι ή καμπύλη 1 στό σχήμα 5,10 καιί όπως παρατηρεῖται βρίσκεται πολύ κοντά μέ τήν άντιστοιχη καμπύλη 2 ή διπού είχει παραχθεῖ από τόν Huff μέ βάση "Αμερικανικά δεδομένα. Στόν πίνακα πού άκολουθεῖ γίνεται σύγκριση τῶν έπιμερους ύψων βροχής πού παράγονται από τήν καμπύλη αύτή, γιά διάφορες διάρκειες, μέ τά άντιστοιχα ύψη πού παράγονται από τίς σχέσεις ύψους - διάρκειας - περιόδου έπαναφορᾶς. Η σύγκριση διφορᾶς τήν υπολειάνη S1; καιί συχνότητα βροχῶν 1:100. Παρατηρεῖται γενικά καλή συμφωνία μεταξύ τῶν υπό σύγκριση δημάδων τιμών.

ΠΙΝΑΚΑΣ 5.6

Χρόνος ώρες	"Υψη βροχής από τήν καμπύλη Διάρκεια 48h	καμπύλη Διάρκεια 24h	"Υψη βροχής από σχέσεις h-t-T
3	25,2	29,6	39,1
6	49,4	48,9	55,7
12	76,0	76,8	79,3
24	121,6	111,5	113,0 (111,5)
48	176,5	-	160,9 (176,5)

5.6.3 Απώλειες - Ωφέλιμο ύψος βροχής

Οι άπωλειες τής βροχής έκτιμῶνται μέχρηση του τύπου του U.S. Soil Conservation Service (βλέπε U.S.B.R. Design of Small Dams 1960, σελ. 428).

$$h_1 = \frac{(h - 0.2 \cdot s)^2}{h + 0.8s} \quad \text{μέ } h > 0.2 \cdot s$$

ὅπου h : συνολικό ύψος βροχής (χστ.)

h_1 : $h - h_{\text{απ}}$: ωφέλιμο ύψος βροχής (χστ.)

s : μέγιστη δυνατή διαφορά τῶν h καὶ h_1 στήν αρχή της βροχής (χστ.)

Τό s συνδέεται μέ τήν παράμετρο CN (Curves Number ber άριθμός καμπύλης μέ τή σχέση :

$$CN = \frac{1000}{10 + s / 25.4}$$

Η παράμετρος CN παίρνει τιμές από 0 έως 100 καὶ ή μέγιστη τιμή άντιστοιχεῖ σέ μηδενικές άπωλειες.

Συνήθως γιά περιπτώσεις μελέτης φραγμάτων έπιλέγεται τιμή του CN τής τάξης του 90, καὶ προκύπτουν άπωλειες τής τάξης του 10% - 20%.

Γιά τήν μελέτη του Βοιωτικοῦ Κηφισοῦ καὶ γιά τίς συχνότητες πού μᾶς ένδιαφέρουν, δηλ. 1:50 - 1:100 έπιλέγουμε τήν μειωμένη τιμή CN = 75, δεδομένου ότι ή λειάνη άποτελεῖται κατά ένα μεγάλο ποσοστό από καρστικούς ασβεστολίθους. Μέ αύτή τήν τιμή οι άπωλειες προσδιορίζονται σέ ποσοστά από 40% (γιά τήν υπολειάνη S1 καὶ 48ωρη βροχόπτωση) μέχρι περίου 60% (γιά τίς υπολειάνες S2 καὶ S3 καὶ 24ωρη βροχόπτωση).

Οι παραπάνω τιμές του ποσοστού άπωλειῶν δέν είναι υπερβολικές γιά μιά λειάνη μέ τόσο έκτεταμένη έμφάνιση καρστικῶν πετρωμάτων. Σημειώνεται ότι σέ έτησια βάση στή λειάνη, από τό σύνολο τῶν κατακρημνίσεων πού άνέρχεται σέ 725 χλσ ή 1.437 έκατομ. μ^3 (βλ. σχετικό πίνακα κεφαλαίου 3) άπορρέουν κατά μέσονόρο 443 έκατομμ. μ^3 , δηλαδή δι μέσος συντελεστής άπορροής είναι $443/1437 = 0,31$ καὶ τό μεόποιο ποσοστό άπωλειῶν 69%. "Αν μάλιστα πάρουμε υπόψη ότι πάνω από τό μισό του δύνου άπορροής διφείλεται σέ πηγαῖες άναβλύσεις, τότε δι συντελεστής έπιφανειακής άπορροής σέ έτησια βάση κατεβαίνει στήν τιμή 0,15, καὶ τό άντιστοιχο ποσοστό άπωλειῶν φθάνει τό 85%.

5.6.4 Παραγωγή ύδρογραφημάτων πλημμύρας

Τά ύδρογραφήματα έπιφανειακής άπορροής προκύπτουν από συνδυασμό τῶν ώφελίμων ύετογραμμάτων και τῶν μοναδιαίων ύδρογραφημάτων μέ βάση τή σχέση:

$$Q_i = \sum_{j=m}^n u_j + i-j \cdot h_{ij} / 10 \quad (i=1,2,\dots,N_u+N_h-1)$$

ὅπου Q_i : παροχή ($\mu^3/\delta\lambda$) έπιφανειακής άπορροής στόχρόνο $t_i = i \cdot \Delta$ (έδω $\Delta = 1$ ώρα).

u_k : τεταγμένη μοναδιαίου ύδρογραφήματος στόχρόνο $t_k = k \cdot \Delta$

h_{ij} : ώφελιμο ύψος βροχῆς στόχρονο j χρονικό διάστημα, δηλαδή μεταξύ τῶν χρόνων $(j-1)\Delta$ και $j\Delta$

$M = \text{MAX}(1, i+1 - N_u)$

$n = \text{MIN}(1, N_h)$

N_u : άριθμός τεταγμένων μοναδιαίου ύδρογραφήματος άνα χρονικά διαστήματα εύρους Δ

N_h : άριθμός χρονικῶν διαστημάτων εύρους Δ στόχρονο ύετογραμμα.

Οι σχετικοί ύπολογισμοί έχουν γίνει μέ ήλεκτρονικό ύπολογιστή και παρουσιάζονται στό τεῦχος πινάκων (πίν. VII.1 έως VII.9): Η τιμή τής ροής βάσης, πού προστίθεται στήν έπιφανειακή άπορροη για νά σχηματισθεῖ τό τελικό ύδρογράφημα πλημμύρας έχει ληφθεῖ ίση μέ $5\mu^3/\delta\lambda$ για τήν ύπολεκάνη S_1 και $10\mu^3/\delta\lambda$ για τής ύπολεκάνες S_2 και S_3 .

Συνοπτικά τά άποτελέσματα παρουσιάζονται στόν πίνακα 5.7, ένω τά δυσμενέστερα ύδρογραφήματα για κάθε ύπολεκάνη, πού τελικά προέρχονται από 48ωρες βροχοπτώσεις, φαίνονται στά σχήματα 5.11, 5.12 και 5.13.

ΧΑΡΑΚΤΗΡΙΣΤΙΚΕΣ ΠΑΡΑΜΕΤΡΟΙ ΠΛΗΜΜΥΡΩΝ ΛΟΥ ΜΕΛΕΤΗΘΕΙΚΑΝ

ΧΑΡΑΚΤΗΡΙΣΤΙΚΑ ΒΡΟΧΗΣ	S1 (ANANTH ΑΜΦΙΚΛΕΙΑΣ)		444 km ²		S2 (ANANTH KINETAE)		871 km ²		S3 (ANANTH ΦΡ.ΒΟΟΤ)		1.126 km ²	
	1:100	1:50	1:100	1:50	1:100	1:50	1:100	1:50	1:100	1:50	1:100	1:50
Διάρησεια (h)	48	48	24	48	48	24	48	48	48	48	48	24
Ολυκό δύμας (mm)	176,5	159,3	111,5	135,9	123,8	87,4	135,9	123,8	87,4	135,9	123,8	87,9
Αφέλιμο δύμας (mm)	104,3	89,3	49,5	69,5	59,6	32,0	69,5	59,6	32,0	69,5	59,6	32,0
Απώλειες (%)	40,9	44,0	55,3	48,9	51,8	63,4	48,9	51,8	63,4	48,9	51,8	63,4
Χρονική ματανασούρη Δευτέρου τετράτου, με έπιπερο πιθανότητας 70%												
ΧΑΡΑΚΤΗΡΙΣΤΙΚΑ ΤΙΘΗΜΑΡΙΑΣ	Ροή βάσης (m ³ /sec)	5	5	10	10	10	10	10	10	10	10	10
	Διάρκεια	60	60	36	67	67	43	71	71	71	71	47
	Παροχή αέρα (m ³ /sec)	505	427	392	576	491	474	741	741	636	636	587
	Χρόνος λειδίσιας	26	26	20	31	32	25	35	35	36	36	26
	Όγκος πλημμύρας (m ³ x10 ⁶)	47	41	23	63	54	30	84	84	72	72	40

Χρονοδική περαιτέρω θεωρίας της πλημμύρας

Υπόθεση: Σ1-Αγάντη θέσης 60 μέτρων

Υδρομετρία πλημμύρας μελετής

Συντομία 1:100

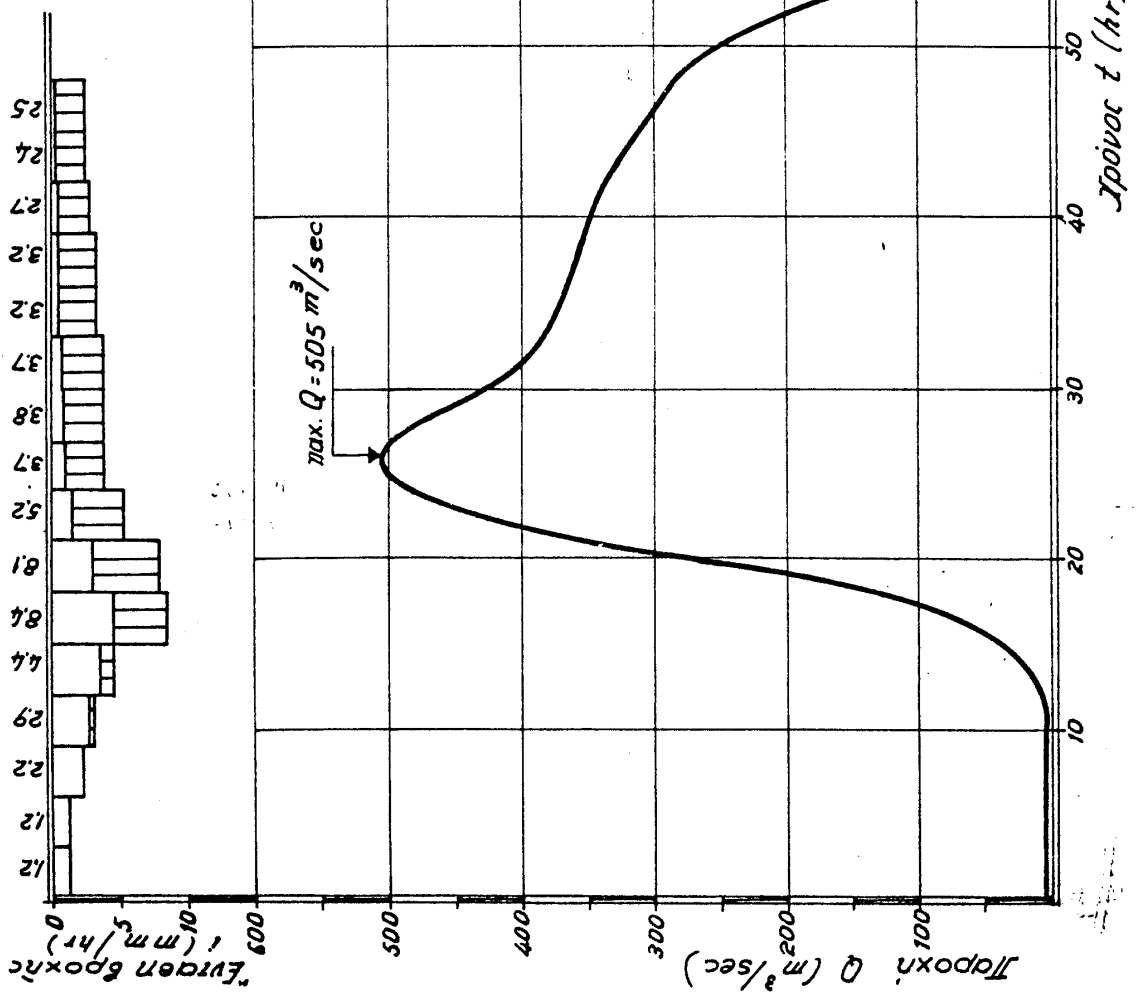
Διάρκεια βοριών 48 ώρ.

Χρονικός - σήμα 176,5 m.m.

Διάρκεια πλημμύρας 60 ώρ.

Πλημμυρικής σύνθετης 47 × 10⁶ m.

- 78 -



Σχήμα 5.11

Χρονομετρική Έκατην Βουτ. Κνεσού

Υπολεκάνη 52-Λαϊκην Στρού Κνεσας

Υδρουράστηνα πληυσμώνας μελέτης

Συγνόητη 1:100

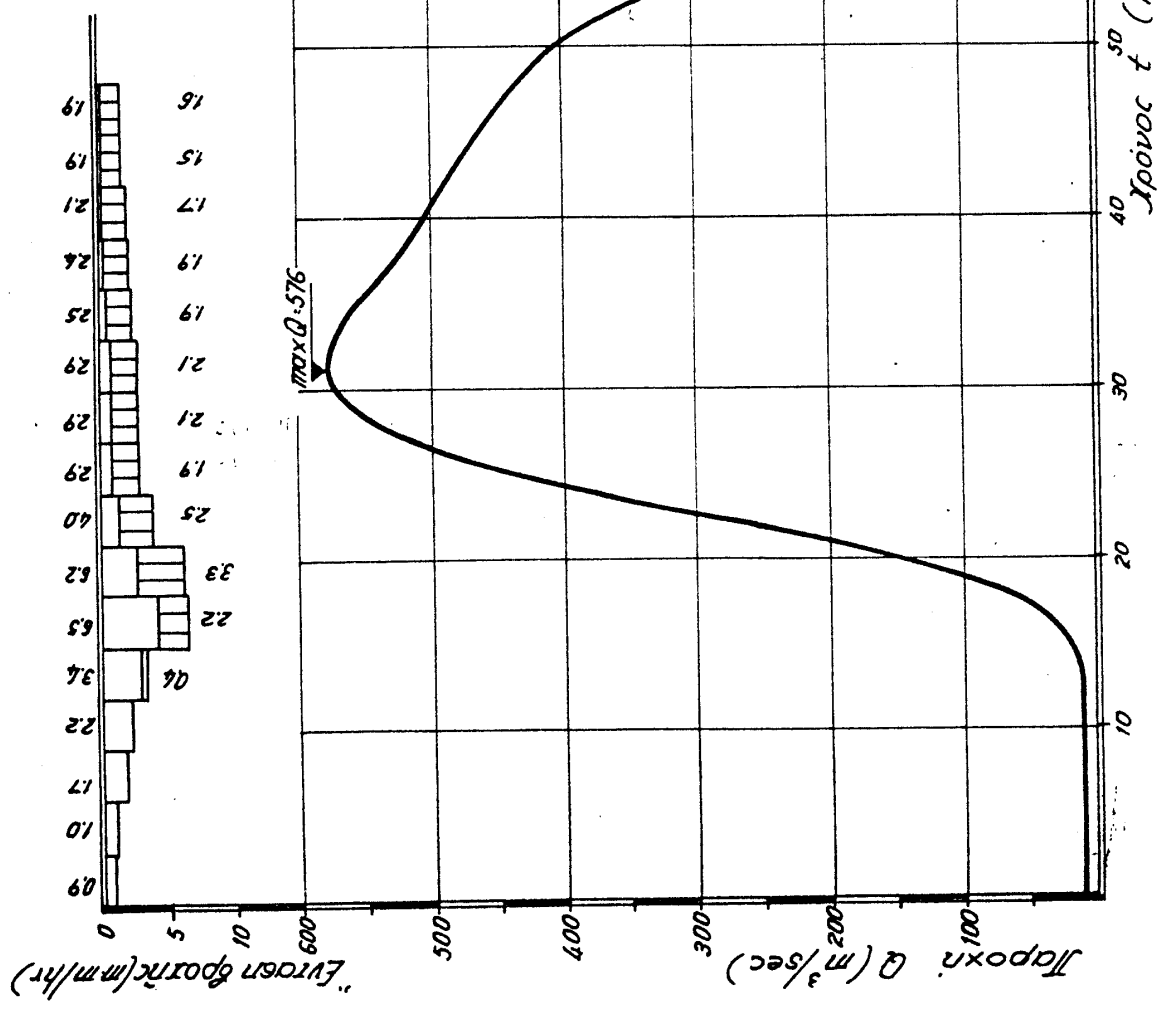
Διάρκεια δροπής 48 ώρ.

Υψης δροπής - σήμα κάθισμα 136.0 m.m

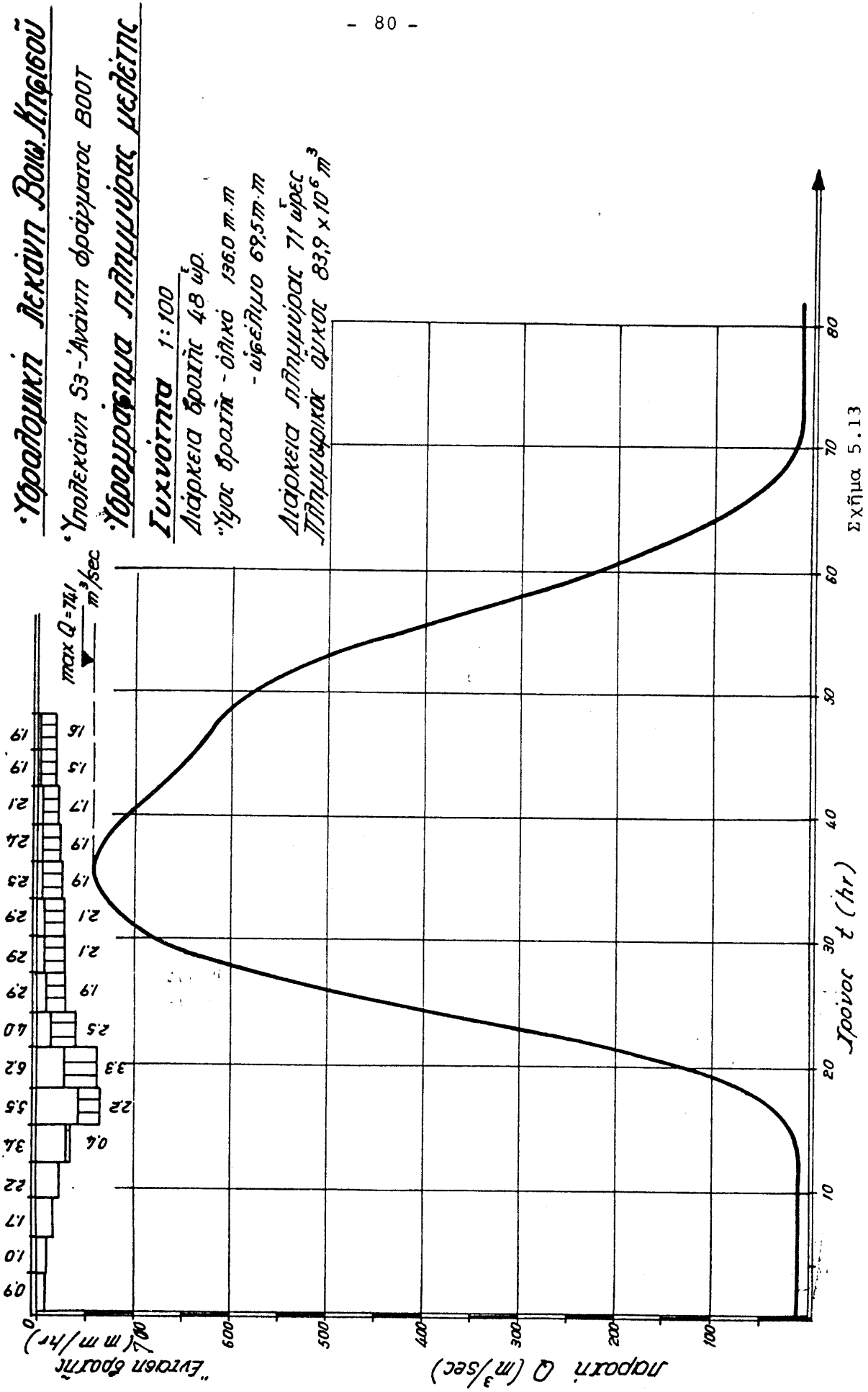
- αφείδημα 69.5 m.m

Διάρκεια πληυσμώνας 67 ώρ.

Πληυσμωνικός όγκος $63.1 \times 10^6 m^3$



Σχήμα 5.12



5.6.5 Σύγκριση με τήν δροθολογική μέθοδο

Για λόγους σύγκρισης υπολογίζονται στόν παρακάτω πίνακα 5.8 οι πλημμυρικές παροχές για τις υπολεκάνες με τήν δροθολογική μέθοδο, πού συνίσταται στήν έφαρμογή της σχέσης.

$$Q = a \cdot C \cdot i \cdot A$$

ὅπου Q : παροχή ($\mu^3/\delta\lambda$)

$a = 0,278$: συντελεστής μετατροπής μονάδων

C : συντελεστής άπορροης (θεωρήθηκε $C = 0,50$)

i : ξηταση βροχής, για διάρκεια ίση με τό χρόνο συρροΐς (χστ/ώρα)

A : ξηταση λεκάνης ($\chi\mu^2$)

Παρατηρεῖται ότι η δροθολογική μέθοδος δίνει έλαφρά μεγαλύτερες τιμές της παροχής αίχμης.

ΠΙΝΑΚΑΣ 5.8

· Υπολογισμός Πλημμυρικών Αίχμων με τήν 'Ορθολογική Μέθοδο

Υπολεικάνη Συχνότητα	S1		S2		S3	
	1:50	1:100	1:50	1:100	1:50	1:100
Έκταση ($\chi\mu^2$)	444		871		1.126	
Χρόνος συρροΐς (h)	6,9		11,0		13,5	
Συντελεστής άπορροης	0,		0,		0,	
Έκταση βροχής (mm/h)	7,71	8,67	4,80	5,36	4,34	4,85
Παροχή αίχμης $Q = aCIA$ ($\mu^3/\delta\lambda$)	476	535	581	650	708	792
Παροχή αίχμης διάστημα μέθοδο μοναδ. ήδρογρ. ($\mu^3/\delta\lambda$).	427	505	491	576	636	741

· Αθήνα 10-11-1990

· Ο Συντάξας

ΔΗΜ. Θ. ΚΩΝΣΤΑΝΤΙΝΙΔΗΣ